



دانشگاه صنعتی شهرود

دانشکده فیزیک

## پایان نامه کارشناسی ارشد

عنوان:

بدام اندازی الکترون

استاد راهنما:

دکتر غلامحسین سدیر عابدی

دانشجو:

مریم اصغری

تیر ۱۳۸۴

بِسْمِ اللّٰهِ الرَّحْمٰنِ الرَّحِيْمِ

تَقْدِيمَةٌ بِهِ

## هَادِيٌ مُهْرَبَانِهِ

٦

بِرْكَوْهَارِيٌّ

## تشکر و سپاسگزاری

اکنون که با یاری خداوند متعال در این مرحله از زندگی و تحصیل موفق به انجام این پایان نامه شده ام، برخود واجب می دانم زحمات تمامی اعضای خانواده ام، مخصوصاً پدر و مادر مهربانم، که در تمام مراحل زندگی راه گشای مشکلاتم بوده اند را ارج نهاده و مراتب تشکر قلبی و باطنی خویش را از آنها ابراز دارم. همچنین لازم می دانم از زحمات و راهنمایی های استاد گرامی، آقای دکتر غلامحسین سدیر عابدی صمیمانه تشکر کنم. بی تردید انجام این پایان نامه بدون همکاری ایشان ممکن نبود.

همچنین از دوستان بسیار ارجمندم آقایان امیرمسعود صادقی، محمود صابونی، عبدالله محمدی تبار، مرتضی اسماعیلی و خانم فروغ طبیسی که مرا در امر این پایان نامه صمیمانه یاری نمودند و پیشنهادهای آنها همواره برای من راهنمای و راهگشا بوده است صمیمانه سپاسگزارم.

مریم اصغری

۱۳۸۴ تیرماه

## چکیده:

تولید زوج الکترون بدام افتاده بدلیل کاربردهای فراوان آن در انتقال کوانتومی اطلاعات، محاسبه کوانتومی رمز گذاری کوانتومی، در چند سال گذشته توجه بسیاری از فیزیکدانان را به خود جلب کرده است. امروزه این روشها شامل بدام اندازی با پرتو شکاف، تولید بدام اندازی با ابررسانا و همچنین تولید بدام اندازی الکترون با استفاده از یک و یا دو و بعضاً سه نقطه کوانتومی می‌باشد. روش پیشنهادی در این پایان نامه استفاده از دو نقطه کوانتومی جفت شده با دو دهانه ورودی و دو دهانه خروجی می‌باشد. همچنین آشکارسازی حالت‌های بدام افتاده از چالشهای پیش روی فیزیکدانان می‌باشد. روش‌های پیشنهادی آشکارسازی شامل آشکارسازی شدتی و آنالیزور حالت خطی بل می‌باشد، که از آمار کوانتومی ذرات و دسته گی و نادسته گی آنها برای آشکارسازی حالت‌های بدام افتاده بهره می‌گیرد.

انتقال یک حالت کوانتومی مجھول، رمزگذاری متراکم کوانتومی، رمزگذاری کوانتومی برمبانی بدام اندازی و همچنین محاسبه کوانتومی از جمله کاربردهای زوج الکترون بدام افتاده EPR می‌باشند که در این پایان نامه بررسی شده‌اند.

## صفحه

## عنوان

تشکر و قدردانی

چکیده

فهرست مطالب

۱	.....	مقدمه
۳	.....	فصل اول - آشنایی با مفاهیم
۴	.....	مقدمه
۴	.....	۱-۱- الکترون چیست؟
۶	.....	۱-۲- اسپین الکترون
۸	.....	۱-۳- سیستم دو الکترونی
۹	.....	۱-۴- بدام اندازی
۱۰	.....	۱-۵- حالتهای بدام افتاده اسپین
۱۲	.....	۱-۶- کامپیوترهای کوانتومی
۱۴	.....	۱-۷- تصویرهای برهمکنش، شرودینگر و هایزنبرگ
۱۴	.....	۱-۷-۱- تصویر شرودینگر
۱۵	.....	۱-۷-۲- تصویر هایزنبرگ
۱۶	.....	۱-۷-۳- تصویر برهمکنشی
۱۹	.....	۱-۷-۴- حدّهای بی در رو و تند
۲۵	.....	فصل دوم - همبستگی اسپین دو ذره و نامساوی بل
۲۶	.....	مقدمه
۲۶	.....	۲-۱- اندازه گیری همزمان دو کمیت
۲۹	.....	۲-۲- دو نوع بردار حالت
۳۴	.....	۲-۳- حالتهای اسپین برای دو ذره
۳۸	.....	۲-۴- تفسیر فیزیکی
۴۰	.....	۲-۵- نامساوی بل
۴۶	.....	فصل سوم - تولید به دام اندازی الکترون
۴۷	.....	مقدمه
۴۸	.....	۳-۱- تولید بدام اندازی کلی
۵۱	.....	۳-۲- تولید بدام اندازی الکترون از طریق ابررسانایی
۵۵	.....	۳-۳- بدام اندازی الکترون از طریق یک نقطه کوانتومی

۵۶	..... ۱-۳-۳ - زمینه
۶۰	..... ۲-۳-۳ - الکترون صفر، نقطه کوانتومی تک تراز
۶۱	..... ۳-۳-۳ - تحلیلهای مد چندگانه اسپین های مختلف
۶۵	..... ۴-۳-۳ - مجموع سهم های مستقیم و مبادله شده برای هر مسیر در نقطه $\langle n \rangle = 0$
۶۸	..... ۵-۳-۳ - آنالیز مد چندگانه، اسپین مشترک
۶۸	..... ۶-۳-۳ - تفسیر فیزیکی
۷۰	فصل چهارم - آشکارسازی حالت‌های بدام افتاده
۷۱	..... مقدمه
۷۱	..... ۴-۱- آمار کوانتومی
۷۴	..... ۴-۲- کلاسیک در برابر اپتیک کوانتوم
۷۷	..... ۴-۳- ابزار اپتیک کوانتومی
۷۷	..... ۴-۱-۳- آزمایش هانبوری براون و توایس
۷۹	..... ۴-۲-۳- آنالیز برخورد الکترون
۸۱	..... ۴-۳-۳- تعمیم به حالت‌های دلخواه از آمار دلخواه
۸۱	..... ۴-۴- حالت‌های بدام افتاده اسپین
۸۳	..... ۴-۵- تحلیل حالت خطی بل
۸۴	..... ۴-۱-۵- آنالیز برخورد الکترون
۸۸	..... ۴-۲-۵- آشکارسازی شدت
۹۰	..... ۴-۶- دسته گی و نا دسته گی الکترون
۹۲	فصل پنجم - کاربردهای زوج بدام افتاده EPR
۹۳	..... مقدمه
۹۳	..... ۵-۱- انتقال یک حالت کوانتومی مجهول
۹۶	..... ۵-۲- رمز گذاری متراکم کوانتومی
۹۸	..... ۵-۳- رمز گذاری کوانتومی در مبنای بدام اندازی
۱۰۱	..... ۵-۴- محاسبه کوانتومی
۱۰۴	فصل ششم - بدام اندازی با دو نقطه کوانتومی
۱۰۵	..... مقدمه
۱۰۵	..... ۶-۱- طرح مختصر استفاده از دو نقطه کوانتومی با یک دهانه ورودی
۱۰۷	..... ۶-۲- ایجاد بدام اندازی الکترون در دستگاه شامل دو نقطه کوانتومی با چهار دهانه

مراجع.....

١١٢

## مقدمه

در ده سال گذشته شاهد یک پیشرفت سریع در کوچک کردن اجزای رایانه ها و بطور کلی سیستم های فیزیکی که اطلاعات را تبدیل و پردازش می کنند بوده ایم. اگر چنین پیشرفتی به همان شکل ادامه یابد، در یک مدت کوتاه حاملهای اطلاعات به اندازه یک تک مولکول یا اتم می رستند و بنابراین طبیعت کوانتمی اهمیت می یابد. این مسئله باید مانند یک حد مورد توجه قرار گیرد، بلکه بر عکس مانند فرصت یکتاپی که اجازه انجام راههای جدید محاسبه و ارتباط را می دهد ملاحظه شود. زمینه جدید اطلاعات کوانتمی که در آن اساس فیزیک کوانتمی با اساس علم رایانه و اطلاعات آمیخته شده، در چند سال گذشته تعمیم یافته است. در تئوری اطلاعات کوانتمی انتقال و پردازش اطلاعات را هنگامی مورد مطالعه قرار می دهند که خود اطلاعات بوسیله سیستمهای کوانتمی حمل شوند و مطابق قوانین مکانیک کوانتمی پردازش شوند. آخرین پیشرفتها در این زمینه شامل راههای جدید عبور اطلاعات، ارتباط امن و انجام انواعی از محاسبه است که سریعتر از دستگاه کلاسیک می باشد. یک بخش کلیدی و منبع اساسی در پیشرفت تمام اینها بدام اندازی کوانتمی است.

هدف این پایان نامه بررسی و مطالعه حالتهای بدام افتاده و در واقع زوج الکترون EPR می باشد، که شامل تولید حالتهای بدام افتاده، آشکارسازی آنها و کاربرد این حالتها در انتقال کوانتمی اطلاعات و محاسبه کوانتمی است. در فصل اول با بعضی مفاهیم لازم آشنا می شویم. در فصل دوم تئوری کوانتمی حالتهای بدام افتاده اسپین بررسی می شود و نشان می دهیم که نامساوی بل در مورد حالتهای بدام افتاده نقض می شود.

در فصل سوم سه روش مختلف تولید بدام اندازی شامل بدام اندازی با پرتو شکاف، ابررسانا و نقطه کوانتمی منفرد مطرح می شود

در فصل چهارم آشکارسازی حالت‌های بدام افتاده بررسی می شود و نشان می دهیم که تداخل سنجی شدت از نوع هانبوری براون و توایس<sup>۱</sup> و آنالیزور برخورد الکترون می توانند برای آشکارسازی حالت‌های بدام افتاده مفید باشند.

در فصل پنجم نشان می دهیم که چگونه این حالت‌های بدام افتاده می توانند در انتقال و پردازش اطلاعات بکار روند، و در نهایت در فصل ششم یک روش تولید بدام اندازی با استفاده از دو نقطه کوانتمی پیشنهاد می شود که در آن دو دهانه ورودی و دو دهانه خروجی در نظر گرفته شده است.

---

1- Hanbury – Brown and Twiss

# فصل اول

## آشنایی با مفاهیم

- ١-١- الکترون چیست؟
- ٢-١- اسپین الکترون
- ٣-١- سیستم دو الکترونی
- ٤-١- بدام اندازی
- ٥-١- حالتهاي بدام افتاده اسپین
- ٦-١- کامپیوترهای کوانتمی
- ٧-١- تصویرهای برهمکنش شرودینگر و هایزنبرگ

## مقدمه

در این فصل ما تعدادی از مفاهیم را که در طول این پایان نامه مورد نیاز خواهد بود، به طور مختصر بررسی می کنیم. منظور از الکترون در این پایان نامه، مفهوم حالت‌های بدام افتاده و نقاط کوانتومی از جمله مطالبی است که بطور خلاصه بررسی شده اند.

### ۱-۱- الکترون چیست؟

منظور از الکترون در این پایان نامه الکترون بلاخ می باشد که در آن الکترون از یک پتانسیل بلور عبور می کند [۱]. برای چنین سیستمی تقریب الکترون مستقل در نظر گرفته می شود. یک پتانسیل موثر ( $U(r)$ ) برای الکترونها تعریف می شود که تمام برهمنشیهای تک الکترون در یک بلور ساکن را شامل می شود. چون بلور از شبکه تناوبی از اتمها با بردار شبکه  $R$  تشکیل شده است، این پتانسیل موثر نیز تناوبی خواهد بود. یعنی:  $U(r+R) = U(r)$ . الکترونها در ساختارهای  $2DEG$ <sup>۱</sup> بخوبی مانند الکترونها مستقل در یک پتانسیل تناوبی بلور تقریب می خورند و الکترونها بلافاصله نامیده می شوند. نقطه شروع تئوری بلاخ معادله موج شرودینگر تک ذره به صورت:

$$H\Psi = \left( -\frac{\hbar^2}{2m_e} \nabla^2 + U(r) \right) \Psi = E\Psi \quad (1-1)$$

است که در آن  $m_e$  جرم الکترون آزاد می باشد.

---

1- 2 Dimentional Electron Gas

حالتهای تئوری بلاخ که تابع حالت  $(r) \Psi_{nk}$  از معادله (۱-۱) است به شکل یک موج تخت ضریب ریکتاب تناوبی  $(r) u_{nk}$  می باشد:

$$\Psi_{nk}(r) = e^{ikr} u_{nk}(r) \quad (2-1)$$

که در آن  $n$  یک عدد کوانتمی برای ضریب باند و  $u_{nk}(r) = u_{nk}(r + R)$  است. یک نتیجه مهم از تئوری بلاخ این است که تابع حالتها در معادله (۲-۱) در رابطه تناوبی زیر صدق می کنند:

$$\Psi_{nk}(r + R) = e^{i\vec{k} \cdot \vec{R}} \Psi_{nk}(r) \quad (3-1)$$

در نتیجه می توان روابط پراکندگی را در انرژی باندهای بلور به صورت زیر تعبیر نمود که نسبت به بردار شبکه وارون  $K$  متناظر هستند:

$$E_n(k) = E_n(k + K) \quad (4-1)$$

در واقع تئوری بلاخ یک بسط از تئوری تعادل الکترون آزاد زومرفلد است، که در آن الکترون در پتانسیل تناوبی قرار دارد. در مدل زومرفلد، یک الکترون آزاد با اندازه حرکت  $q$  دارای انرژی و سرعت زیر است:

$$E(q) = \frac{\hbar^2 q^2}{2m_e} \quad (5-1)$$

اندازه حرکت  $q$  ممکن است در فضای تکانه هر مقداری را اختیار کند بشرطی که با شرایط مرزی تناوبی مورد نیاز برای توصیف سیستم، سازگار باشد.

در تئوری بلاخ، الکترون مستقل دارای اعداد کوانتمی  $n$  و  $k$  است که بترتیب مشخص کننده باندهای انرژی و اندازه حرکت بلور می باشند. در اصل یک عدد لایتناهی  $n$  از ترازهای گسسته انرژی وجود دارد. اندازه حرکت بلور  $k$ ، اندازه حرکت پوش موج الکترون را روی تعداد زیادی سلول واحد، توصیف می کند، که در واقع بردار موج یک سلول اولیه را در فضای شبکه وارون اندازه می گیرد و با شرایط مرزی تناوبی توصیف کننده شبکه، سازگار است. انرژی الکترون معمولی بلاخ از معادله (۴-۱)

بدست می آید. لذا سرعت میانگین متناظر الکترون بلافا در باند  $n$  با اندازه حرکت بلور  $k$  به شکل زیر حاصل می شود:

$$V_n(k) = \frac{1}{\hbar} \nabla_k E_n(k) \quad (7-1)$$

بنابراین در تقریب جرم موثر برای یک سیستم گاز الکترون دو بعدی  $\text{GaAs}$ ، سرعت میانگین متناظر با انرژی از رابطه زیر نتیجه می شود:

$$V_c(k) = \frac{1}{\hbar} \nabla_k E_c(k) = \frac{\hbar k}{m} \quad (8-1)$$

از مقایسه دو معادله (6-1) و (7-1) تشابه الکترون آزاد و الکترون بلافا در تقریب جرم موثر مشخص می شود. هر دو دارای یک رابطه پراکندگی انرژی سهموی یکسان و بنابراین دارای شکل تابع یکسانی برای سرعت میانگین ذره آزاد هستند. تفاوت یک الکترون بلافا این است که (۱) بجای جرم آزاد از جرم موثر استفاده می شود. (۲) از اندازه حرکت بلور بجای اندازه حرکت ذره آزاد استفاده می شود. در جواب به سوال مطرح شده درباره الکترون در این پایان نامه، ما بسته موج بلافا را با تقریب جرم موثر در نظر خواهیم گرفت. اندازه حرکت الکترون، اندازه حرکت بلور است و بالاخره درجه آزادی اسپین همان است که برای الکترون آزاد در نظر گرفته می شود.

## ۱-۲- اسپین الکترون

کشف و توضیح اسپین یک بخش مهم از انقلابی است که بوسیله مکانیک کوانتموی روی داده است و فهرست افرادی که در توضیح آن شرکت داشته اند، در صدر فهرست اسامی فیزیکدانان قرن بیستم قرار دارد.

مساله اینجااست که هنگامی که اتمها در یک میدان مغناطیسی قوی قرار گرفتند، مشاهده شد که یک رنگ نور به دو رنگ تبدیل می شود. یعنی خطوط طیفی شکافت پیدا نمودند. بدیهی است این رنگهای جدید به این معنا بود که برای الکترون حالتی قابل دسترس بیشتری از آنچه که قبل تصور

می شد، وجود دارد، اما این حالت‌های جدید از کجا ناشی می شدند؟ بهر حال دانشمندان به این نتیجه رسیدند که الکترون به دور محوری متصل به خود دوران می کند و آنرا اسپین نامیدند.

نظریه صحیح ابتدا بوسیله دانشجوی بیست ساله ای بنام کرونیک بیان شد. او دریافت که حالت‌های اضافی را می توان بوسیله چرخش الکترون توضیح داد. پس اگر الکترون دارای چیزی باشد که ما اینک آنرا اسپین یک دوم (ضربدر واحد بنیادی تکانه زاویه ای کوانتومی) می نامیم، آنگاه باید دارای دو نوع مختلف چرخش باشد و در اینصورت شکافت مشاهده شده را می توان توضیح داد. این امر به طور تجربی با آزمایش اشترن گرلاخ تایید شد.

این حقیقت که الکترون یک اسپین  $\frac{1}{2}$  دارد، در مفهوم خودش مهم است. بنا به اصل طرد پائولی

هیچ دو الکترونی در یک اتم نمی توانند در یک حالت کوانتومی باشند، این بدان معناست که اگر سعی کنیم یک الکترون را به اتم اضافه کنیم، لازم است که حالتی با انرژی بزرگتر از آنچه که الکترونهای قبلی اشغال کرده اند، را اشغال کند. وقتی اتمهای با تعداد الکترونهای اضافی را بررسی می کنیم که مدل تناوب در جدول تناوبی هستند، ملاحظه می کنیم که این حالت‌های جدید با این نظم قبلا پر شده اند. اگر الکترون دارای اسپین  $\frac{1}{2}$  نبود، تمام الکترونها در یک اتم باید در حالت کمترین انرژی قرار می گرفتند. در اینصورت طبق جدول تناوبی شیمی، دنیای مادی ما آنطور که آنرا می شناسیم غیر ممکن می شد.

یک الکترون یا یک سیستم اسپین  $\frac{1}{2}$ ، یک سیستم کوانتومی دو حالتی می باشد. برای توصیف ریاضی آن دو حالت پایه در فضای هیلبرت تعریف شده است. کتهای پایه مورد استفاده  $(\pm, \downarrow)$  هستند که به اختصار آنها را با  $(\pm | \text{نشان می دهیم} )$  :

$$|+\rangle = |\uparrow\rangle = \begin{pmatrix} 1 \\ 0 \end{pmatrix} = \chi_+ \quad , \quad |-\rangle = |\downarrow\rangle = \begin{pmatrix} 0 \\ 1 \end{pmatrix} = \chi_- \quad (9-1)$$

عناصر ماتریسی  $\langle S_k | + \rangle$  و  $\langle S_k | - \rangle$  را بدون  $\frac{\hbar}{2}$  با ماتریسهای  $2 \times 2$  ( $\sigma_k$ )، نشان می دهند، که ماتریسهای پائولی نامیده می شوند [2] :

$$\langle \pm | S_k | + \rangle \equiv \left( \frac{\hbar}{2} \right) (\sigma_k)_{\pm,+} \quad \langle \pm | S_k | + \rangle \equiv \left( \frac{\hbar}{2} \right) (\sigma_k)_{\pm,-} \quad (10-1)$$

که در آن :

$$\sigma_1 = \begin{pmatrix} 0 & 1 \\ 1 & 0 \end{pmatrix}, \quad \sigma_2 = \begin{pmatrix} 0 & -i \\ i & 0 \end{pmatrix}, \quad \sigma_3 = \begin{pmatrix} 1 & 0 \\ 0 & -1 \end{pmatrix} \quad (11-1)$$

### ۳-۱- سیستم دو الکترونی

در این بخش می خواهیم بطور خلاصه سیستم دو ذره اسپین  $\frac{1}{2}$ ، مثلا دو الکترون را بدون در

نظر گرفتن درجه آزادی مداری آنها مطالعه کنیم [۲]. همانطور که می دانیم،  $\langle \pm |$  ویژه کتهای  $S^2$  و

$S_z$  با ویژه مقادیر  $\pm \frac{\hbar}{2}$  و  $\pm \frac{3\hbar^2}{4}$  برای یک الکترون هستند. معمولا عملگر اسپین کل دو الکترون را

بصورت زیر نشان می دهند:

$$S = S_1 + S_2 \quad (12-1)$$

برای اسپین کل داریم:

$$[S_x, S_y] = i\hbar S_z \quad (13-1)$$

و همینطور برای مولفه های دیگر.

ویژه مقادیر عملگرهای مختلف اسپینی بصورت زیر نشان داده می شود:

$$\begin{aligned} S^2 &= (S_1 + S_2)^2 : S(S+1)\hbar^2 \\ S_z &= S_{1z} + S_{2z} : m\hbar \\ S_{1z} &: m_1\hbar \\ S_{2z} &: m_2\hbar \end{aligned} \quad (14-1)$$

کت متناظر با یک حالت اسپین دلخواه را می توان برحسب ویژه کتهای  $S^2$  و  $S_z$  یا ویژه کتهای

$S_{1z}$  و  $S_{2z}$  بسط داد. این دو امکان بصورت زیر هستند:

۱. نمایش  $\{m_1, m_2\}$  براساس ویژه کتهای  $S_{1z}$  و  $S_{2z}$  :

$$|++\rangle, \quad |+-\rangle, \quad |-+\rangle, \quad |--\rangle$$

که  $|+-\rangle$  معرف حالت  $m_2 = -\frac{1}{2}$  و  $m_1 = \frac{1}{2}$  است و غیره.

۲. نمایش  $\{s, m\}$  (ویا نمایش سه گانه-یگانه) براساس ویژه کتهای  $S^2$  و  $S_z$ :

$$|s=1, m=\pm 1, 0\rangle \quad , \quad |s=0, m=0\rangle$$

که  $(s=0)$  اسپین سه گانه (اسپین بگانه) نامیده می شود.

توجه می کنیم که در هر مجموعه، چهار کت پایه وجود دارد. رابطه بین این دو مجموعه کتهای

پایه عبارتست از:

$$|s=1, m=1\rangle = |++\rangle$$

$$|s=1, m=0\rangle = \left(\frac{1}{2}\right)(|+-\rangle + |-+\rangle) \quad (15-1)$$

$$|s=1, m=-1\rangle = |--\rangle$$

$$|s=0, m=0\rangle = \left(\frac{1}{2}\right)(|+-\rangle - |-+\rangle)$$

#### ۱-۴- بدام اندازی<sup>۱</sup>

کلمه بدام اندازی اولین بار توسط شرودینگر بکار رفت [۳]. اینشتین-پادولسکی-روزن<sup>۲</sup> پس از آن مقاله ای در همین رابطه منتشر کردند، که به مقاله EPR مشهور شد. آنها دریافتند که نظریه کوانتمی همبستگیهای خاص را مجاز می داند که می تواند بین دو بخش از یک سیستم کوانتمی بوجود آید، که از نظر فیزیکی از یکدیگر دور هستند. این دو بخش می توانند دو الکترون، دو فوتون یا هر سیستم کوانتمی دو حالتی باشد که در یک تک حالت آماده شده و سپس از یکدیگر دور شده اند. این زوج سیستم کوانتمی را غالباً زوج EPR می نامند. همبستگیهایی که بین این زوج وجود دارد موجب می شود که نتیجه یک اندازه گیری را در یک قسمت سیستم با بررسی قسمت دورتر پیشگویی نمود. براساس مقاله EPR کمیت پیشگویی شده از راه دور باید حتی قبل از اندازه گیری دارای مقدار معینی باشد و در نتیجه نظریه کوانتمی، اجبارا ناکامل است.

1- Entanglement

2- Einstein-Podolsky-Rosen

شروع دینگر در همان مقاله ۱۹۳۵، گربه معروف خود را به عنوان یک توصیف حدی از به دام اندازی معرفی کرد: یک گربه از نظر فیزیکی در یک قفس با یک اتم در حال فروپاشی و با شیشه کوچکی از سیانور، یک حالت کوانتومی را نشان می دهد که دارای درجات آزادی ماکروسکوپی می باشد. اگر اتم قرار بود فروپاشی و ماشه شیشه سیانور باز شود، گربه می مرد. توصیف مکانیک کوانتومی سیستم انطباقی همدوس از یک حالت است که در آن اتم هنوز در حال تحریک و گربه زنده است و حالت دیگر که در آن اتم فروپاشی می کند و گربه مرده است [۳]:

$$\frac{1}{\sqrt{2}} \{ \text{گربه مرده ، اتم در حالت پایه} | + | \text{گربه زنده ، اتم تحریک شده} \}$$

سیستم مجازی گربه- ماشه- اتم- سیانور رویهمرفته یک حالت به دام افتاده معین است. اگر چه خود گربه به صورت یک مخلوط محتمل زنده یا مرده وجود داشته باشد.

جان بل<sup>۱</sup> در سال ۱۹۶۴ مقالاتی منتشر کرد و نامساویهای همبستگی بددست آورد که می توان آنها را در مکانیک کوانتومی نقض کرد، اما در داخل هر مدل جایگزیده و کامل باید برقرار شود [۳]. وی چنین مدلی را مدل جایگزیده با متغیرهای مخفی نامید. نامساوی بل<sup>۲</sup> نشان داد که مدلها جایگزیده با متغیرهای مخفی بی اعتبار هستند. بویژه مشاهده نقض نامساویهای بل وجود بدام اندازی در سیستم کوانتومی را نشان داد. برای بددست آوردن نامساوی بل لازم است بطور مقدماتی حالت‌های بدام افتاده اسپین را بررسی کنیم.

## ۱-۵- حالت‌های بدام افتاده اسپین

بعضی از فرایندهای فیزیکی دو الکترون را در دو جهت مختلف ارسال می کنند. اندازه گیری روی هر تک الکtron، یک احتمال معین از نمایش بالا یا پایین دارد، اما اندازه گیری روی هر دو الکترون همیشه اسپینهای متضاد نتیجه می دهد. در واقع جهان به دو الکترون اجازه می دهد که بطور

<sup>۱</sup>- John Bell

<sup>۲</sup>- Bell Inequality

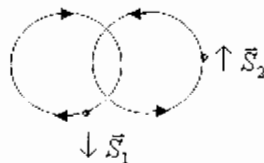
همزمان نتیجه اندازه گیری اول را بدانند (ارتباط برقرار کنند). چنین زوج الکترونی، بدام افتاده نامیده می شوند.

اگر یک بردار حالت  $|\varphi\rangle$  از یک سیستم متشکل از دو الکترون بتواند مانند ضرب تانسوری  $= |\varphi\rangle \otimes |\varphi_1\rangle \otimes |\varphi_2\rangle$  از حالت‌های دو ذره نشان داده شود، دو الکترون بدام افتاده نیستند. برای یک جفت الکترون فقط چهار حالت وجود دارد که نمی توان آنها را مانند یک ضرب تانسوری از حالت‌های دو ذره نشان داد. این چهار حالت، ماکزیمم بدام اندازی برای یک جفت الکترون هستند که حالت‌های بل نامیده می شوند:

$$|--\rangle \pm |++\rangle \quad (16-1)$$

$$|-+\rangle \pm |+-\rangle \quad (17-1)$$

این حالتها به این دلیل حالت‌های بل نامیده می شوند که بوسیله آنها نامساوی بل نقض می شود. سوالی که در اینجا مطرح می شود این است که چگونه می توان بطور فیزیکی یک حالت جفت شده (به دام افتاده) از دو اسپین را ایجاد نمود؟ در واقع برای ایجاد یک حالت جفت شده باید بین آنها یک برهمکنش وجود داشته باشد [۴]. اما چگونه این برهمکنش را ایجاد کنیم. با دو کیوبیت فیزیکی یعنی الکترونها شروع می کنیم. شکل زیر را در نظر بگیرید:



شکل(۱-۱) : طرح اولیه برای بدام اندازی اسپین دو الکترون [۴]

حالت زمینه این دستگاه در یک حالت جفت شده قرار دارد. برای نشان دادن آن به بحث زیر توجه کنید. همانطور که می دانیم، الکترونها را می توانیم بدليل گشتاور دوقطبی شان مانند حلقه های

جريان کوچک در نظر بگیریم که میدانهای مغناطیسی دو قطبی تولید می‌کنند. اما اگر یک الکترون میدان مغناطیسی ایجاد کند، الکترون دیگر می‌تواند این میدان الکتریکی را حس کند. اگر دو الکترون را به اندازه کافی نزدیک یکدیگر قرار دهیم، می‌توان مجسم کرد که میدان ایجاد شده از الکترون ۱ (یا ۲) بوسیله الکترون ۲ (یا ۱) احساس خواهد شد. می‌توانیم هامیلتونی را به شکل زیر بنویسیم:

$$\hat{H} = C S_2 \cdot S_1 \quad (18-1)$$

که  $C$  تابعی قوی از مکان نسبی می‌باشد.

اگر عملگر جدید  $S_{\text{tot}} = S_1 + S_2$  را در نظر بگیریم، می‌توان نشان داد که تابع موج مورد نظر با توجه به حالتهای اسپین دو الکترون به صورت زیر است:

$$|\Psi\rangle_0 = \frac{1}{\sqrt{2}} (|-\rangle_1 |+\rangle_2 - |+\rangle_1 |-\rangle_2) \quad (19-1)$$

که یک حالت بل می‌باشد که ویژه حالت  $\hat{S}_T^2$  با ویژه مقدار صفر است.

از آنچه گذشت می‌توان نتیجه گرفت که بطور تجربی می‌توان حالت بل را با قرار دادن دو اسپین در مجاورت یکدیگر خلق نمود، بشرط آنکه اختلالی ایجاد کنیم که سیستم را به حالت پایه ببرد.

## ۱-۶- کامپیوترهای کوانتومی

یک بیت یک واحد بنیادی اطلاعات است که به طور کلاسیک مانند صفر و یک در کامپیوترهای دیجیتال نشان داده شده است. از نقطه نظر فیزیکی، بیت یک سیستم فیزیکی است که می‌تواند در دو حالت مختلف که دارای دو ارزش منطقی است وجود داشته باشد – نه یا بله، غلط یا درست یا به طور ساده صفر و یک.

برای مثال در کامپیوترهای دیجیتال ولتاژ بین صفحات یک خازن، یک بیت از اطلاعات را نشان می‌دهد. خازن شارژ شده بیت با مقدار یک و خازن شارژ نشده بیت با مقدار صفر را نشان می‌دهد.

یک بیت از اطلاعات را می‌توان با استفاده از یک سیستم کوانتومی دو حالت قطبش نور یا دو حالت اسپین الکترون نیز نشان داد. این بیت کوانتومی، کوانتوم بیت یا کیوبیت نامیده می‌شود. بهر حال اگر ما یک الکترون را مانند یک بیت فیزیکی در نظر بگیریم؛ می‌توانیم اسپین بالا یا  $\frac{1}{2} +$  را برای حالت ۱ و اسپین پایین یا  $\frac{1}{2} -$  را برای حالت ۰ در نظر بگیریم. یعنی :

$$|1\rangle \equiv |\uparrow\rangle \equiv |+\rangle \quad , \quad |0\rangle \equiv |\downarrow\rangle \equiv |- \rangle$$

خواص این بیت از تبعیت آن از قوانین مکانیک کوانتمی ناشی می‌شود، که به طور اصولی با قوانین فیزیک کلاسیک متفاوت است. مکانیک کوانتمی به ما می‌گوید که جدا از دو حالت مجازی الکترونی (۰ و ۱)، هر اتم می‌تواند در یک برهمنش مرتبط با دو حالت نیز وجود داشته باشد. یعنی یک حالت آمیخته یا بر هم‌نهشی از حالت‌های مرسوم. یعنی الکترون می‌تواند در حالت صفر یا یک باشد یا بطور همزمان در حالت مرکبی از صفر و یک باشد، اما با یک ضریب عددی که احتمال هر حالت را نشان می‌دهد.

در حالت عمومی،  $L^2$  کیوبیت می‌تواند  $2^L$  حالت را در یک زمان داشته باشد. همین که مجموعه در یک برهمنهش از حالت‌های مختلف ساخته شده باشد، ما می‌توانیم عملیات را روی تمام آنها انجام دهیم. بعنوان مثال اگر کیوبیتها، اتمها هستند، بطور مناسب تنظیم تپ‌های لیزر، بر حالت‌های اتمی الکترونها تاثیر می‌کند، که نتیجه آن برهمنهش اصلی از اعداد رمزگذاری شده می‌باشد. در مدت چنین تحولی، هر حالت در برهمنهش تاثیر می‌پذیرد و در نتیجه ما یک محاسبه موازی بزرگ در یک سخت افزار کوانتومی تولید کرده‌ایم. به این معنی که یک کامپیوتر کوانتومی می‌تواند تنها در یک مرحله محاسبه همان عمل ریاضی را که در  $2^L$  حالت ورودی مختلف انجام می‌شود، در برهمنهشهای همدوس  $L$  کیوبیت انجام دهد. یک کامپیوتر کلاسیک به منظور انجام همان وظیفه باید همان محاسبه را  $2^L$  بار انجام دهد. یا اینکه باید از  $2^L$  پردازشگر مختلف که بطور موازی کار می‌کنند استفاده کرد. اگر بخواهیم مفهوم به داماندازی را در مورد کیوبیتها بکار ببریم، می‌توانیم بگوییم که دو بیت کلاسیکی می‌تواند ۰۰، ۰۱، ۱۰، ۱۱ باشد. ما می‌توانیم مقدار اولین بیت را بدانیم بدون اینکه این

اندازه گیری روی بیت دوم تاثیر گذارد. در این صورت این دو بیت بدام افتاده نیستند، چون بیت دوم از نتیجه اندازه گیری بیت اول اطلاع ندارد. اما دو کیوبیت می‌تواند در حالت  $\frac{1}{\sqrt{2}}(|01\rangle + |10\rangle)$  باشد. کیوبیت اول نه  $|0\rangle$  است، نه  $|1\rangle$  و حتی این حالت یک برهم‌نهش از دو حالت  $|0\rangle$  و  $|1\rangle$  نیز نیست. برای اینکه این وضعیت به طور کلی حالت جدگانه‌ایست و در واقع مقدار کیوبیت اول با مقدار کیوبیت دوم بدام افتاده است. ما مقدار کیوبیت اول را تحت تاثیر کیوبیت دوم نمی‌توانیم کشف کنیم، بلکه می‌گوییم ما آنرا اندازه می‌گیریم و صفر بدهست می‌آوریم. معنی آن اینست که حالت سیستم حالت  $|01\rangle$  است و بنابراین کیوبیت دوم حالت  $|1\rangle$  است، اما قبل از آن نبوده است، بلکه با مقدار کیوبیت اول بدام افتاده بوده است.

## ۷-۱- تصویرهای شرودینگر، هایزنبرگ و برهمکنش

### ۷-۱-۱- تصویر شرودینگر

تصویر شرودینگر صورت‌بندی است که بطور نمونه در دوره مقدماتی در مکانیک کوانتمی تدریس می‌شود. پایه آن معادله شرودینگر است،

$$i\hbar \frac{\partial}{\partial t} |\Psi(t)\rangle = \hat{H} |\Psi(t)\rangle \quad (20-1)$$

که در آن  $|\Psi(t)\rangle$  یک تابع موج وابسته به زمان و  $\hat{H}$  اپراتور هامیلتونی مستقل از زمان برای سیستم مورد مطالعه است. معادله یک سیستم دینامیکی خطی را توصیف می‌کند و یک جواب رسمی دارد:

$$|\Psi(t)\rangle = e^{-\frac{i}{\hbar} \hat{H} t} |\Psi(0)\rangle \quad (21-1)$$

در مجموع می‌توان دو نکته برای تصویر شرودینگر در نظر گرفت:

۱- تابع موج وابسته به زمان است. توجه کنید که این وابستگی زمانی می‌تواند فقط یک عامل فاز به

شکل  $e^{\frac{i}{\hbar} E t}$  باشد، که در آن  $E$  یک ویژه مقدار انرژی است.

۲- عملگرهای مستقل از زمان هستند.

## ۱-۷-۲- تصویر هایزبرگ

در تصویر هایزبرگ، تحول زمانی سیستم در عملگرها آشکار است، نه در توابع موج. دو نکته وجود دارد:

۱- توابع موج مستقل از زمان هستند.

۲- عملگرها وابسته به زمان می باشند.

چون هنوز یک سیستم دینامیکی خطی توصیف می شود، وابستگی زمانی عملگر  $(\hat{O}(t))$  در یک سیستم بوسیله یک هامیلتونی  $\hat{H}$  توصیف می شود،

$$\hat{O}(t) = e^{\frac{i}{\hbar} \hat{H} t} \hat{O}(0) e^{-\frac{i}{\hbar} \hat{H} t} \quad (22-1)$$

از مشتق جزیی آن نسبت به زمان معادله حرکت هایزبرگ نتیجه می شود:

$$i\hbar \frac{d}{dt} \hat{O}(t) = [\hat{O}(t), \hat{H}] \quad (23-1)$$

تصویرهای شرودینگر و هایزبرگ، سیستمهای فیزیکی مشترکی را توصیف می کنند، بنابراین از معادلات آنها نیز باید جواب مشترک نتیجه شود. این می تواند با توجه به عنصر ماتریس یک مشاهده پذیر  $\hat{O}$  در زمان  $t$  بین دو حالت سیستم  $\langle \Psi_1 | \Psi_2 \rangle$  و  $\langle \Psi_2 | \Psi_1 \rangle$  توجیه گردد. دینامیک سیستم بوسیله یک هامیلتونی  $\hat{H}$  توصیف می شود. در نمایش شرودینگر می توان نوشت:

$$\langle \Psi_1^\dagger(t) | \hat{O}(0) | \Psi_2(t) \rangle = \langle \Psi_1^\dagger(0) | e^{\frac{i}{\hbar} \hat{H} t} \hat{O}(0) e^{-\frac{i}{\hbar} \hat{H} t} | \Psi_2(0) \rangle \quad (24-1)$$

که در آن وابستگی زمانی تابع موج از طریق حل معادله شرودینگر در معادله (۲۱-۱) باز نویسی می شود. عبارت دیگر، می توان با استفاده از رابطه (۲۴-۱) تصویر هایزبرگ و معادله (۲۲-۱) عبارت زیر را بدست آورد:

$$\langle \Psi_1^\dagger(0) | \hat{O}(t) | \Psi_2(0) \rangle = \langle \Psi_1^\dagger(0) | e^{\frac{i}{\hbar} \hat{H} t} \hat{O}(0) e^{-\frac{i}{\hbar} \hat{H} t} | \Psi_2(0) \rangle \quad (25-1)$$

که در این رابطه وابستگی زمانی به عملگر منتقل شده است، یعنی تصویر هایزبرگ را بدست آورده ایم. عناصر دو ماتریس معادل یکدیگرند. توضیح فیزیکی به صورت زیر است. در تصویر شرودینگر، عملگرها نسبت به زمان ثابت هستند. هامیلتونی شامل یک جمله برهمن کنی است، و این

جمله بر توابع موج اثر می کند. بعد از مدت زمانی توابع موج ناشی از برهم کنش تکمیل می شوند و عنصر ماتریس نمایش عملگر ایستا را در تابع موج شامل زمان تقویم می کند. عبارت دیگر در تصویر هایزنبرگ، جمله برهم کنشی موجب می شود که عملگر شامل زمان باشد. عنصر ماتریس ارزیابی می کند که عملگر با تصویر آن در توابع موج ایستا چه مقدار تغییر کرده است.

### ۱-۷-۳- تصویر برهم کنش<sup>۱</sup>

در تصویر برهم کنش، عملگرها و توابع موج هر دو وابسته به زمان هستند. هامیلتونی به شکل زیر نوشته می شود،

$$\hat{H} = \hat{H}_0 + \hat{V} \quad (26-1)$$

که در آن  $\hat{H}$  هامیلتونی مختل نشده است که می تواند به طور دقیق حل شود، و  $\hat{V}$  قسمت مختل شده است که زمانیکه سیستم شامل این قسمت است، دیگر هامیلتونی سیستم به طور دقیق قابل حل نیست. برای تصریح نمادگذاری، عملگرها و توابع موج در تصویر برهم کنشی با استفاده از زیرنویس I نوشته می شوند. وابستگی زمانی عملگرها و توابع موج را می توان به شکل زیر جمع بندی نمود.

۱- عملگرها از طریق قسمت  $H_0$  هامیلتونی وابسته به زمان هستند. توجه کنید که  $\hat{H}_{0,I} = \hat{H}_0$ .

$$\hat{O}_I(t) = e^{\frac{i}{\hbar} \hat{H}_0 t} \hat{O}(0) e^{-\frac{i}{\hbar} \hat{H}_0 t} \quad (27-1)$$

۲- توابع موج از طریق قسمت برهمنکشی  $\hat{V}$  وابسته به زمان هستند. وابستگی زمانی به شکل زیر نوشته می شود،

$$|\Psi_I(t)\rangle = e^{\frac{i}{\hbar} \hat{H}_0 t} e^{-\frac{i}{\hbar} \hat{H} t} |\Psi_0\rangle \quad (28-1)$$

بنابراین:

---

1 - Interaction Projection

$$\begin{aligned}\frac{\partial}{\partial t}|\Psi_I(t)\rangle &= \frac{i}{\hbar} e^{i\hat{H}_0 t} (\hat{H}_0 - \hat{H}) e^{-i\hat{H} t} |\Psi_I(0)\rangle \\ &= -\frac{i}{\hbar} \hat{V}_I(t) |\Psi_I(t)\rangle\end{aligned}\quad (29-1)$$

در حالت عمومی هامیلتونی  $\hat{H}$  سیستم به طور دقیق قابل حل نیست. البته فقط قسمت  $H_0$  قابل حل است. این به طور نمونه به این معنی است که  $[\hat{H}_0, \hat{V}] \neq 0$ . در این مورد، توانهای وابسته به زمان در نمی توانند به طور ساده ترکیب شوند، چون:

$$e^{\hat{H}_0} e^{\hat{V}} = e^{\hat{H}_0 + \hat{V}} \quad (30-1)$$

فقط زمانی که  $[\hat{H}_0, \hat{V}] = 0$  باشد، برقرار است. در اینجا  $\hat{V}$  به طور ساده قسمت اختلالی  $\hat{V}$  از هامیلتونی در تصویر برهمنش است.

در معادله (31-1)، عملگر  $\hat{U}$  حالت  $t = 0$  یعنی  $|\Psi_I(0)\rangle = |\Psi(0)\rangle$  را به حالت  $t$  در زمان  $t$  می برد:

$$\hat{U}(t) = e^{i\hat{H}_0 t} e^{-i\hat{H} t} \quad (31-1)$$

توجه کنید که  $\hat{U}(t = 0) = 1$ . از مشتق جزیی  $\hat{U}(t)$  نتیجه می شود:

$$\begin{aligned}\frac{\partial}{\partial t} \hat{U}(t) &= \frac{i}{\hbar} e^{i\hat{H}_0 t} (\hat{H}_0 - \hat{H}) e^{-i\hat{H} t} \\ &= -\frac{i}{\hbar} \hat{V}_I(t) \hat{U}(t)\end{aligned}\quad (32-1)$$

این معادله را می توان از طریق انتگرال گیری از هر دو طرف نسبت به زمان حل نمود:

$$\begin{aligned}\hat{U}(t) - \hat{U}(0) &= -\frac{i}{\hbar} \int_0^t dt_1 \hat{V}_I(t_1) \hat{U}(t_1) \\ \hat{U}(t) &= 1 - \frac{i}{\hbar} \int_0^t dt_1 \hat{V}_I(t_1) \hat{U}(t_1)\end{aligned}\quad (33-1)$$

از تکرار مکرر این معادله نتیجه می شود:

$$\hat{U}(t) = \sum_{n=0}^{\infty} \left( \frac{-i}{\hbar} \right)^n \int_0^t dt_1 \int_0^{t_1} dt_2 \cdots \int_0^{t_{n-1}} dt_n \hat{V}_I(t_1) \hat{V}_I(t_2) \cdots \hat{V}_I(t_n) \quad (34-1)$$

عملگر ترتیب زمانی  $\hat{U}$  به آرایش عملگرهای  $(\hat{V}_I(t_1) \hat{V}_I(t_2) \cdots \hat{V}_I(t_n))$  در زمان اثر می کند، که نزدیکترین زمان سمت راست است. بعنوان مثال:

$$\hat{\tau} [\hat{V}_I(t_1) \hat{V}_I(t_2)] = \hat{V}_I(t_1) \hat{V}_I(t_2) \Theta(t_1 - t_2) + \hat{V}_I(t_2) \hat{V}_I(t_1) \Theta(t_2 - t_1) \quad (35-1)$$

که در آن  $\Theta$  تابع پله ای است. توجه کنید که عملگرهای  $\hat{V}_I(t_1) \hat{V}_I(t_2)$  جابجا شده اند، و نیازی به داخل کردن عملگر ترتیب زمانی نخواهد بود. همچنین توجه کنید که عملگر ترتیب زمانی این عملگر را جابجا می کند بدون آنکه علامت آنرا تغییر دهد. در نهایت، با استفاده از عملگر ترتیب زمانی،! ترتیب  $n$  عملگر برهمنش  $\hat{V}_I(t_1) \hat{V}_I(t_2) \dots \hat{V}_I(t_n)$  به شکل زیر در می آید:

$$\begin{aligned} \hat{U}(t) &= \sum_{n=0}^{\infty} \frac{1}{n!} \left( \frac{-i}{\hbar} \right)^n \int_0^t (dt_1) \int_0^{t_1} (dt_2) \dots \int_0^{t_{n-1}} (dt_n) \hat{\tau} [\hat{V}_I(t_1) \hat{V}_I(t_2) \dots \hat{V}_I(t_n)] \\ &= \hat{\tau} \exp \left[ \left( -\frac{i}{\hbar} \right) \int_0^t (dt_1) \hat{V}_I(t_1) \right] \end{aligned} \quad (36-1)$$

از این معادله در فصل سوم استفاده خواهیم کرد.

ماتریس  $S$ ،  $S = \hat{S}(t, t')$  یک تابع موج در زمان  $t'$  را به یک تابع موج در  $t$  می برد:

$$|\Psi_I(t)\rangle \equiv \hat{S}(t, t') |\Psi_I(t')\rangle \quad (37-1)$$

ملاحظه می شود که در حد  $t' = 0$ .  $\hat{S}(t, 0) = U(t)$ . همچنین:

$$|\Psi_I(t)\rangle \equiv \hat{S}(t, t') |\Psi_I(t')\rangle = \hat{S}(t, t') \hat{U}(t') |\Psi(0)\rangle = \hat{U}(t) |\Psi(0)\rangle \quad (38-1)$$

دلالت بر این دارد که:

$$\hat{S}(t, t') = \hat{U}(t) \hat{U}^\dagger(t') \quad (39-1)$$

ماتریس  $S$  سه خاصیت زیر را دارد:

$$\hat{S}(t, t) = \hat{U}(t) \hat{U}^\dagger(t) = 1 \quad -1$$

$$\hat{S}^\dagger(t, t') = \hat{U}(t') \hat{U}^\dagger(t) \hat{S}(t', t) \quad -2$$

$$\hat{S}(t, t') \hat{S}(t', t'') = \hat{S}(t, t'') \quad -3$$

در نهایت  $\hat{S}(t, t')$  می تواند همچنین مانند یک عملگر ترتیب زمانی به دو روش معادل نوشته شود.

$$\frac{\partial}{\partial t} \hat{S}(t, t') = \left( \frac{\partial}{\partial t} \hat{U}(t) \right) \hat{U}^\dagger(t') = -\frac{i}{\hbar} \hat{V}_I(t) \hat{S}(t, t') \quad (40-1)$$

$$\frac{\partial}{\partial t} \hat{S}(t, t') = \hat{U}(t) \left( \frac{\partial}{\partial t'} \hat{U}^\dagger(t') \right) = \frac{i}{\hbar} \hat{S}(t, t') \hat{V}_I(t') \quad (41-1)$$

در یک روش در مقایسه با معادله (۳۶-۱)، حل این معادلات می‌تواند از طریق انتگرال گیری انجام شود. در مورد اولی:

$$\begin{aligned} \int dt_1 \frac{\partial}{\partial t_1} \hat{S}(t_1, t') &= -\frac{i}{\hbar} \int dt_1 \hat{V}_I(t_1) \hat{S}(t_1, t') \\ \hat{S}(t, t') - \hat{S}(t', t') &= -\frac{i}{\hbar} \int dt_1 \hat{V}_I(t_1) \hat{S}(t_1, t') \quad (42-1) \\ \hat{S}(t, t') &= 1 - \frac{i}{\hbar} \int dt_1 \hat{V}_I(t_1) \hat{S}(t_1, t') \end{aligned}$$

در مورد دومی:

$$\begin{aligned} \int dt_1 \frac{\partial}{\partial t_1} \hat{S}(t, t_1) &= \frac{i}{\hbar} \int dt_1 \hat{S}(t, t_1) \hat{V}_I(t_1) \\ \hat{S}(t, t) - \hat{S}(t, t') &= \frac{i}{\hbar} \int dt_1 \hat{S}(t, t_1) \hat{V}_I(t_1) \quad (43-1) \\ \hat{S}(t, t') &= 1 - \frac{i}{\hbar} \int dt_1 \hat{S}(t, t_1) \hat{V}_I(t_1) \end{aligned}$$

اگر چه این دو نتیجه یکسانند، ممکن است مشاهده معادل بودن آنها به طور مستقیم مشکل باشد، چون عملگرها جابجا نمی‌شوند. در نمادگذاری خلاصه نویسی، هر دو می‌توانند به شکل زیر نوشته شوند،

$$\hat{S}(t, t') = \hat{\tau} \exp \left[ \left( -\frac{i}{\hbar} \right) \int (dt_1) \hat{V}_I(t_1) \right] \quad (44-1)$$

#### ۴-۷-۱ - حدّهای بی دررو و تند

فرمولبندی که در اینجا استفاده شده، شامل تحول زمانی یک حالت ورودی  $\langle \Psi(0) |$  است. در زمان  $t = 0$ ، این نقطه شروع، در هر سه تصویر کوانتمی مشترک است. بهر حال، این حالت ناشناخته است، چون یک حالت ویژه (معمولًا حالت زمینه) سیستم با هامیلتونی  $\hat{H}$  است. در واقع، اگر این حالت هم اکنون شناخته شده باشد، پس این مسئله ذاتا حل شده است. بهر حال سودمندی تصویر برهمکنش

این است که هامیلتونی سیستم به  $\hat{H}_0$  و  $\hat{V}$  تقسیم شده است، ویژه حالت و ویژه مقدار  $\hat{H}_0$  را می دانیم. تعریف حالت زمینه  $\hat{H}_0$  به  $\langle \Phi_0 |$  مسئله را به پیدا کردن  $\langle \Psi(0) |$  بر حسب  $\langle \Phi_0 |$  تبدیل می کند. تئوری ژل-مان و لو<sup>۱</sup> این دو حالت را به هم مربوط می کند:

$$|\Psi(0)\rangle = \hat{S}(0, -\infty) |\Phi_0\rangle \quad (45-1)$$

بعنوان یک بحث توجیهی رابطه زیر را می نویسیم:

$$|\Psi_I(t)\rangle = \hat{S}(t, 0) |\Psi(0)\rangle \quad (46-1)$$

با استفاده از خواص ماتریس  $S$  ، این عبارت به شکل زیر نوشته می شود.

$$|\Psi(0)\rangle = \hat{S}(0, t) |\Psi_I(t)\rangle \quad (47-1)$$

در حد  $t \rightarrow -\infty$  ، پیدا می کنیم،

$$|\Psi(0)\rangle = \hat{S}(0, -\infty) |\Psi_I(-\infty)\rangle \quad (48-1)$$

بنابراین ثابت می شود که ویژه حالت سیستم در زمان  $t \rightarrow -\infty$  برابر  $\langle \Phi_0 |$  است. این شرط می تواند از طریق یک بحث انتقال بی دررو بدست آید، که در آن هامیلتونی سیستم به شکل زیر نوشته می شود.

$$\hat{H} = \hat{H}_0 + \lim_{\varepsilon \rightarrow 0} e^{-\varepsilon|t|} \hat{V} \quad (49-1)$$

که در آن  $\varepsilon$  یک عدد کوچک است که در آخر به صفر برد می شود، بشرطی که مقیاس انرژی  $V$ ، رابطه  $\hat{H}_0 - \varepsilon \hat{V}$  باشد، آنگاه سیستم بطور بی دررو از حالت زمینه  $\hat{H}_0$  در زمان  $t \rightarrow -\infty$  تا حالت زمینه  $\langle \Psi(0) |$  در زمان  $t = 0$  را شامل می شود. این یک بحث ساده توجیهی برای تصدیق تئوری ژل-مان و لو بود.

در مورد بدام انداز، تئوری ژل-مان و لو اجازه استفاده از عملگرهای خلق و نابودی مثلا برای سیستمهای دهانه و نقطه (در فصلهای بعد به آنها رجوع خواهیم نمود) که با یکدیگر برهمنکش ندارند، (اما از طریق  $\hat{H}_0$  به هم مربوط می شوند) در تصویر برهمنکش (که برای جفت شدگی این سیستمهای

اهمیت دارد) میسر می شود. این محاسبه زمانی معتبر است که دهانه ها و نقطه کوانتمی برای یک مدت طولانی با هم جفت شده باشند و  $\hat{V}$  مستقل از زمان باشد (یا تقریباً، فقط در مفهوم بی دررو با زمان تغییر کند). تحت این شرایط اثرهای زودگذر وجود ندارند، چون هر کدام که ممکن است اتفاق می افتد، برای مثال زمانیکه وسیله ساخته شده است، یا فرایند سرد شدن یا روشن شدن، در زمان طولانی اتفاق می افتد. لذا اگر این جفت شدگی را بعنوان حد زمان بلند یا بی دررو در نظر بگیریم، که در این صورت تابع زمان فقط بصورت عامل فاز در جلوی «کت» ها ظاهر می شود.

در کران بعدی سیستم ممکن است تا زمان  $t_0 = t$  در حالت زمینه  $\hat{H}_0$  باشد، لحظه ای که در آن قسمت برهمنکنش  $\hat{V}$  به طور ناگهانی روشن می شود. در این صورت هامیلتونی سیستم بدرسی با زمان تغییر می کند، و باید انتظار نتیجه ای را داشته باشیم که با زمان تغییر می کند. ویژه  $\hat{H}_0$  در  $t_0$  همان ویژه  $\hat{H}$  سیستم در زمان  $t \geq t_0$  هستند، که در تمام مرتبه های  $t$  اثرهای زودگذر ایجاد می کنند. برای زمانهای کوتاه، می توان با صرفنظر کردن از مراتب بالاتر  $t - t_0$  یک جواب تقریبی بدست آورد. به حال، در حدی که  $t \rightarrow -\infty$  و تمام مرتبه های  $t - t_0$  حفظ شوند، باید انتظار داشت که این اثرهای زودگذر از بین بروند و همان نتیجه ای که در حد زمان بلند محاسبه شد باقی بماند.

فرض می شود که هامیلتونی به شکل زیر باشد،

$$\hat{H} = \hat{H}_0 + \hat{V} \Theta(t - t_0) \quad (50-1)$$

که در آن  $(t - t_0) \Theta$  تابع پله ای است و بنا به تعریف:  $\hat{H}_0 |\Phi_0\rangle = E_0 |\Phi_0\rangle$ . از تعریف  $\hat{H}_0$  و عملگرها در تصویر برهمنکنش نتیجه می شود:

$$|\Psi(t_0)\rangle = |\Phi_0(t_0)\rangle = e^{\frac{i}{\hbar} E_0 t_0} |\Phi_0\rangle \quad (51-1)$$

$$\hat{S}(t, t_0) = \hat{U}(t) \hat{U}^\dagger(t_0) = e^{\frac{i}{\hbar} \hat{H}_0 t} e^{-\frac{i}{\hbar} \hat{H}(t-t_0)} e^{-\frac{i}{\hbar} \hat{H}_0 t_0} \quad (52-1)$$

توجه کنید که برای اختصار، نتیجه  $t = t_0$  و  $t = t_0$  در توافق با تابع پله ای در تعریف، حذف شده است.

حالت در زمان  $t$  در تصویر برهمکنش به شکل زیر است:

$$\begin{aligned} |\Psi_I(t)\rangle &= \hat{S}(t, t_0) |\Psi_I(t_0)\rangle \\ &= \left[ 1 - \frac{i}{\hbar} \int_0^t dt_1 \hat{S}(t, t_1) \hat{V}_I(t_1) \right] e^{\frac{i}{\hbar} E_0 t_0} |\Phi_0\rangle \end{aligned} \quad (53-1)$$

با استفاده از تعریف  $\hat{S}(t, t_0)$  در معادله (43-1) و جایگذاری آن در  $(53-1)$  نتیجه می شود:

$$= \left[ 1 - \frac{i}{\hbar} \int_0^t dt_1 \left( e^{\frac{i}{\hbar} \hat{H}_0 t_1} e^{-\frac{i}{\hbar} \hat{H}(t-t_1)} e^{-\frac{i}{\hbar} \hat{H}_0 t_1} \right) \left( e^{\frac{i}{\hbar} \hat{H}_0 t_1} \hat{V} e^{-\frac{i}{\hbar} \hat{H}_0 t_1} \right) \right] e^{\frac{i}{\hbar} E_0 t_0} |\Phi_0\rangle \quad (54-1)$$

این نتیجه به شکل زیر ساده می شود:

$$= e^{\frac{i}{\hbar} E_0 t_0} \left[ 1 - \frac{i}{\hbar} e^{\frac{i}{\hbar} \hat{H}_0 t} e^{-\frac{i}{\hbar} \hat{H} t} \int_0^t dt_1 e^{-\frac{i}{\hbar} (E_0 - \hat{H}) t_1} V \right] |\Phi_0\rangle \quad (55-1)$$

فرض می کنیم که  $V$  برای زمانهای  $t > t_0$  مستقل از زمان است، پس می توان نوشت:

$$= e^{\frac{i}{\hbar} E_0 t_0} \left[ 1 + e^{\frac{i}{\hbar} \hat{H}_0 t} e^{-\frac{i}{\hbar} \hat{H} t} \frac{e^{-\frac{i}{\hbar} (E_0 - \hat{H}) t} - e^{-\frac{i}{\hbar} (E_0 - \hat{H}) t_0}}{E_0 - \hat{H}} \hat{V} \right] |\Phi_0\rangle \quad (56-1)$$

این عبارت سپس به شکل زیر خلاصه می شود:

$$= \lim_{\eta \rightarrow 0} e^{\frac{i}{\hbar} E_0 t_0} \left[ 1 + e^{-\frac{i}{\hbar} (E_0 - \hat{H}_0) t} \frac{1 - e^{\frac{i}{\hbar} (E_0 - \hat{H} + i\eta)(t-t_0)}}{E_0 - \hat{H} + i\eta} \hat{V} \right] |\Phi_0\rangle \quad (57-1)$$

که در آن پارامتر کوچک  $\eta$  برای همگرایی وارد می شود (فرض می شود). این نتیجه به طریق زیر تفسیر می شود، قسمت اول بخشی است که هرگز برهمکنشی را تحمل نمی کند، و در حالت زمینه می ماند. قسمت دوم قسمتی از حالت اولیه است که برهمکنش را بر تمام مرتبه های  $V$  تحمیل می کند. توجه می کنیم که هیچ بسط اختلالی در این نقطه در دست نیست، خواه در زمان یا در  $V$ . بنابراین این نتیجه درست است.

### رابطه ای برای حد زمان طولانی

در ارتباط با محاسبات بدام انداز نقطه کوانتومی از تئوری ژل-مان و لو استفاده شده است. فرض شده که دهانه ها و نقطه در تماس هستند، و برهمکنش برای یک مدت طولانی وجود دارد. این

مسئله بوسیله حد  $\rightarrow \infty$  در معادله (۵۷-۱) وسپس حد  $0 \rightarrow t_0$  مدلسازی می شود. از این نتیجه می شود:

$$|\Psi_I(t)\rangle = e^{iL} \left[ 1 + e^{-\frac{i}{\hbar}(E_0 - \hat{H}_0)t} \frac{1}{E_0 - \hat{H}} \hat{V} \right] |\Phi_0\rangle \quad (58-1)$$

که در آن  $e^{iL}$  یک فاز کلی (و بنابراین دلخواه است). جمله ای وجود دارد که تغییر نمی کند و یک قسمت با تمام مرتبه های  $V$  برهمکنش دارد. بنابراین در حد زمان طولانی، این نتیجه درست است، و بطور دقیق نتیجه بدست آمده با استفاده از تئوری ژل-من و لو است این نتیجه می تواند با استفاده ازتساوی زیر به ماتریس انتقال یا ماتریس  $T$ ، مربوط شود:

$$\begin{aligned} \frac{1}{E_0 - \hat{H}} \hat{V} &= \left( \frac{1}{E_0 - \hat{H}_0} + \frac{1}{E_0 - \hat{H}_0} \hat{V} \frac{1}{E_0 - \hat{H}_0} + \dots \right) \hat{V} \\ &= \frac{1}{E_0 - \hat{H}_0} \left( \hat{V} + \hat{V} \frac{1}{E_0 - \hat{H}_0} \hat{V} + \dots \right) \\ &= \frac{1}{E_0 - \hat{H}_0} \hat{T}(E_0) \end{aligned} \quad (59-1)$$

بنابراین می توان نوشت:

$$= e^{iL} \left[ 1 + e^{-\frac{i}{\hbar}(E_0 - \hat{H}_0)t} \frac{1}{E_0 - \hat{H}_0} \hat{T}(E_0) \right] |\Phi_0\rangle \quad (60-1)$$

در نتیجه دامنه انتقال برای یک حالت نهایی  $\langle \Phi_f |$  را می توان به شکل زیر نوشت:

$$\langle \Phi_f | \Psi_I(t) \rangle = e^{iL} \left[ \delta_{0,f} + e^{-\frac{i}{\hbar}(E_0 - E_f)t} \frac{1}{E_0 - E_f} \hat{T}(E_0) \right] |\Phi_0\rangle \quad (61-1)$$

یادآوری می کنیم که کمیتهای فیزیکی نظیر جریان، را می توان بر حسب میزان انتقال احتمال بدست آورد.

$$\begin{aligned} \omega_{0 \rightarrow f} &= \frac{d}{dt} \left| \langle \Phi_f | \Psi_I(t) \rangle \right|^2 = \left( \frac{d}{dt} \langle \Phi_f | \Psi_I(t) \rangle \right) \langle \Phi_f | \Psi_I(t) \rangle^* + c.c \\ &= \frac{2}{\hbar} \langle \Phi_f | \hat{T}(E_0) | \Phi_0 \rangle \delta_{0,f} + \frac{2\pi}{\hbar} \left| \langle \Phi_f | \hat{T}(E_0) | \Phi_0 \rangle \right|^2 \delta(E_0 - E_f) \end{aligned} \quad (62-1)$$

این نتیجه با بردن ماتریس  $T$  به مرتبه اول  $V$  به قاعده طلایی فرمی تبدیل می شود [۲]:

$$\omega_{0 \rightarrow f} = \frac{2\pi}{\hbar} \left| \langle \Phi_f | \hat{V} | \Phi_0 \rangle \right|^2 \delta(E_0 - E_f) \quad (63-1)$$

برای ارتباط دادن با بدام انداز نقطه کوانتومی،  $\langle \Phi_0 |$  را می توان حالت دو الکترون در دهانه چپ نقطه فرض نمود. در حالیکه  $\langle \Phi_f |$  نتیجه حاصل شده از یک حالت دو الکترونی در دهانه سمت راست نقطه می باشد. آنگاه می توانیم یک بسط در  $V$  برای مشاهده سهم  $O(V^4)$  را ترتیب دهیم. که از آن نتیجه می شود:

$$\begin{aligned} &= e^{iL} \left[ \langle \Phi_f | \Phi_0 \rangle + e^{-\frac{i}{\hbar}(E_0 - E_f)t} \langle \Phi_f | \frac{1}{E_0 - \hat{H}_0} \sum_{n=0}^{\infty} \left( \frac{1}{1 - \frac{V}{E_0 - \hat{H}_0}} \right)^n \hat{V} | \Phi_0 \rangle \right] \\ &= e^{iL} \frac{e^{-\frac{i}{\hbar}(E_0 - E_f)t}}{E_0 - E_f} \langle \Phi_f | \hat{V} \frac{1}{E_0 - \hat{H}_0} \hat{V} \frac{1}{E_0 - \hat{H}_0} \hat{V} \frac{1}{E_0 - \hat{H}_0} \hat{V} | \Phi_0 \rangle + \dots \end{aligned} \quad (64-1)$$

در این رابطه به طور دقیق یک عامل فاز دلخواه  $e^{iL}$  را در جمله اول، و عامل  $\frac{e^{-\frac{i}{\hbar}(E_0 - E_f)t}}{E_0 - E_f}$  را در جمله دوم، و عنصر ماتریس متناظر با دوازده مسیر جداگانه برای نقطه  $0 = \langle \hat{n} |$  را در جمله سوم پیدا می کنیم. جمله دوم یک عامل فاز دارد که در حد بقای انرژی به سمت صفر می رود و در مخرج کسر بقای انرژی را منعکس می کند.

## فصل دوم

### همبستگی اسپین دو ذره و نامساوی بل

۱-۲- اندازه گیری همزمان دو کمیت

۲-۲- دو نوع بردار حالت

۳-۲- حالتهای اسپین برای دو ذره

۴-۲- تفسیر فیزیکی

۵-۲- نامساوی بل

## مقدمه

قبل از اینکه تولید و آشکارسازی حالت‌های بدام افتاده را مورد بحث قرار دهیم، لازم است تئوری مکانیک کوانتموی سیستمهای همبسته و حالت‌های به دام افتاده اسپین و خواص آنها را مطالعه کنیم. نامساوی بل یک بحث مهم در تئوری مکانیک کوانتموی است که در مورد حالت‌های تکتایی و سه گانه نقض می‌شود. نقض نامساوی بل یک پیروزی برای تئوری مکانیک کوانتموی است.

### ۱-۲- اندازه گیری همزمان دو کمیت

یک سیستم کوانتموی را در نظر می‌گیریم. فرض کنید این سیستم یک شیء اتمی یا یک ذره باشد که می‌خواهیم مکان  $x$  و اندازه حرکت  $\hat{r}$  آن را با یک دستگاه اندازه گیری کنیم. در مکانیک کوانتموی مقدار  $h$  ثابت پلانک برهمکنش محدودی بین شیء اتمی و آن وسیله اندازه گیری را نشان می‌دهد. این شرایط محدودیت‌هایی را در اندازه گیری همزمان مکان  $x$  و اندازه حرکت  $\hat{r}$  ذره ایجاد می‌کند که بواسیله اصل عدم قطعیت هایزنبرگ  $\hat{x} \geq \frac{\hbar}{2\Delta x}$  تعیین می‌شود. طبق آن ما ممکن است وسیله‌ای بساریم که بتواند جای گیری دقیق ذره در فضا را تعیین کند ( $\Delta x = 0$ )، اما آنگاه نمی‌توانیم هیچ چیز درباره اندازه حرکت ذره در همان زمان بگوییم، رابطه هایزنبرگ فقط وقتی می‌تواند با  $\Delta x = 0$  برقرار باشد که  $\hat{r} = 0$  نامعین باشد. به طور معکوس می‌توانیم وسیله‌ای طراحی کنیم که بتواند اندازه حرکت ذره را به طور دقیق اندازه بگیرد ( $\hat{r} = 0$ ). اما در اینصورت نمی‌توانیم هیچ چیز درباره جای گیری ذره در فضا بگوییم برای اینکه  $\Delta x = 0$  نامعین می‌شود.

این نتیجه فقط از اصل عدم قطعیت هایزنبرگ بدست نمی آید بلکه بدقت با ابزارهای ریاضی تئوری سازگار است، زیرا هیچ موجی با مقدارهای  $x$  و  $p$ ، هر دو به دقت تعیین شده، وجود ندارد.  
در واقع دو نوع تابع موج وجود دارد:

۱) نوع اول یک ذره را با اندازه حرکت ثابت  $\hbar$  اما با مکان کاملاً نامعلوم مشخص می کند (موج تخت):

$$\Psi = u_{\alpha}(x)$$

۲) نوع دوم یک ذره با مکان ثابت  $x_0$  اما با اندازه حرکت کاملاً نامعلوم توصیف می شود:

$$\Psi = v_{x_0}(p)$$

حال اجازه دهید یک سیستم میکروسکوپی (مولکول، اتم و غیره) قابل تفکیک به دو سیستم جدید  $\alpha$  و  $\beta$  را در نظر بگیریم. مثالهای زیادی از چنین فرایندهایی در فیزیک وجود دارند. مثلاً "مولکول NO را در نظر بگیریم که از یک حالت برانگیخته فروپاشی و به یک حالت از دو اتم آزاد تبدیل می شود (N, O) که در دو جهت حرکت می کنند. در اصل تئوری کوانتومی تابع موجی تهیه می کند که حالت نهایی این دو شیء ناشی از فروپاشی را توصیف می کند. چنین تابع موجی، در حالت عمومی از نوع زیر خواهد بود:

$$\Psi = \Psi(x_1, x_2) \quad (1-2)$$

که در آن  $x_1$  و  $x_2$  به ترتیب مربوط به  $\alpha$  و  $\beta$  هستند. تفسیر فیزیکی  $\Psi$  در حالت عادی بدین شکل است که از مقدار  $| \Psi(x_1, x_2) |^2$  چگالی احتمال برای پیدا کردن  $\alpha$  در  $x_1$  و  $\beta$  در  $x_2$  بدست می آید. بر اساس یک رشته از فرمولیندیهای مکانیک کوانتومی می توان ثابت کرد که مجموع اندازه حرکتها و اختلاف مکانهای این دو سیستم کوانتومی جدید همیشه جا بجا پذیرند [۵]:

$$[(x_1 - x_2), (p_1 + p_2)] = 0 \quad (2-2)$$

یعنی بطور همزمان می توانند اندازه گیری شوند. باید توجه داشت که می توان یک تابع موج کلاسیکی بطوری طراحی نمود که برای مجموع اندازه حرکت های  $\alpha$  و  $\beta$  یعنی  $x_1 + x_2$  دارای یک مقدار ثابت  $P$  و بطور همزمان برای اختلاف مکانهای  $\alpha$  و  $\beta$  یعنی  $x_2 - x_1$  نیز دارای یک مقدار ثابت دیگر  $x$  باشد. مثلاً می توان تابع موجی به صورت زیر در نظر گرفت :

$$\Psi = \Psi(x, P, x_1, x_2) \quad (3-2)$$

که در آن چهار متغیر معانی نسبتاً متفاوتی دارند:  $x$  و  $P$  بترتیب نشانگر مقادیر ثابت اختلاف مکانها و مجموع اندازه حرکتها هستند، ولی  $x_1$  و  $x_2$  متغیرهای فضایی مربوط به دو ذره هستند.<sup>[۱۵]</sup>

توجه کنید که تابع (3-2) مشاهده پذیرهای  $x$  و  $P$  را با قطعیت پیش بینی می کند، بطوریکه می توان مانند دو عنصر ماهیت همزمان آنها را تعیین نمود. توجه کنید که  $\Psi$  شامل مقادیر ثابت  $P$  برای  $\alpha$  یا  $P$  برای  $\beta$  نمی باشد، بلکه فقط شامل مجموع آنها با مقدار ثابتی برابر  $P$  می باشد. بطور مشابه  $\Psi$  شامل مقادیر ثابت مکانهای مجزای  $x_1$  و  $x_2$  نمی باشد، بلکه فقط شامل اختلاف ثابت آنها یعنی  $x$ ، است.

اکنون همین مسئله را از دیدگاه آماری بیان می کنیم:

یک مجموعه بزرگ از  $E$  را در نظر می گیریم که به طور همسان همگی به  $\alpha + \beta$  واپاشیده می شوند و برای همه آنها تابع موج  $\Psi$  که با (3-2) مشخص شده بکار می رود. مکانیک کوانتومی پیش بینی می کند که از اندازه گیریهای مکانهای  $\alpha$  و  $\beta$  که در نتیجه فرایندهای واپاشی انفرادی صورت می گیرد، نتایج  $x_1$  و  $x_2$  بدست آید که همیشه در رابطه  $x = x_1 - x_2$  صدق می کنند. به طور مشابه، اندازه گیری تکانه های  $\alpha$  و  $\beta$  که در نتیجه فرایندهای واپاشی صورت می گیرد، همیشه به  $P_1$  و  $P_2$  هایی منجر می شوند، که در رابطه  $P = P_1 + P_2$  صدق می کنند.

حال یک زیرمجموعه از  $E$  را در نظر می گیریم که قبل از موضوع اندازه گیری نبوده، و فرض می کنیم از اندازه گیریهای مکان روی عضو  $\alpha$  از زوج سیستم ( $\alpha$  و  $\beta$ ) که از واپاشی انفرادی نتیجه شده ' $x'$  و '' $x$ '' بدست آیند. آنگاه ما می توانیم با قطعیت پیش بینی کنیم که اندازه گیریهای

بعدی مکان عضو دیگر  $\beta$  برای اولین زوج  $x + x'$  و برای دومین زوج  $x + x''$  خواهد بود، و به همین ترتیب الی آخر.

در حقیقت برای تعیین مکان  $\beta$  هیچ برهم کنشی با  $\alpha$  رخ نداده است، برای اینکه فاصله بین  $\alpha$  و  $\beta$  در زمان اندازه گیری روی  $\alpha$  ممکن است ماکروسکوپیک و به دلخواه بزرگ باشد.

شکل دقیق تابع موج  $(x_1, x_2) \Psi$  که بواسیله (اینشتن، پادولسکی، روزن) در سال ۱۹۳۵ مورد استفاده قرار گرفت به صورت زیراست<sup>۱۵</sup>:

$$\Psi(x_1, x_2) = \int_{-\infty}^{\infty} \exp \frac{i(x_1 - x_2 + x)q}{\hbar} dq \quad (4-2)$$

که به دو شکل دیگر نیز می توان آنرا نوشت:

$$\Psi(x_1, x_2) = \int_{-\infty}^{\infty} \exp \frac{ix_1 q}{\hbar} \exp \frac{-i(x_2 - x_1)q}{\hbar} dq \quad (5-2)$$

$$\Psi(x_1, x_2) = \hbar \delta(x_1 - x_2 + x) \quad (6-2)$$

معادله (۴-۲) نشان می دهد که اگر ذره  $\alpha$  در اندازه حرکت  $q$  یافت شود آنگاه ذره  $\beta$  به طور لازم باید در اندازه حرکت  $-q$  یافت شود زیرا اندازه حرکت مجموع دو ذره صفر فرض می شود، و اگر مکانهای آنها اندازه گیری شود به رابطه  $x - x_1 - x_2 = x$  منجر می گردد، که در آن  $x$  ثابت است. بنابراین EPR به طور واقعی یک تابع موج از نوع (۳-۲) با  $= 0$   $\psi$  می باشد.

## ۲-۲- دو نوع بردار حالت

در بخش حاضر پیکر بندی کلی مکانیک کوانتومی برای توصیف زوجهای سیستمهای همبسته را مرور می کنیم . یک ابزار مفید برای چنین مطالعه ای فرمولبندی دیراک است که در آن حالتها کوانتومی با بردارهای برا و کت توصیف می شوند.

مطابق تئوری کوانتومی معمول، اگر دو سیستم کوانتومی  $\alpha$  در حالت  $|\Psi\rangle$  و  $\beta$  در حالت  $|\Phi\rangle$  داشته باشیم، آنگاه سیستم کلی  $(\alpha, \beta) = \varepsilon$  بوسیله بردار حاصلضرب حالت  $|\Psi\rangle |\Phi\rangle$  توصیف می‌شود [۵]:

$$|\Psi\rangle |\Phi\rangle \rightarrow \varepsilon = (\alpha, \beta)$$

عکس مسئله جالبتر است، آیا بردار حالت کلی نشان دهنده  $\varepsilon$  را همیشه می‌توان به صورت یک ضرب مستقیم از دو حالت نوشت که به طور جداگانه  $\varepsilon$  را تشکیل می‌دهند؟ جواب منفی است. که می‌توان به صورت زیر بیان نمود: فرض کنید  $\{|\Psi_i\rangle\}$  و  $\{|\Phi_r\rangle\}$  دو مجموعه کامل و متعامد و بهنجار برای  $\alpha$  و  $\beta$  می‌باشند. اگر  $|\eta\rangle$  بردار حالت  $(\alpha, \beta) = \varepsilon$  باشد، می‌توان آنرا بصورت بسط روی مجموعه های  $\{|\Psi_i\rangle\}$  و  $\{|\Phi_r\rangle\}$  به شکل زیر نوشت:

$$|\eta\rangle = \sum_{ij} C_{ij} |\Psi_i\rangle |\Phi_j\rangle \quad (7-2)$$

که در آن  $C_{ij}$  ها ضرایب بسط هستند.

هر حالت  $|\eta\rangle$  به شکل بالا یک بردار حالت ممکن برای  $\varepsilon$  است. این یک پیامد از اصل برهم نهش است. در واقع هر بردار ممکن  $|\Psi_i\rangle |\Phi_r\rangle$  یک بردار حالت قابل تصور برای  $\varepsilon$  است، که  $\alpha$  در حالت  $|\Psi_i\rangle$  و  $\beta$  را در حالت  $|\Phi_r\rangle$  توصیف می‌کند، بنابراین هر ترکیب خطی از چنین بردارهایی، مانند (7-2) یک بردار حالت ممکن برای  $\varepsilon$  است. بنابراین ضرایب  $C_{ij}$ ، غیر از شرط جزئی بهنجار بودن:

$$\sum_{ij} |C_{ij}|^2 = 1$$

به طور کلی بدون محدودیت هستند. بویژه اگر اصل برهم نهش معتبر باشد، هیچ راهی برای محدود کردن  $C_{ij}$  ها به اعداد قابل تجزیه به صورت زیر وجود ندارد:

$$C_{ij} = x_i y_j \quad (8-2)$$

بنابراین راهی برای تضمین اینکه نه فقط  $\varepsilon$  بلکه همچنین  $\alpha$  و  $\beta$  در یک حالت خوش تعریف باشند، وجود ندارد. شرط تجزیه (8-2) در واقع شرط لازم و کافی برای داشتن  $\alpha$  و  $\beta$  در یک حالت کوانتومی است. به این معنی که  $\alpha$  در حالت  $|\Psi\rangle$  و  $\beta$  در حالت  $|\Phi\rangle$  است.

با بسط  $\langle \Psi |$  روی مجموعه  $\{|\Psi_i\rangle\}$  و  $\langle \Phi |$  روی  $\{|\Phi_r\rangle\}$  می‌توان نوشت:

$$|\Psi\rangle = \sum_i x_i |\Psi_i\rangle \quad , \quad |\Phi\rangle = \sum_j y_j |\Phi_j\rangle \quad (9-2)$$

از تئوری مقدماتی کوانتمی یادآوری می‌کنیم که اگر  $\alpha$  در حالت  $\langle \Psi |$  و  $\beta$  در حالت  $\langle \Phi |$  باشد، آنگاه  $\epsilon = \langle \Psi | \Phi \rangle$  لزوماً در حالت  $\langle \Psi |$  است. می‌توان (7-2) و (8-2) را از (9-2) بدست آورد.

به طور معکوس اگر  $C_i$  ها در (8-2) صدق کنند، می‌توان  $|\eta\rangle$  را مانند  $\langle \Phi | \Psi \rangle$  نوشت، که در آن  $\langle \Psi |$  و  $\langle \Phi |$  با (9-2) تعریف شده‌اند، و بنابراین بردارهایی در فضای هیلبرت  $\alpha$  و  $\beta$  هستند و معنی آن این است که بردارهای حالت  $\alpha$  و  $\beta$  می‌باشند.

در نتیجه، شرط تجزیه (8-2) تنها امکان برای داشتن  $\alpha$  و  $\beta$  در بعضی حالت‌های کوانتمی است.

اما اصل برهم نهش ما را قادر به توجه به بردارهای  $|\eta\rangle$  از نوع (7-2) می‌کند، که شرط (8-2) را حفظ نمی‌نماید.

این مسئله بر این دلالت دارد که تعدادی از حالت‌های  $\epsilon$  طوری هستند که نه  $\alpha$  و نه  $\beta$  در یک حالت کوانتمی مجزا قرار ندارند، بلکه هر دو با هم یک حالت کوانتومی را تشکیل می‌دهند. حالت‌های  $\epsilon = \langle \alpha, \beta \rangle$  از نوع حالت‌های اخیر هستند، بردارهای نوع دوم هستند، در صورتیکه بردارهای نوع اول حالت‌هایی هستند که در معادله (8-2) صدق می‌کنند. همچنین می‌توان گفت که بردارهای حالت نوع اول (دوم) بردارهای حالت قابل تجزیه (غیر قابل تجزیه) می‌باشند.

حقیقتی که به خوبی می‌دانیم اینست که بردارهای حالت فقط رابطی بین فرمولبندی مکانیک کوانتمی و ماهیت میکروفیزیکی هستند. همچنین می‌توان گفت که تئوری کوانتومی هیچ ماهیت جدایی را به سیستمهای  $\alpha$  و  $\beta$  نسبت نمی‌دهد، بلکه ترکیب آنها  $\langle \alpha, \beta \rangle$  بوسیله یک بردار حالت نوع دوم توصیف می‌شود.

اگر مجموعه‌های متعامد بهنجار کامل  $\{|\Psi_i\rangle\}$  و  $\{|\Phi_r\rangle\}$  به طور مناسب اختیار شوند، بردار حالت (7-2) را همیشه می‌توان به صورت زیر نوشت:

$$|\eta\rangle = \sum_i C_i |\Psi_i\rangle |\Phi_i\rangle \quad (10-2)$$

اگر  $\langle \eta |$  از نوع اول (دوم) باشد، فقط یکی (بیشتر از یکی) از ضرایب  $C_i$  مخالف صفر خواهد بود.

فرض کنید این دو مجموعه جدید بردارهای حالت از مجموعه های ویژه حالت های دو عملگر

هامیلتونی خطی  $A$  و  $B$  باشند، پس داریم:

$$\begin{aligned} A|\Psi_i\rangle &= \alpha_i |\Psi_i\rangle \\ B|\Phi_i\rangle &= \beta_i |\Phi_i\rangle \end{aligned} \quad (11-2)$$

این روابط برای تمام مقادیر  $i$  معتبر هستند. می توان گفت که  $A(B)$  یک مشاهده پذیر سیستم  $(\beta(\alpha))$  را نشان می دهد و مقادیر ممکن چنین مشاهده پذیری با ویژه مقادیر  $\alpha_i(\beta_i)$  تعیین می شوند.

بردار حالت (10-2) بستگی قطعی مقادیر اندازه گیری شده دو مشاهده پذیر را پیش بینی می کند، حتی اگر اندازه گیریها در زمانهای مختلف انجام شده باشند. بنابراین اگر یک ناظر،  $A$  را در زمان  $t_1$  روی مولفه  $\alpha$  از یک زوج معین اندازه بگیرد و  $\alpha_k = \langle A \rangle$  را پیدا کند، آنگاه یک ناظر دوم به طور لازم  $\beta_k = \langle B \rangle$  (شاخص  $k$  مشترک است) را برای اندازه گیری در زمان  $t_2 \geq t_1$  روی مولفه  $\beta$  از همان زوج پیدا می کند. این بدین معنی است که از زمان  $t_1$  به بعد نتیجه اندازه گیری  $B$  برای سیستم  $\beta$  قطعی (و برابر با  $\beta_k$ ) می باشد. اما دو سیستم فرض شده می توانند بسیار دور از هم باشند، بنابراین حالت  $\beta$  در نتیجه اندازه گیری انجام شده روی  $\alpha$  مختل نمی شود.

از معادله (11-2) آشکار است که حالت  $\beta$  قبل از زمان  $t_1$ ، باید  $\langle \Phi_k |$  باشد. با تعیین همبستگی مقادیر پیش بینی شده مشاهده پذیرهای  $A$  و  $B$  (مقدار  $\alpha_k = \langle A \rangle$  برای  $\alpha$  در زمانیکه برای  $\beta$  مقدار  $\beta_k = \langle B \rangle$  بدست آمده باشد) باید نتیجه گرفت که بردار حالت  $(\alpha, \beta)$  قبل از زمان  $t_1$  به شکل زیر بوده است:

$$|\Psi_k\rangle \langle \Phi_k|$$

با تکرار بحث بالا برای یک مجموعه آماری زوچهای  $(\alpha, \beta)$  نتیجه می گیریم که بردارهای حالت

به شکل زیر هستند:

بردار حالت	احتمال حصول بردار حالت
$ \eta_1\rangle =  \Psi_1\rangle  \Phi_1\rangle$	$\%  C_1 ^2$
$ \eta_2\rangle =  \Psi_2\rangle  \Phi_2\rangle$	$\%  C_2 ^2$
$\vdots$	$\vdots$
$ \eta_k\rangle =  \Psi_k\rangle  \Phi_k\rangle$	$\%  C_k ^2$

$$|C_1|^2 + |C_2|^2 + \dots = 1 \quad \text{بطوريكه:}$$

ملاحظه می شود که (۱۰-۲) و (۱۲-۲) به طور آشکار توصیف ریاضی متفاوتی از مجموعه انتخاب شده را ارائه می دهند. با وجود این آنها می توانند برای اهداف عملی دارای توصیفهای یکسانی باشند؟ جواب منفی است. برای توضیح آن به صورت زیر بحث می کنیم:

دو مشاهده پذیر جدید  $A'$  برای  $\alpha'$  و  $B'$  برای  $\beta'$  را در نظر می گيريم و فرض می کنیم که:

$$[A, A] \neq 0 \neq [B, B] \quad (13-2)$$

بنابراین دانستن مقدار  $A$  برای  $\alpha$  (برای  $\beta$ ) از دانستن مقدار  $A'$  (برای  $B'$ ) برای همان سیستم جلوگیری می کند. حال فرض می کنیم که:

$$A' |\Psi'_r\rangle = a'_r |\Psi'_r\rangle$$

$$B' |\Phi'_s\rangle = b'_s |\Phi'_s\rangle$$

این روابط، روابط ویژه مقداری برای  $A'$  و  $B'$  هستند و  $\{\langle \Psi'_r \rangle\}$  و  $\{\langle \Phi'_s \rangle\}$  مجموعه متعامد بهنجار کامل از ویژه توابع مربوطه می باشند. اگر مجموعه با بردار (۱۰-۲) توصیف شده باشد، نتیجه محاسبه احتمال اندازه گیری  $A'$  روی  $\alpha$  با نتیجه  $a'_r$  و  $B'$  روی  $\beta$  به شکل زیر است:

$$\Omega_1(a'_r, b'_s) = |\langle \eta | \Psi'_r \Phi'_s \rangle|^2$$

و اگر با (۱۲-۲) توصیف شده باشد به شکل زیر بدست می آيد:

$$\Omega_2(a'_r, b'_s) = \sum_k |C_k|^2 |\langle \eta_k | \Psi'_r \Phi'_s \rangle|^2$$

اما دو عبارت اخیر از لحاظ عددی متفاوت هستند. زیرا با استفاده از تعریف بردارهای  $\langle \eta_k |$  که در (۱۲-۲) داده شده، داریم:

$$\Omega_1(a'_r, b'_s) = \left| \sum_k C_k^* \langle \eta_k | \Psi'_r \Phi'_s \rangle \right|^2$$

که بدلیل قسمت تداخلی با عبارت داده شده برای  $\Omega_2$  متفاوت است:

$$\sum_{k \neq k'} C_k^* C_{k'} \langle \eta_k | \Psi'_r \Phi'_s \rangle \langle \eta_{k'} | \Psi'_r \Phi'_s \rangle^*$$

که با استفاده از (۱۳-۲) می‌توان نشان داد که این مقدار در بسیاری از موارد مخالف صفر است. لذا یک نتیجه پارادوکسی بدست آمده است. زیرا ممکن نیست که برای احتمال مشترک  $(\alpha'_r, \beta'_s)$  به طور همزمان دو مقدار مختلف  $\Omega_1$  و  $\Omega_2$  بدست آید.

### ۳-۲- حالت‌های اسپین برای دو ذره

در این بخش توصیف مکانیک کوانتمی عمومی دو سیستم کوانتمی همبسته به مورد ذرات با اسپین  $\frac{1}{2}$  اختصاص خواهد یافت. همانند بخش پیش، دو سیستم مستقل کوانتمی  $\alpha$  و  $\beta$  در دست هستند. فرض کنید، که  $\alpha$  با تابع موج  $\Psi_1$  و  $\beta$  با تابع موج  $\Psi_2$  توصیف می‌شوند. آنگاه سیستم مرکب  $(\alpha, \beta) = \psi$  به طور مکانیک کوانتمی با تابع زیر توصیف می‌شود:

$$\Psi(x_1, x_2) = \Psi_1(x_1) \Psi_2(x_2)$$

که حاصلضرب توابع موج برای سیستمهای جداگانه است. یک دلیل برای اینکه حاصلضرب پذیرفته شده است، ناشی از اینست که احتمال تعیین مکان، زمانیکه  $\alpha$  و  $\beta$  به صورت سیستمهای مستقل رفتار می‌کنند، قابل تجزیه به دو احتمال مجزا می‌باشد.

فرض کنید،  $\rho_1(\nu_1)$  احتمال پیدا کردن  $\alpha(\beta)$  در حجم  $\nu_1$  ( $\nu_2$ ) باشد، در آنصورت  $\rho_1(\rho_2)$  انتگرال حجمی مربعات  $\Psi_1(\Psi_2)$  روی حجم  $\nu_1$  ( $\nu_2$ ) است. اگر دو سیستم مستقل باشند، همانطور که می‌دانیم احتمال  $\rho$  برای پیدا کردن  $\alpha$  در  $\nu_1$  و  $\beta$  در  $\nu_2$  برابر با  $\rho_1 \rho_2 = \rho$  خواهد شد. اگر  $\rho$

با مربع اندازه  $(x_1, x_2) \Psi$  تعیین شود، در آنصورت امکان تجزیه  $p$  به حاصلضرب  $p_1$  و  $p_2$  می‌تواند به طور مستقیم از امکان تجزیه  $(x_1, x_2) \Psi$  استنتاج شود.

حالتهای قابل تجزیه را هنگام بحث درباره اسپین، معرفی می‌کنیم. فرض کنید  $|u_+\rangle$  و  $|u_-\rangle$  ویژه بردارهای متناظر با ویژه مقادرهای  $+1$  و  $-1$ ، یعنی سومین ماتریس تکانه زاویه ای اسپین  $(s_z)$  برای ذره  $\alpha$  باشند؛ و  $|v_+\rangle$  و  $|v_-\rangle$  ویژه حالتهای متناظر برای ذره  $\beta$  باشند. عبارت دیگر، اگر  $\sigma_3$  ماتریس نمایشگر سومین مؤلفه اسپین برای ذره  $\alpha$  باشد، داریم:

$$|u_+\rangle = \begin{pmatrix} 1 \\ 0 \end{pmatrix}, \quad |u_-\rangle = \begin{pmatrix} 0 \\ 1 \end{pmatrix} \quad (15-2)$$

با توجه به آنچه گذشت تنها حالتهای قابل تجزیه اسپین که می‌توانند از  $|u_+\rangle$  و  $|u_-\rangle$  و  $|v_+\rangle$  و  $|v_-\rangle$  ساخته شوند، به شکل زیر هستند:

$$|u_+\rangle|v_+\rangle, \quad |u_+\rangle|v_-\rangle, \quad |u_-\rangle|v_+\rangle, \quad |u_-\rangle|v_-\rangle$$

که در اینجا اولین تابع، زمانی بدست می‌آید که بردارهای حالت اسپین هر دو ذره  $\alpha$  و  $\beta$  در جهت مثبت  $Z$  و در حالت دوم اسپین ذره  $\alpha$  در جهت مثبت  $Z$  و اسپین ذره  $\beta$  در جهت منفی  $Z$  باشد و الی آخر.

یک حالت اسپین بسیار جالب برای اهداف ما که حالت تکتایی نامیده می‌شود و همانطور که قبله بیان شد، یک حالت بدام افتاده است، به صورت زیر می‌باشد:

$$|\eta_s\rangle = 2^{\frac{1}{2}}(|u_+v_-\rangle - |u_-v_+\rangle) \quad (16-2)$$

و چهار خاصیت مهم دارد:

الف: یک حالت قابل تجزیه نیست.

ب: از آن نتایجی متضاد برای اندازه گیریهای ۲ ۵ اسپین‌های ذرات  $\alpha$  و  $\beta$  بدست می‌آید (یعنی در همه حال مجموع اسپین آنها صفر است).

ج: هر اندازه گیری مقدار مربع کل اسپین‌های ذرات  $\alpha$  و  $\beta$  را برابر با صفر پیش بینی می‌کند.

د: این تابع موج تحت چرخش ناورداست.

بعضی تفسیرهای این خواص به صورت زیر هستند:

اثبات خاصیت (الف) مشکل نیست، چون برای شروع با عمومی ترین حالت اسپین برای  $\alpha$  داریم:

$$|u\rangle = \begin{pmatrix} \alpha \\ \beta \end{pmatrix} = \alpha \begin{pmatrix} 1 \\ 0 \end{pmatrix} + \beta \begin{pmatrix} 0 \\ 1 \end{pmatrix} = \alpha |u_+\rangle + \beta |u_-\rangle , \quad (\alpha^2 + \beta^2 = 1)$$

بطور مشابه عمومی ترین حالت اسپین برای  $\beta$  عبارتست از:

$$|v\rangle = c |v_+\rangle + d |v_-\rangle , \quad (c^2 + d^2 = 1)$$

لذا به طور آشکار عمومی ترین حالت قابل تجزیه اسپین برای سیستم مرکب به صورت زیر درمی آید:

$$|uv\rangle = ac |u_+v_+\rangle + ad |u_+v_-\rangle + bc |u_-v_+\rangle + bd |u_-v_-\rangle \quad (17-2)$$

حال چون  $\langle u_+v_+ |$  در  $\langle \eta_s |$  رابطه (16-2) وارد نشده، لذا  $\langle uv |$  فقط زمانی می تواند برابر  $\langle \eta_s |$  باشد که  $ac = 0$  است. بنابراین یا  $a = 0$  است، که دلالت بر این دارد که  $\langle u_-v_+ |$  نیز از عبارت  $\langle uv |$  حذف شده است، و یا  $c = 0$  که دلالت بر حذف مشابه  $\langle u_-v_- |$  دارد. بنابراین، غیر ممکن است  $\langle u |$  و  $\langle v |$  را بگونه ای انتخاب کنیم که در  $\langle \eta_s |$  صدق کند. چون  $\langle uv |$  عمومی ترین حالت اسپین تجزیه پذیر است، نتیجه می گیریم که  $\langle \eta_s |$  قابل تجزیه نیست؛ بدین ترتیب (الف) را اثبات کرده ایم.

اعتبار خاصیت (ب)، به طور واضح با ساختار  $\langle \eta_s |$  پیشنهاد شده است، که شامل فقط  $\langle u_-v_- |$  است. اما می توان با در نظر گرفتن ماتریسهای پائولی  $\sigma_1, \sigma_2, \sigma_3$  برای ذره  $\alpha$  و  $\tau_3, \tau_2, \tau_1$  برای ذره  $\beta$  و سپس امتحان اینکه  $\langle \eta_s |$  یک ویژه حالت  $\tau_3 + \sigma_3$  با ویژه مقدار صفر است، آنرا ثابت کرد. یعنی:

$$(\sigma_3 + \tau_3) |\eta_s\rangle = 0 \quad (18-2)$$

از تفسیر فیزیکی حالت‌های کوانتومی، نتیجه می شود که اندازه گیریهای مؤلفه سوم اسپینهای  $\alpha$  و  $\beta$  باید نتیجه های متضاد داشته باشند.

همچنین (ج) رامی توان با معرفی عملگر مربعی کل اسپین به شکل زیر، ثابت نمود:

$$\sum^2 = (\sigma_1 + \tau_1)^2 + (\sigma_2 + \tau_2)^2 + (\sigma_3 + \tau_3)^2 = 6 + 2\sigma \cdot \tau \quad (19-2)$$

چون مربع تمام ماتریسهای پائولی برابر با ۱ هستند، لذا نتیجه می شود:

$$\sum | \eta_s \rangle = 0$$

یعنی، با کمک مکانیک کوانتومی، می توان ثابت کرد که از اندازه گیری یک مشاهده پذیر متضایر با  $\sum^2$ ، روی یک سیستم که با حالت  $|\eta_s\rangle$  توصیف می شود، به طور یقین نتیجه صفر بدست می آید. ویژگی چهارم  $|\eta_s\rangle$  (ناوردایی چرخش) به طور ذاتی به نتیجه زیر منجر می شود: اگر بجای  $|u_{\pm}''\rangle$  و  $|v_{\pm}''\rangle$  که ویژه حالت های  $\sigma_3$  و  $\tau_3$  هستند، مقادیر  $|u_{\pm}'''\rangle$  و  $|v_{\pm}'''\rangle$  را قرار دهیم که ویژه حالت های  $\hat{n} \cdot \sigma + \hat{n} \cdot \tau$  را نشان می دهند ( $\hat{n}$  یک بردار واحد دلخواه است)، آنگاه  $|\eta_s\rangle$  را می توان به صورت زیر تبدیل نمود:

$$|\eta_s\rangle = 2^{-\frac{1}{2}}(|u_+'''v_-'''\rangle - |u_-'''v_+'''\rangle) \quad (20-2)$$

که همان ساختار (۱۶-۲) را دارد، اگر چه شامل حالت های متفاوت است.

حالت دیگر حالت سه گانه است، که به صورت زیر نوشته می شود:

$$|\eta_t\rangle = 2^{-\frac{1}{2}}(|u_+v_-\rangle + |u_-v_+\rangle) \quad (21-2)$$

که تنها تفاوتی که با  $|\eta_s\rangle$  دارد، اینست که علامت مثبت جانشین علامت منفی شده است. می توان ثابت کرد که  $|\eta_t\rangle$  با  $|\eta_s\rangle$  در خواص (الف) و (ب) سهیم است، اما در مورد (د) اینطور نیست. حالت سه گانه تحت چرخش ناوردا نیست. بعلاوه در مورد (ج)،  $|\eta_t\rangle$  دارای خاصیت زیر است: از هر اندازه گیری اسپین مربعی کل دو ذره که بوسیله  $|\eta_t\rangle$  توصیف شده، نتیجه  $2\hbar^2$  بدست می آید. حالت های  $|u_{-}v_{+}\rangle$  و  $|u_{+}v_{-}\rangle$  را می توان به صورت ترکیبات خطی  $|\eta_s\rangle$  و  $|\eta_t\rangle$  نوشت:

$$\begin{aligned} |u_+v_-\rangle &= 2^{-\frac{1}{2}}(|\eta_t\rangle + |\eta_s\rangle) \\ |u_-v_+\rangle &= 2^{-\frac{1}{2}}(|\eta_t\rangle - |\eta_s\rangle) \end{aligned} \quad (22-2)$$

که به آسانی با جمع کردن (۲۱-۲) با (۱۶-۲) اثبات می شود. بعلاوه با کمک تفسیر مکانیک کوانتومی برهم نهش، ملاحظه می کنیم که:

از اندازه گیریهای مربع اسپین کل دو ذره که با  $|u_{+}v_{-}\rangle$  توصیف می شود، با احتمال برابر نتیجه صفر و  $2\hbar^2$  بدست خواهد آمد، و همین مسئله درباره  $|u_{-}v_{+}\rangle$  نیز صادق است.

بنابراین نتیجه می شود که یک مجموعه بزرگ از زوج ذرات که با  $\langle \downarrow_+ |$  توصیف می شوند، به طور آشکار از یک مجموعه مشابه که در آن تعدادی از زوجها با  $\langle \downarrow_- |$  و بقیه با  $\langle \uparrow_+ |$  توصیف می شوند، متفاوت است. در حقیقت زمانیکه  $\sum$  روی زوجهای مجموعه اول اندازه گیری می شود، به طور تغییر ناپذیر نتیجه صفر بدست می آید، در صورتیکه از اندازه گیریهای همان کمیت روی زوجهای مجموعه دوم نتیجه صفر و یک با احتمال برابر بدست می آید.

این اختلاف بزرگ قابل مشاهده بین یک مجموعه که مخلوطی دلخواه از حالت‌های (۲۲-۲) است و مجموعه‌ای که اعضای آن همگی با  $\langle \downarrow_+ |$  توصیف می شوند، اساس فرمولیندی پارادوکس EPR است، که بوهم<sup>۱</sup> آنرا در سال ۱۹۵۱ در نظریه کوانتومی خود بیان نمود[۶].

#### ۴-۲- تفسیر فیزیکی

اینشتین، پادولسکی و روزن توanstند یک مثال از یک سیستم مکانیک کوانتومی بیاورند که این شرایط را برآورده نمی کرد و نتیجه گرفتند که توصیف مکانیک کوانتومی طبیعت کامل نیست. طبق نظر بوهم، ما به شرایطی می پردازیم که از آنچه که اینشتین و همکارانش در نظر گرفتند ساده‌تر است، اما سیمای مشابهی را نشان می دهد. همانطور که در بخش قبل ذکر شد یک سیستم با اسپین کل  $S=0$  را در نظر می گیریم که به دو ذره یکسان ۱ و ۲ هر یک با اسپین  $\frac{1}{2}$  فروپاشی می شود. زمانیکه ذرات به خوبی از هم جدا شده باشند، مؤلفه اسپین ذره ۱ موازی با محور  $z$  را اندازه می گیریم. چون ذره دارای اسپین  $\frac{1}{2}$  است، نتیجه  $\frac{\hbar}{2} +$  یا  $\frac{\hbar}{2} -$  بدست می آید. فرض کنید که در یک آزمایش مخصوص نتیجه  $\frac{\hbar}{2} +$  بدست آید، آنگاه چون اسپین کل سیستم دو ذره صفر است، اندازه  $z$  گیری مؤلفه  $z$  اسپین ذره ۲ حتماً به  $\frac{\hbar}{2} -$  منجر می شود. از اندازه گیری بعدی مؤلفه اسپین ذره ۲ موازی با محور  $x$  نتایج  $\frac{\hbar}{2} +$  و  $\frac{\hbar}{2} -$  با احتمال ۵۰-۵۰ بدست می آید. به طور مشابه، اگر مؤلفه  $x$

اسپین ذره ۱ را اندازه بگیریم و مقدار  $\frac{\hbar}{2} +$  بدست آید، لذا مؤلفه  $x$  اسپین ذره ۲ باید  $-\frac{\hbar}{2}$  باشد و

مؤلفه  $z$  اسپین ذره ۲، با احتمال  $50-50$ ،  $+\frac{\hbar}{2}$  یا  $-\frac{\hbar}{2}$  - بدست خواهد آمد. ملاحظه می شود که

عمل اندازه گیری یک مؤلفه اسپین ذره ۱ نتیجه بدست آمده در اندازه گیری یک مؤلفه اسپین ذره دیگر را تغییر می دهد. این تغییر بلافصله اتفاق می افتد و فاصله ذرات ۱ و ۲ مهم نیست. بنابراین توصیف کوانتومی از مکانهای ۱ و ۲ پیروی نمی کند. این حقیقت اغلب پارادوکس اینشن، پادولسکی، روزن نامیده می شود. به حال پارادوکس بودن نتیجه را رد می کند، به این شکل که در مکان ۱ واقعیت فیزیکی می تواند فقط به موقعیتهایی ارجاع داده شود که در آن آرایش تجربی به طور کامل مشخص شده و حاکی از اینست که این مسئله مهمی نیست، زیرا سیستم از خارج بوسیله آزمایشگرها بی که قصد دارند مؤلفه  $x$  اسپین را بجای مؤلفه  $z$  ذره اندازه بگیرند مختل شده است.

وضعیت کوانتومی می تواند با این مسئله مقایسه شود که اگر اسپین یک متغیر کلاسیکی بود چه اتفاقی می افتاد؟ این مسئله که مؤلفه های اسپین ذرات ۱ و ۲ برابر و متضاد بدست می آمدند، چون اسپین کل صفر است، درست باقی می ماند. اما مسئله اینست که بردارهای اسپین از زمان ایجاد بردارهای حالت دقیقاً مقادیر و راستاهای معین دارند و عمل اندازه گیری روی ذره ۱ حالت ذره ۲ را به هیچ وجه تغییر نخواهد داد. اکنون می توان نتایج کوانتومی را با بحث علت مشترک توضیح داد. برای مثال ممکن است متغیرهای کلاسیکی پنهانی وجود داشته باشند، که مقادیر آنها هنگامی تعیین می شود که سیستم اسپین صفر ایجاد شده باشد و در آن صورت آنها نتایج آزمایش را تعیین می کنند. بهر حال نقض تجربی تئوری بل، که در زیر مورد بحث قرار می گیرد، نشان خواهد داد که در واقع این توضیح نادرست است.

## ۲-۵- نامساوی بل<sup>۱</sup>

یک مجموعه را در نظر می گیریم که از تعداد خیلی زیادی  $N$  از واپاشی های  $\alpha + \beta \rightarrow \epsilon$  تشکیل شده است و فرض می کنیم که ناظر  $O_\alpha$  روی  $\alpha$  مشاهده پذیر دو مقداری  $A(\alpha)$  را اندازه گیری می کند، در حالیکه در یک ناحیه دور فضا یک ناظر دوم  $O_\beta$  روی  $\beta$  مشاهده پذیر دو مقداری دیگر  $B(\beta)$  را اندازه گیرد. دو مقداری مشاهده پذیرها بدین معنی است که آنها می توانند فقط دو مقدار داشته باشند، که به طور ساده فرض می کنیم که  $1 \pm$  باشند. توجه کنید که بنا به فرض، مشاهده پذیر های  $A(\alpha)$  و  $B(\beta)$  به  $\alpha$  و  $\beta$  بستگی دارند، و فرض می شود که پارامترهای تجربی باشند که در ساختار دستگاهها در هر آزمایش معین ثابت هستند، اما ممکن است برای آزمایشهای مختلف تغییر کنند. مثالهایی از چنین مشاهده پذیرهای دو مقداری متناظر با ماتریسها اسپین  $\sigma_1$  و  $\sigma_2$  هستند، که در آنها  $\sigma_1, \sigma_2, \sigma_3$  ماتریسها پائولی برای  $\alpha$  و  $\beta$  هستند. در اینجا پارامترهای تجربی بردارهای واحد  $\hat{A}$  و  $\hat{B}$  هستند، که می توانند بطور تجربی ثابت باشند. برای مثال با جهت های میدانهای مغناطیسی ناهمگن دو دستگاه اشترن گرلاخ یکسان هستند.

در عمل هر کمیت فیزیکی می تواند برای تعیین یک مشاهده پذیر دو مقداری بکار رود: برای مثال، می توانیم بگوییم که اگر انرژی یک اتم زیر (بالای) یک مقدار معین  $\alpha$  باشد در اینصورت  $A(\alpha) = -1$  خواهد بود.

در هر رویداد، زمانی که اندازه گیریهای چنین مشاهده پذیرهایی روی تمام  $N$  زوج از مجموعه معین انجام گرفته باشد،  $O_\alpha$  یک مجموعه نتایج تجربی  $\{A_1, A_2, \dots, A_N\}$  بدست خواهد آورد، در صورتیکه  $O_\beta$  یک مجموعه مشابه  $\{B_1, B_2, \dots, B_N\}$  را تشکیل می دهد، که تمام آنها وابسته به مقداری ثابت  $\alpha$  و  $\beta$  هستند. نتایج دو مجموعه همبسته هستند، به این معنی که  $A_1$  و  $B_1$  مربوط به ذرات  $\alpha$  و  $\beta$ ، ناشی از واپاشی اول هستند؛  $A_2$  و  $B_2$  به طور مشابه مربوط به واپاشی دوم هستند و به همین ترتیب. با این فرض که این نتایج در هر مورد برابر  $1 \pm$  است، تابع همبستگی مکانیک کوانتومی

---

1 - Bell inequality  
2 -dichotomy

از اندازه گیریهای  $A_i$  و  $B_i$  مانند ضرب میانگین از نتایج بدست آمده از  $O_\alpha$  و  $O_\beta$  برای همان واپاشی هاست:

$$A(\alpha, \beta) = N^{-1} \sum_{i=1}^N A_i B_i \quad (23-2)$$

چون هر حاصل ضرب  $A_i B_i$  برابر  $+1$  یا  $-1$ - است، نتیجه می شود که:

$$-1 \leq A(\alpha, \beta) \leq +1$$

برای یک کاربرد اولیه از تعریف (23-2)، ما تابع همبستگی مکانیک کوانتومی را برای دو ذره اسپین  $\frac{1}{2}$  در حالت تکتایی، با مشاهده پذیرهای  $\hat{\sigma}_z$  و  $\hat{\tau}_z$  را محاسبه می کنیم. در مکانیک کوانتومی مشاهده پذیر متناظر با دو مشاهده پذیر سابق الذکر بوسیله یک عملگر نوشته می شود که می تواند به شکل  $\hat{\sigma}_z \otimes \hat{\tau}_z$  باشد، که در آن علامت  $\otimes$  یک نوع ضرب رسمی را نشان می دهد که متفاوت از ضرب ماتریس معمولی است و نیاز به این دارد که هر ماتریس روی یک اسپینور متناظر با ذره عمل کند.

تابع همبستگی مکانیک کوانتومی در مورد حالت تکتایی به شکل زیر است:

$$A(\alpha, \beta) = \langle \eta_s | \sigma_z \cdot \hat{\alpha} \otimes \tau_z \cdot \hat{\beta} | \eta_s \rangle \quad (24-2)$$

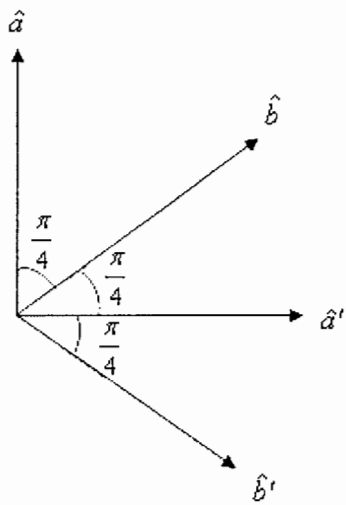
با جانشینی کردن معادله (20-2) در این عبارت بعد از یک محاسبه ساده داریم:

$$A(\alpha, \beta) = -\hat{\alpha} \cdot \hat{\beta} \quad (25-2)$$

خاصیت ریاضی تابع همبستگی مکانیک کوانتومی (25-2) که بعدا بسیار مفید خواهد بود به این شکل است: دو بردار یکه متعامد  $\hat{\alpha}$  و  $\hat{\beta}$  که مربوط به ذره  $\alpha$  هستند و مشابه با آن دو بردار یکه متعامد  $\hat{\alpha}'$  و  $\hat{\beta}'$  مربوط به ذره  $\beta$  را در نظر می گیریم و فرض می کنیم که سمت گیری مربوط به این بردارها مانند شکل (1-3) است.

اکنون کمیت زیر را تعریف می کنیم:

$$\Delta = |A(\alpha, \beta) - A(\alpha, \beta')| + |A(\alpha', \beta) + A(\alpha', \beta')| \quad (26-2)$$



شکل(۱-۲) : جهتگیری نسبی بردارهای یکه بکار رفته برای اثبات  $\Delta = 2\sqrt{2}$  [۵.۶]

با یادآوری (۲۵-۲) ملاحظه می کنیم که پیش بینی های مکانیک کوانتمی، برای شکل (۱-۲) به صورت زیر است:

$$\Delta = |\hat{a} \cdot \hat{b} - \hat{a} \cdot \hat{b}'| + |\hat{a}' \cdot \hat{b} + \hat{a}' \cdot \hat{b}'| = 2\sqrt{2} \quad (27-2)$$

علاوه می توان نشان داد که بیشینه مقدار  $\Delta$  برای تمام جهتگیریهای قابل تصور بردارهای  $\hat{a}$  و  $\hat{a}'$  و  $\hat{b}$  و  $\hat{b}'$  برابر  $2\sqrt{2}$  است.

$\Delta$  یک کمیت فیزیکی است. بنا بر استدلالی که بر پایه جایگزیدگی اینشنن بناسنده به آن یک مقدار بیشینه ۲ نسبت می دهیم. نامساوی  $2 \leq \Delta$  معمولا تحت نام نامساوی بل خوانده می شود، که آنرا می توان به صورت زیر بدست آورد. نامساوی بل یکی از پرافتخارترین کشفیات قرن بیستم است، بطوریکه نقض این نامساوی موجب استفاده پر شور و نشاط آن برای به دام اندازی الکترون شده است. آنچه که در بخش قبل راجع به سیستمهای اسپین  $\frac{1}{2}$  بیان شد و لزوما به توصیف مخلوط  $50-50$  از بردارهای حالت قابل تجزیه  $\langle u_+ | u_- \rangle$  و  $\langle v_+ | v_- \rangle$  منجر شد، دقیقا بنا بر جایگزیدگی اینشنن استوار است، و ما در اینجا نشان می دهیم که جایگزیدگی اینشنن به اعتبار نامساوی بل منجر می شود.

یک مجموعه  $E$  از زوج سیستم‌های کوانتومی  $\alpha$  و  $\beta$  از هر نوع را در نظر می‌گیریم و فرض می‌کنیم که آنها با حالت‌های قابل تجزیه  $\langle \Psi_k | \Phi_k \rangle$  با احتمال  $p_k$  توصیف می‌شوند، که در آن  $k = 1, 2, \dots$ . بنابراین، اگر  $E$  شامل  $N$  زوج باشد، داریم:

$$\begin{aligned} |\Psi_1\rangle|\Phi_1\rangle & Np_1 & \text{زوج با بردار حالت } \\ |\Psi_2\rangle|\Phi_2\rangle & Np_2 & (28-2) \\ \vdots & & \\ |\Psi_k\rangle|\Phi_k\rangle & Np_k & \end{aligned}$$

فرض کنید مشاهده پذیرهای دو مقداری که روی  $\alpha$  و  $\beta$  اندازه گیری شده اند، به طور مکانیک کوانتومی با عملگرهای  $A(\alpha)$  و  $B(\beta)$  توصیف شوند، بطوریکه اگر عملگر متناظر با اندازه گیری توام روی دو سیستم،  $A(\alpha) \otimes B(\beta)$  باشد.تابع همبسته پیش‌بینی شده توسط تئوری کوانتومی دقیقاً میانگین عملگر اخیر روی ترکیب  $(28-2)$  است، بطوریکه [۵] :

$$A(\alpha, \beta) = \sum_k p_k \langle \Psi_k | (A(\alpha) \otimes B(\beta)) | \Phi_k \rangle \quad (29-2)$$

چهار تابع همبسته که وارد نامساوی بل می‌شوند، می‌توانند به شکل زیر نوشته شوند:

$$\begin{aligned} A(\alpha, \beta) &= \sum_k p_k \bar{A}_k \bar{B}_k & P(\alpha, \beta') &= \sum_k p_k \bar{A}_k \bar{B}'_k \\ A(\alpha', \beta) &= \sum_k p_k \bar{A}'_k \bar{B}_k & P(\alpha', \beta') &= \sum_k p_k \bar{A}'_k \bar{B}'_k \end{aligned} \quad (30-2)$$

که در آن:

$$\begin{aligned} \bar{A}_k &= \langle \Psi_k | A(\alpha) | \Psi_k \rangle & \bar{A}'_k &= \langle \Psi_k | A(\alpha') | \Psi_k \rangle \\ \bar{B}_k &= \langle \Phi_k | B(\beta) | \Phi_k \rangle & \bar{B}'_k &= \langle \Phi_k | B(\beta') | \Phi_k \rangle \end{aligned} \quad (31-2)$$

یک خاصیت مهم از این چهار میانگین اینست که آنها باید مقداری داشته باشند، که بیشتر از ۱ نباشد. چون آنها مقادیر انتظاری عملگرهایی هستند که ویژه مقادیر ممکن آنها  $1 \pm 1$  است. بنابراین :

$$|\bar{A}_k| \leq 1 \quad , \quad |\bar{A}'_k| \leq 1 \quad , \quad |\bar{B}_k| \leq 1 \quad , \quad |\bar{B}'_k| \leq 1 \quad (32-2)$$

نامساوی قبلی برای تمام مقادیر  $k$  درست است.

با قرار دادن (۳۰-۲) در (۲۶-۲) به آسانی بدست می آوریم:

$$\Delta = \sum_k P_k \Delta_k \quad (33-2)$$

که در آن:

$$\Delta_k = |\overline{A}_k \overline{B}_k - \overline{A}_k \overline{B}'_k| + |\overline{A}'_k \overline{B}_k + \overline{A}'_k \overline{B}'_k| \quad (34-2)$$

با یادآوری (۳۲-۲) فوراً بدست می آوریم:

$$\Delta_k \leq |\overline{B}_k - \overline{B}'_k| + |\overline{B}_k + \overline{B}'_k| \quad (35-2)$$

که از آن نتیجه می شود که  $\Delta_k \leq 2$ . چون هر دو عدد حقیقی  $x$  و  $y$  که  $|x| \leq 1$  و  $|y| \leq 1$  همیشه در رابطه  $|x-y| + |x+y| \leq 2$  صدق می کنند. اگر  $2 \leq \Delta_k$  را در (۳۳-۲) قرار دهیم، در نهایت به دست می آوریم:

$$|\mathcal{P}(a, b) - \mathcal{P}(a, b')| + |\mathcal{P}(d, b) + \mathcal{P}(d, b')| \leq 2 \quad (36-2)$$

چون  $\sum_k P_k = 1$ . نامساوی (۳۶-۲) دقیقاً نامساوی بل است.

رابطه (۳۶-۲) را بدون استفاده از قدر مطلق می توان به صورت زیر نوشت:

$$-2 \leq \mathcal{P}(a, b) - \mathcal{P}(a, b') + \mathcal{P}(d, b) + \mathcal{P}(d, b') \leq 2 \quad (37-2)$$

و یا بطور فشرده:  $-2 \leq S \leq 2$

از طرف دیگر، در آزمایش‌های سال ۱۹۸۲ آسپکت<sup>۱</sup> و همکارانش جهتگیریها بگونه ای انتخاب

شدند که بنا بر آن [۷]:

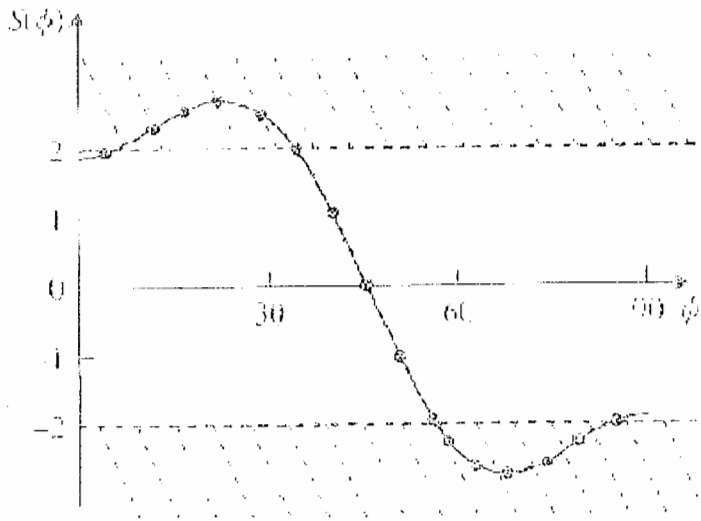
$$\hat{a} \cdot \hat{b} = \hat{b} \cdot \hat{a}' = \hat{a}' \cdot \hat{b}' = \cos \varphi \quad (38-2)$$

$$\hat{a} \cdot \hat{b}' = \cos 3\varphi \quad (39-2)$$

این امر از شکل (۱-۲) نیز آشکار است.

---

1 - A. Aspect



شکل (۲-۲): داده های تجربی که برای مقادیر همبستگی ( $S(\phi)$  بوسیله آسپکت، گرنجیر و روجر بدست آمد. منحنی پیوسته، پیش بینی مکانیک کوانتمی و ناحیه هاشور خورده ناحیه ای است که در آن نامساوی بل معادله (۳۷-۲) نقض می شود [۶].

مقادیر آزمایشی  $S$  برای زاویه های مختلف  $\phi$  بین  $0^{\circ}$  و  $90^{\circ}$  درجه بدست آمد. نتایج در

شکل (۲-۲) همراه با پیشگویی های مکانیک کوانتمی نشان داده شده اند. نتایج تجربی، نامساوی بل را نقض می کنند و در توافق عالی با پیشگویی های کوانتمی قرار دارند.

آزمایشها بیشتری توسط زلینگر<sup>۱</sup> در سال ۱۹۹۹ نیز نقض نامساوی بل را نشان داد [۶]. از اینرو نتیجه گرفتند که هیچ متغیر مخفی جایگزیده تحت تئوری مکانیک کوانتمی قرار ندارد. اما همانطور که نشان دادیم، امکان دارد که تئوریهای متغیر مخفی ناجایگزیده ساخت که به همان نتایج تجربی مکانیک کوانتمی منجر شود.

---

1 - Zelinger

# فصل سوم

## تولید بدام اندازی الکترون

۱-۱- تولید بدام اندازی کلی

۲-۲- تولید بدام اندازی الکترون از طریق ابررسانا

۳-۳- بدام اندازی الکترون از طریق یک نقطه کوانتومی

## مقدمه

به دام اندازی یک ویژگی معین از سیستمهای مکانیک کوانتومی با کاربردهای مهم و جدید در زمینه تئوری اطلاع رسانی کوانتومی، محاسبات کوانتومی، رمزگذاری کوانتومی<sup>۱</sup> [۷] و ارسال از راه دور به طریق کوانتومی<sup>۲</sup> [۸] می‌باشد. مثالهای بسیاری از سیستمهای به دام افتاده را می‌توان در طبیعت پیدا نمود، اما فقط در چند مورد محدود به دام اندازی انجام پذیر بوده و مورد استفاده قرار گرفته است [۹].

تا کنون بیشتر تلاشها بر روی تهیه و بررسی فوتونهای به دام افتاده متمرکز بوده است [۱۰] و اخیراً اسپین‌های به دام افتاده از ذرات بنیادی و الکترونها مورد استفاده قرار گرفته‌اند. کنترل نامساوی بل برای پذیرش روش بدام اندازی راه مطمئنی برای تایید روش پیشنهادی می‌باشد: بدین طریق که نقض آن نامساویها در آزمایش‌هایی که در آنها زوج ذرات بکار گرفته می‌شوند، دلیل محکمی بر همبستگی ناجایگزیده<sup>۳</sup> پیشنهادی مکانیک کوانتومی بین ذرات است. این همبستگی توسط تئوری متغیرهای مخفی ناجایگزیده توصیف می‌شود [۹]. در این راستا شبه ذرات<sup>۴</sup> در قطعات حالت جامد ذرات، ذرات سازگاری به عنوان حاملهای اطلاعات کوانتومی می‌باشند. مثلاً اسپین الکترونها در نیمرسانها چنان رفتاری از خود نشان می‌دهند که می‌توان آنها را تا فاصله‌های بیشتر از  $\mu m$  ۱۰۰ با حفظ همدوسی فاز منتقل نمود [۱۰]. همچنین پیشنهادهای متعددی برای خلق زوجهای EPR در

<sup>۱</sup> -Cryptography

2 - Quantum Teleportation

3 - Nonlocal correlation

4 - Quasi particles

سیستمهای حالت جامد مثلا با استفاده از ابرساناها<sup>[11]</sup> یا نقطه کوانتمی<sup>[12]</sup> به عنوان منبعی از باریکه های الکترونی به دام افتاده ارائه شده اند. در این فصل به توصیف سه روش تولید بدام اندازی می پردازیم.

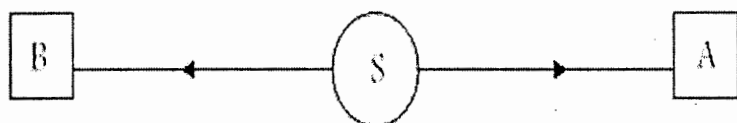
### ۱-۳- تولید به دام اندازی کلی

در این روش یک طرح کلی برای به دام اندازی اسپین ها ( یا هر درجه آزادی نظری اسپین، یعنی ذره ای با دو درجه آزادی) با روش تداخل سنجی پیشنهاد می شود. بهره جزئی زوجهای به دام افتاده برای تعداد معینی زوج ورودی را می توان با استفاده از یک، شکافنده پرتو و دو آشکارساز بطور دلخواه افزایش داد. کاربرد عمدی طرح ما در بدام اندازی ذرات مادی نظری نوتونهای، الکترونها و اتمها قرار دارد. با این روش می توان از طریق اندازه گیری جدایانه ذرات جرم دار مجزا و دور از هم ناجایگزیدگی کوانتمی را امتحان نمود.

ویژگی چشمگیر این طرح آن است که لازم نیست دو ذره مشابه مستقل بطور مستقیم برای به دام افتادن برهمنکش کنند. آنها فقط لازم است بطور انفرادی با شکافنده پرتو که مثلا یک دستگاه اشترن گرلاخ است و آشکارساز که آن نیز یک دستگاه اشترن گرلاخ دیگری است، برهمنکش کنند (شکل ۱-۳) و از عدم تفاوت بین آنها می توان برای حصول بدام اندازی استفاده نمود. بدین ترتیب این روش یک به دام اندازی مفید است که در آنجا ذراتی با ذرات دیگر از نوع خودشان یا بطور ضعیف برهمنکش می کنند یا اصولا برهمنکش نمی کنند.

ابتدا یک طرح مقدماتی با اصلاح فرایند تداخل سنجی بکار رفته در تولید قطبش فوتونهای به دام افتاده را در نظر می گیریم. شکل (۲-۳) طرح مرکب از یک شکافنده پرتو با کانالهای ورودی A و B و کانالهای خروجی C و D را نشان می دهد. در شاخه کanal C آشکارساز P و در کanal D ، آشکارساز

آهن ربا                          چشمہ گسیل الکترون                          آهن ربا

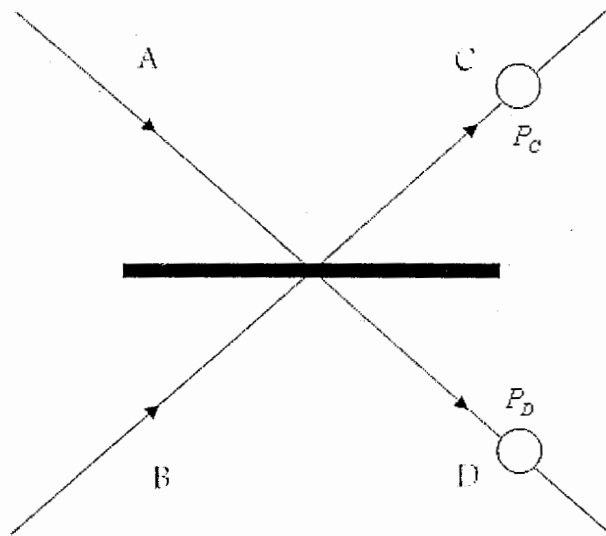


شکل(۳-۱) : چشمہ S یک جفت ذره تکتایی با اسپین  $\frac{1}{2}$  تولید می کند. ذرات به سوی دو دستگاه آهربای اشترن گرلاخ مختلف پرواز می کنند و در آنجا هر یک براساس جهت اسپین خود شناسایی می شوند. چشمہ می تواند یک نیمرسانی تحت تابش نور ماورای بنفس یا لیزر باشد، که تحت اثر فتوالکتریک، الکترون تابش می کند [۲].

$\beta$  نصب شده اند. فرض می شود این آشکارسازها جذب کننده نیستند و قادر می باشند مسیر را بدون اختلال در اسپین تعیین کنند.

این امر ممکن است، زیرا مکان و اسپین همانطور که از مکانیک کوانتومی می دانیم  $[\hat{X}, \hat{S}] = 0$  جایجاپذیرند . اینک دو ذره یکسان در دو حالت اسپین مختلف ( یعنی  $(\uparrow)$  و  $(\downarrow)$  ) را در نظر بگیرید که بطور همزمان مطابق شکل(۲-۳) از بازوهای A و B به شکافنده پرتو می تابند. در نمادگذاری کوانتش دوم این حالت را به صورت زیر توصیف می کنند:  $|0\rangle |a_{\uparrow}^{\dagger} a_{\uparrow}^{\dagger}\rangle$  که در آن  $|0\rangle$  حالت خالی و  $a_{\uparrow}^{\dagger}$  و  $a_{\downarrow}^{\dagger}$  بترتیب عملگرهای خلق برای اسپین  $\uparrow$  در مسیر A و اسپین  $\downarrow$  در مسیر B می باشند. این حالت را بطور خلاصه می توانیم به صورت رو برو نشان دهیم:  $|A\uparrow, B\downarrow\rangle$ . با توجه به آنکه دو نوع ذره به نام فرمیونها و بوزونها داریم، می توان نتیجه گرفت که برای بوزونها رابطه:  $|A\uparrow, B\downarrow\rangle = -|B\downarrow, A\uparrow\rangle$  و برای فرمیونها  $|A\uparrow, B\downarrow\rangle = |B\downarrow, A\uparrow\rangle$  برقرار هستند. در اثر برخورد به شکافنده پرتو، در حالت اسپین الکترونها تبدیلی انجام می شود که عبارتست از [۱۴، ۱۳]:

$$|A\uparrow, B\downarrow\rangle \rightarrow \frac{1}{\sqrt{2}} \left\{ \frac{1}{\sqrt{2}} (|D\uparrow, C\downarrow\rangle \pm |D\uparrow, C\uparrow\rangle) + \frac{1}{2} (|C\uparrow, C\downarrow\rangle + |D\uparrow, D\downarrow\rangle) \right\} \quad (1-3)$$



شکل(۲-۳): یک طرح مقدماتی شامل شکافنده پرتو (مسیرهای ورودی A و B، و مسیرهای خروجی C و D هستند) و آشکارسازهای مسیرهای بدون جذب  $P_D$  و  $P_C$  در اسپین اختلالی ایجاد نمی کنند. وقتی مسیر ذرات یکسان با اسپین های مخالف به اولین شکافنده پرتو می تابند، یکی از بازوی A و دیگری از بازوی B سپس متراffد با همزمانی در  $P_D$  و  $P_C$ ، حالت اسپین بدام افتاده ایجاد می شود[۱۵].

که در این رابطه علامت (+) برای فرمیونها و علامت (-) برای بوزونها بکار می رود. پس از آنکه آشکارسازها بکار افتدند (عمل کردند)، حالت مرکب ذرات و آشکارساز عبارتست از:

$$\frac{1}{\sqrt{2}} \left\{ \frac{1}{\sqrt{2}} (\langle D \uparrow, C \downarrow \rangle \pm \langle D \uparrow, C \uparrow \rangle |P_C^+ \rangle |P_D^+ \rangle) \right\} + \frac{1}{2} (\langle C \uparrow, C \downarrow \rangle |P_C^+ \rangle |P_D^- \rangle + \langle D \uparrow, D \downarrow \rangle |P_C^- \rangle |P_D^+ \rangle) \quad (2-3)$$

در این رابطه  $\langle P_C^+ \rangle |P_D^+ \rangle$  و  $\langle P_C^- \rangle |P_D^- \rangle$  بترتیب حالتهای برنیانگیخته و برانگیخته آشکارساز هستند (متراffد با آشکارسازی یک ذره یا تعداد بیشتری ذره). در عبارت بالا علامت  $\oplus$  دلالت بر فقدان همدوشی بین حالتهای راست هنجار آشکارسازها دارد. وقتی آشکارسازها در حالت  $\langle P_C^+ \rangle |P_D^+ \rangle$  پیدا شوند (در توافق با هم)، حالت ذرات، در حالت زیر تصویر می شود:

$$\frac{1}{\sqrt{2}} (\langle D \uparrow, C \downarrow \rangle \pm \langle D \uparrow, C \uparrow \rangle)$$

بخش اسپین این حالت را می توان در نمادگذاری کوانتش اول ( با استفاده از مسیرها که با نماد ذرات مشخص شده اند) به صورت زیر نوشت:

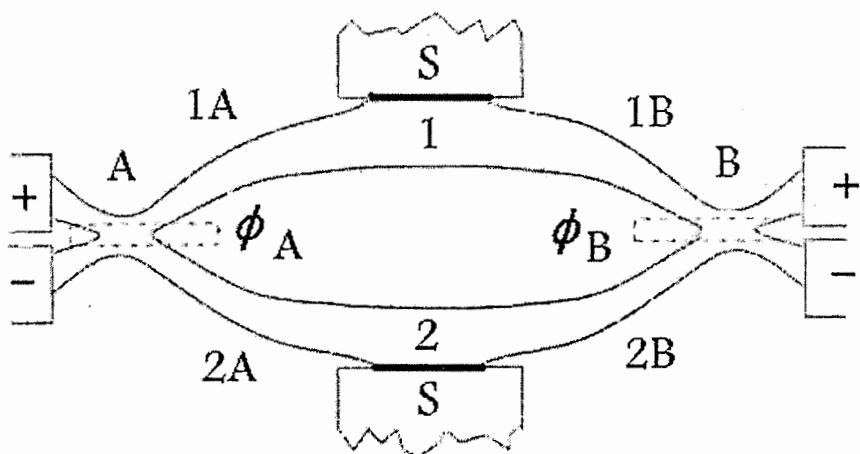
$$|\Psi^\pm\rangle_{CD} = \frac{1}{\sqrt{2}} (|\uparrow\rangle_D |\downarrow\rangle_C \pm |\downarrow\rangle_D |\uparrow\rangle_C)$$

که یک حالت اسپین بدام افتاده است. کاملاً موجه است که مسیرها را با نمادهای ذرات استفاده نکنیم زیرا ذرات یکسان هستند.

حضور آشکارسازها به ما کمک می کند تا سرچشممه مفیدی از ذرات با اسپین به دام افتاده بدست آوریم. در ضمن حالت تابش  $(\downarrow^A, \uparrow^B)$  به دام افتاده نیست. برخلاف الکترون در طرحهایی که از فوتونها استفاده می شود، حالت بدام افتاده می تواند براساس تکانه فوتونهای تابشی بررسی شوند و قطبش آنها را در نظر داشت. در این طرح فقط لازم است که ذرات بطور همزمان به شکافنده پرتو برخورد کنند، لذا هیچ بدام اندازی اولیه ای برای این مورد لازم نیست. برای مثال، اگر اتمها از دو چشمۀ مستقیم برحسب سرعت انتخاب شوند، آنها را می توان وادر نمود تا از ناحیه یکسانی در زمانی یکسان مانند کاواک ارائه شده در آزمایشهای QED [۱۶] عبور کنند. با حذف لزوم غیر خطی بودن برای تولید حالت تابشی، بدین ترتیب می توان حدود این روش را برای پوشش تمام انواع ذرات گسترش داد.

### ۳-۲- تولید بدام اندازی الکترون از طریق ابررسانا

الکترونها بخاطر جرم و بار الکتریکی خود کاملاً با فوتونها تفاوت دارند، لذا برای تولید زوج الکترون به ابزارهای پیچیده تر و مججهزتری نیاز هست [۱۱]. پیشنهادهای موجود براساس خلق الکترون، دستکاری و آشکارسازی [۹] زوجهای اسپین بدام افتاده الکترونها می باشند. این امر کنترل تجربی اسپین های انفرادی را از طریق صافی های اسپین یا میدانهای مغناطیسی که بطور جایگزینه جهتگیری شده در یک مقیاس مزوسکوپی لازم می دارد. در اینجا یک طرح مستقل از اسپین برای ایجاد و آشکارسازی بدام اندازی مداری در یک سیستم ابررسانا - عادی مزوسکوپی ارائه می شود. در شکل (۳-۳) یک ابررسانا نشان داده می شود که بطور ضعیفی به یک رسانای عادی جفت شده



شکل(۳-۳): دستگاه مورد آزمایش . یک ابررسانای  $S$  از طریق دو سد تونلی به چهار بازوی معمولی متصل است. سدهای ۱ و ۲ با خطوط پرنگ بین ابررسانا و رسانا نشان داده شده اند [۱۷].

است. این دستگاه یک حالت بدام افتاده مداری ایجاد می کند که یک جفت الکترون با برهم نهی همدوس را به داخل دهانه های مختلف رسانای معمولی می فرستد. در حد تونل زنی، همبستگی با فرکانس صفر بین جریانهایی که به داخل رسانای معمولی مختلف جاری می شوند معادل با یک جفت اندازه گیری همزمان می باشد، که فقط همبستگی بین الکترونهای ناشی از سهیم زوج بدام افتاده یکسان را نشان می دهد. در نتیجه، نامساوی استاندارد بل(BI) را می توان بر حسب همبستگی های جریان با فرکانس صفر مستقیما محاسبه نمود. در می یابیم که نقض نامساوی بل به دام افتادگی حالت زوج را نشان می دهد، که می توان با اختلاف فاز دلخواه در رسانای معمولی بدست آورده. در اینجا فقط یک طرح ساده شده از سیستم را بررسی می کنیم (شکل ۳-۳). یک ابررسانای منفرد (دو بخش ابررسانا مثلا از طریق یک حلقه می توانند به یکدیگر متصل شوند) با ضریب گزندگی  $\Gamma \gg 1$  به یک رسانای معمولی بطور ضعیفی جفت شده اند. رسانا را می توان مانند یک گاز الکترون دو بعدی در نظر گرفت. رسانای معمولی شامل چهار بازوی  $1A, 1B, 2A, 2B$  با طولهای مساوی  $L$  می باشد. بازوها بشکل یک شکافنده باریکه قابل کنترل قرار دارند، بطوریکه زاویه بین بازوها

$\Phi_B(\Phi_A)$  می باشد و این بازوها به انباره های عادی با پتانسیلهای  $A, -A, +B, -B$  متصل شده اند [۱۷].

فرض می شود که شکافنده ها فقط یک مد انتشاری را عبور می دهند. حالتهای  $|+, \eta\rangle$  و  $|-, \eta\rangle$  برای الکترونهای خروجی به داخل انباره های معمولی و حالتهای  $|1, \eta\rangle$  و  $|2, \eta\rangle$  الکترونهای گسیل شده از ابررسانها از طریق ماتریس پخش به یکدیگر مربوط می شوند ( $\eta = A, B$ ) :

$$\begin{bmatrix} |+, \eta\rangle \\ |-, \eta\rangle \end{bmatrix} = \begin{pmatrix} \cos \varphi_n & -\sin \varphi_n \\ \sin \varphi_n & \cos \varphi_n \end{pmatrix} \begin{bmatrix} |2, \eta\rangle \\ |1, \eta\rangle \end{bmatrix} \quad (3-3)$$

زاویه های  $\Phi_B$  و  $\Phi_A$  را می توان بین  $0$  و  $\frac{\pi}{2}$  با چرخاندن شکافنده از حالت «باز»، یعنی وقتی به الکترونهای اجازه داده می شود از (۲) به (۱) عبور کنند تا حالت «بسته»، یعنی بازتاب کامل از (۲) به (۱)، تنظیم نمود. باید توجه داشت که این فرایند برای تحقق ابررسانایی باید در حد دماهای پایین، یعنی وقتی  $eV < T < 1$  انجام شود. یک ولتاژ منفی  $-eV$  کوچکتر از گاف ابررسانایی  $\Delta$ ، به تمام انباره های معمولی اعمال می شود و ابررسانا به زمین متصل است.

اینک بطور خلاصه یک توضیح ساده شفاف ارائه می دهیم تا تولید و آشکارسازی به دام اندازی را توضیح دهیم. ابررسانا یک زوج ذره به داخل بازو های رسانای معمولی گسیل می کند. چون ابررسانا یک جسم همدوس و ساده است، حالت زوج گسیل شده از طریق سدهای ۱ و ۲ می باشد. زوج گسیل شده یا می تواند شکافته شود یعنی هر یک از الکترونهای سمت یک شکافنده  $A$  و  $B$  برود، یا هر دو الکترون به سمت فقط یک شکافنده بروند. مع ذلك فرایند دوم مورد توجه نمی باشد.

بدین ترتیب می توان قسمت مربوط به حالت زوج گسیل شده را به صورت زیر بنویسیم:

$$|\Psi\rangle = |\Psi_{12}\rangle \otimes |\Psi_{AB}\rangle \quad |\Psi_{12}\rangle = \frac{1}{\sqrt{2}}(|11\rangle + |22\rangle) \quad (4-3)$$

حالت حاصلضربی  $(|\Psi_{12}\rangle)$ ، بطور مداری نسبت به گسیل در سرتاسر سدهای ۱ و ۲ به دام افتاده است، و حالت  $(|\Psi_{AB}\rangle)$  توصیف کننده این است که یک الکترون به سمت  $A$  و الکترون دیگر به سمت  $B$

می رود، و شامل تمام اطلاعات اضافی، نظیر وابستگی اسپین و انرژی می باشد. شکافته های A و B  
حالت  $\Psi_{12}$  را طبق را بطه (۳-۳) دوران می دهند.

به دام اندازی، به یک همبستگی ناجایگزیده دو الکترون منجر می شود که با نقض نامساوی بل  
آشکار می شوند.

یادآوری می کنیم که فرمول اصلی (۴-۳)، منبعی برای گسیل حالت های تکتایی اسپین  $\frac{1}{2}$  نیز

هستند و مطابق آنچه در فصل ۲ بیان شد نامساوی بل:

$$S = [P(\varphi_A, \varphi_B) - P(\varphi_A, \varphi'_B) + P(\varphi'_A, \varphi_B) + P(\varphi'_A, \varphi'_B)] \leq 2 \quad (5-3)$$

را می توان بر حسب توابع همبستگی اسپین به صورت زیر بیان نمود:

$$P(\varphi_A, \varphi_B) = P_{++} - P_{+-} - P_{-+} + P_{--} \quad (6-3)$$

در روابط بالا  $P_{\alpha\beta}(\varphi_A, \varphi_B)$  احتمالهای الحق هستند که یک ذره را در آشکارساز A با اسپین

$\pm \alpha$  نشان دهنده بالا (پایین) است] در امتداد راستای  $\varphi_B$  نشان می دهد و ذره دیگر را در

آشکارساز B با اسپین  $\pm \beta$  در امتداد  $\varphi_B$  نشان می دهد. احتمالهای الحق از رابطه زیر بدست می

آید:

$$P_{\alpha\beta}(\varphi_A, \varphi_B) = \frac{1}{4} \{1 + \alpha\beta \cos[2(\varphi_A - \varphi_B)]\} \quad (7-3)$$

با وارد کردن  $P_{\alpha\beta}$  در معادله (۶-۳) معلوم می شود

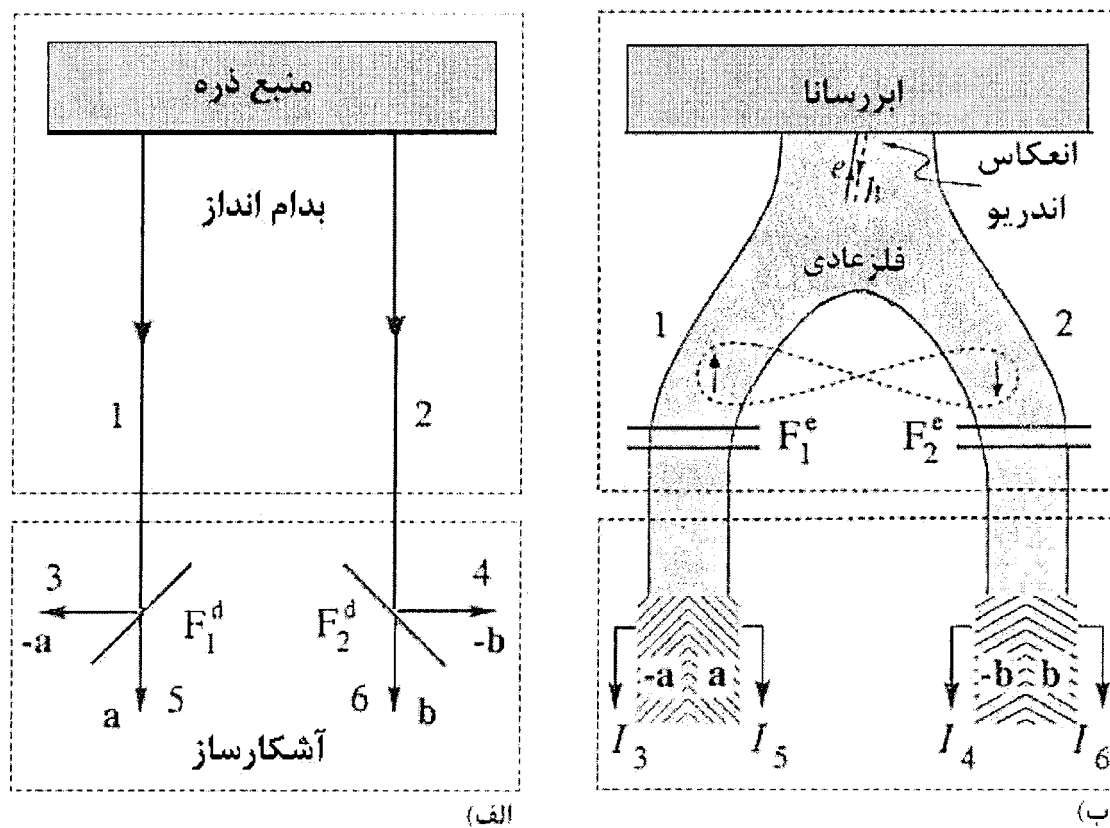
$$P(\varphi_A, \varphi_B) = \cos[2(\varphi_A - \varphi_B)] \quad (8-3)$$

سپس برای مقادیر زاویه ای  $\varphi' = \frac{\pi}{2}$  ،  $\varphi'_A = \frac{3\pi}{8}$  ،  $\varphi_B = \frac{\pi}{4}$  ،  $\varphi_A = \frac{\pi}{8}$  نامساوی بل در معادله

(۵-۳) به شدت نقض می شود، یعنی، نتیجه  $S = 2\sqrt{2}$  را بدست می آوریم. ملاحظه می شود که با

اتصال یک حلقه ابررسانا به یک رسانای معمولی نیز می توان به دام اندازی را بصورت ثوری اثبات کرد.

یک پیشنهاد نیز در این زمینه در مرجع [۹] ارائه شده است که برای جلوگیری از طولانی شدن مطلب فقط نمودار پیشنهادی زیر رسم می شود.

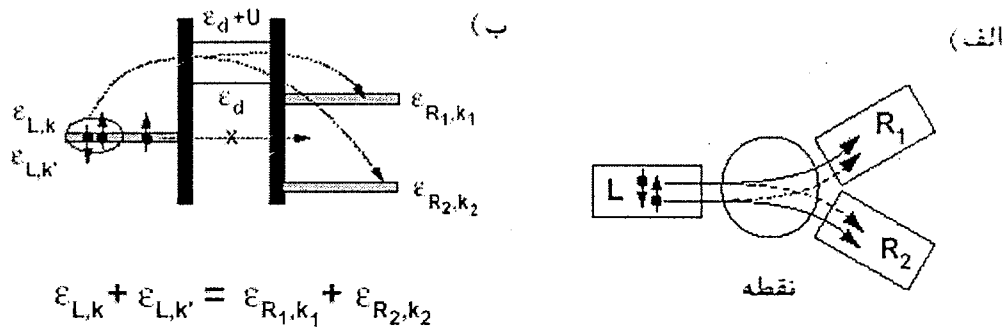


شکل(۳-۴): یک پیشنهاد برای بدام اندازی از طریق یک ابرسانا [۹]

### ۳-۳- بدام اندازی الکترون از طریق یک نقطه کوانتومی

در این بخش ما به وسیله ای برای تولید زوج EPR به دام افتداده با استفاده از یک نقطه کوانتومی سه مسیری (شکل(۳-۵الف)) می پردازیم. حالت ورودی یک حالت آمیخته دو الکترونی می باشد، که با تونل زنی همدوس [۱۸] از نقطه عبور می کند. نقطه از یک دهانه تک ورودی و دو دهانه خروجی تشکیل شده است. نمودار باند انرژی نقطه کوانتومی در شکل(۳-۵ب) نشان داده شده است. آرایش دهانه ها به گونه ای است که نقطه را خالی نشان می دهد. دو فاکتور کلیدی برای عملکرد موفقیت آمیز این به دام اندازی وجود دارد. اول اینکه دهانه ها بدون واگنی باشند و به طور نسبی دارای پهنای انرژی باریکی باشند تا مانند صافی های انرژی عمل کنند.

اگر تک الکترون از بین نقطه کوانتومی تونل زنی کند، انرژی حفظ نمی شود. بنابراین تونل زنی



شکل(۵-۳): الف) نقطه کوانتومی سه مسیری ب) نمودار باند انرژی برای نقطه کوانتومی سه مسیری با انرژی غیر و اگن که مانند صافی های انرژی عمل می کنند [۱۲].

تک الکترون ممنوع است، اما انرژیهای دهانه ها رامی توانیم طوری آرایش دهیم که رویداد تونل زنی مشترک دو الکترون، انرژی را حفظ کند. پس پایین ترین مرتبه جریان تونل زنی، مربوط به تونل زنی مشترک واقعی دو الکترون از بین نقطه کوانتومی است. دوم اینکه اشغال دوگانه نقطه یک انرژی کولنی جایگزیده متحمل می شود. برهمکنش کولنی در این سیستم واسطه بدام اندازی می شود. اگر برهم کنش کولن وجود نداشته باشد، حالتهای یگانه و سه گانه تداخل ویرانگر دارند. به حال در حضور برهم کنش کولن تقارن سیستم تغییر می کند و تداخل ویرانگر ناقص می شود، در حالیکه تداخل ویرانگر حالت چندگانه باقی می ماند. این مسئله به یک دامنه تک حالت در خروجی نقطه منتهی می شود.

### ۱-۳-۳- زمینه

به دام اندازی که در این بخش آنرا بررسی می کنیم، با تصویر برهمکنش که در بخش قبل شرح داده شد و با استفاده از هامیلتونی اندرسون<sup>۱</sup> با یک انرژی کولنی جایگزیده U آنالیز می شود. ما فقط به یک تک تراز و اگن انرژی اسپین برای نقطه توجه می کنیم و برانگیختگی تک الکترون در نقطه وجود ندارد.

<sup>۱</sup> - Anderson

$$\begin{aligned}\hat{H}_{And} &= \hat{H}_0 + \hat{V} \\ \hat{H}_0 &= \sum_{\eta, \kappa, \sigma} \hat{a}_{\eta, \kappa, \sigma}^\dagger \hat{a}_{\eta, \kappa, \sigma} + \sum_{\sigma} \varepsilon_d \hat{C}_\sigma^\dagger \hat{C}_\sigma + U_{\uparrow\downarrow} \\ \hat{V} &= \sum_{\eta, \kappa, \sigma} (V_\eta \hat{a}_{\eta, \kappa, \sigma}^\dagger \hat{C}_\sigma + h.c.)\end{aligned}\quad (9-3)$$

که در آن  $\{\eta, R_1, R_2\} \in \{\uparrow, \downarrow\}$  اسپین دهانه ها، و  $k$  اندازه حرکت الکترون دهانه است. الکترون،  $V_\eta$  عنصر ماتریس همپوشانی بین نقطه و حالت های دهانه است و  $(\hat{a}^\dagger \hat{a})$  عملگر نابودی (خلق) برای دهانه الکترونها و  $(\hat{C}^\dagger \hat{C})$  عملگر نابودی (خلق) برای الکترون های نقطه است و  $\hat{n}_\sigma = \hat{C}_\sigma^\dagger \hat{C}_\sigma$  عملگر تعداد الکترون های نقطه است. فرض می شود که  $V_\eta$  مستقل از انرژی و اسپین است. تراز های انرژی نقطه  $\varepsilon_d$  و  $U$  که در شکل (5-3) نشان داده شده اند با دهانه ها تشدید ندارند. انرژی دهانه سمت چپ زیر تراز شبه فرمی است، بنابراین این دهانه پر از الکترون است. دهانه های راست خالی هستند. ما قرار می دهیم،  $\varepsilon_d = 0$  و بموجب آن تمام انرژیها را نسبت به  $\varepsilon_d$  می سنجیم. انرژی های دهانه  $\varepsilon_{\eta, \kappa}$  و انرژی شارژ  $R$  مانند پارامترهایی هستند که می توانند برای ملاحظه پیکربندی های مختلف نقطه تنظیم شوند. در تمام موارد، در کوانتوم نقطه سه مسیره، از تونل زنی تک الکترون از دهانه چپ به دهانه راست جلوگیری شده است، یعنی  $\varepsilon_{R_1, \kappa_1} \neq \varepsilon_{R_2, \kappa_2} \neq \varepsilon_{L, \kappa}$ . به حال تونل زنی ویژه دو الکترون، انرژی را حفظ می کند، برای اینکه، انرژی اولیه  $\varepsilon_{L, \kappa} + \varepsilon_{R_1, \kappa_1} \equiv \varepsilon_f$  برابر انرژی نهایی دهانه بود  $R_2$ . این فرایند حفظ انرژی است که در این بخش مورد توجه قرار گرفته است.

بر حسب یک بسط اختلال در عنصر ماتریس تونل زنی  $V$ ، پایین ترین مرتبه اختلال به جریان تونل زنی مشترک دو الکترون از دهانه چپ به دهانه راست  $(V^4)$  است. فرض شده است که فقط یک تراز انرژی نقطه در این نقطه کوانتمی مناسب است. تمام قسمت های مرتبه بالاتر یا در خود انرژی الکترون ها شرکت می کنند یا اینکه مشمول مراتب بالاتر تونل زنی مشترک دو الکترون هستند. بنابراین یک حالت اولیه دو الکترون که در این مدل استفاده می شود، به شکل زیر است:

$$|\Phi_i\rangle = \hat{a}_{L, \kappa, \sigma}^\dagger \hat{a}_{L, \kappa', \sigma'}^\dagger |0\rangle \quad (10-3)$$

در اینجا  $|0\rangle$  حالت ذره صفر این مدل سیستم است. این حالت اولیه یک انتخاب دلخواه از دو الکترون حالت زمینه کامل دهانه چپ در  $k \approx 0, T \approx 0$  است.

برای تحلیل سیستم که در شکل (۳-۵) توضیح داده شده دو راه وجود دارد. اولی اینست که حالت ورودی یک تک تراز انرژی در دهانه چپ باشد یعنی در معادله  $(10-3)$   $k' = k$  و از یک معادله حرکت روش تابع گرین برای تعیین حالت ممکن خروجی استفاده کنیم. چون اصل طرد پائولی نیاز به این دارد که  $k = k'$  پس حالت خروجی به طور واضح یک تک اسپین می باشد، و هامیلتونی اندرسون در معادله  $(9-3)$  اسپین را حفظ می کند. چون حالت خروجی باید تک اسپین باشد، یک بخش از تک حالت خروجی می تواند در یک پیکر بندی غیرجایگزیده در دهانه  $R_1, R_2$  وجود داشته باشد. این دلیل اصلی بود که بدام انداز ممکن است تحت وضعیت ایده آل کار کند. بهر حال بدلیل اینکه تکنیک معادله حرکت برای حالت‌های دلخواه ورودی  $k \neq k'$  بسته نمی شود، یک راه دوم شامل یک بسط اختلال در تصویر برهمنکش برای پیدا کردن حالت خروجی به  $(V^4)$  که قبلاً بیان شده استفاده می شود.

برای اهداف تئوری اختلال، هامیلتونی در معادله  $(9-3)$  را می توان به صورت زیر نوشت:

$$H = H_0 + H_1 \quad (11-3)$$

که در آن  $H_0$  هامیلتونی سیستمهای غیر برهمنکشی نقطه و دهانه است و  $H_1$  جفت شدگی کوچک مستقل از زمان بین این سیستمهای از طریق عنصر همپوشانی  $V$  می باشد. در تصویر برهمنکش حالت نهایی در زمان  $t$  به شکل زیر است:

$$|\psi_f(t)\rangle = e^{iH_0 t} e^{-iH_1 t} |\psi_i(t)\rangle \equiv \hat{U}(t) |\psi_i(0)\rangle \quad (12-3)$$

تصویر برهمنکشی عملگر تحول زمانی  $\hat{U}$  ترتیب زمانی را رعایت می کند.

$$\hat{U}(t) \cong \hat{\tau} \exp\left[-\left(\frac{i}{\hbar}\right) \int_0^t (dt_1) \hat{H}_1(t_1)\right] \quad (13-3)$$

که در آن  $\hat{\tau}$  ترتیب زمانی است. معادله (۱۲-۳) برهمنکش حالت اولیه در زمان  $t=0$  را به حالت در زمان  $t$  تکمیل می کند. به هر حال حالت اولیه ای که در معادله (۱۰-۳) نشان داده شده است غیر

برهمکنشی است. حالت‌های اولیه برهمکنشی و غیر برهمکنشی می‌توانند بوسیله ماتریس  $S$ ،

$$S(t, t') = \hat{U}(t) \hat{U}^\dagger(t')$$

$$|\psi_i(0)\rangle = S(0, -\infty) |\varphi_i\rangle \quad (14-3)$$

که به طور ذاتی حالت‌هایی که حالت نخستین غیر برهمکنشی به طور بی دررو برهمکنش حالت اولیه در  $t = 0$  را موجب می‌شود. چون  $S(t, 0) = U(t)$  نتیجه می‌شود که:

$$|\psi_f(t)\rangle = S(t, 0) S(0, -\infty) |\varphi_i\rangle = S(t, -\infty) |\varphi_i\rangle \quad (15-3)$$

که در اینجا  $S(t, -\infty)$  مشابه معادله (13-3) است، اما حد پایین انتگرال  $-\infty$ – $\infty$  باشد.

$$\hat{S}(t, -\infty) \cong \hat{\tau} \exp\left[\int'_{-\infty}^t (dt_1) \hat{H}_1(t_1)\right] \quad (16-3)$$

یک بحث با جزئیات بیشتر از شرودینگر و هایزنبرگ و تصویر برهمکنش در فصل اول ارائه شده است.

از شکل  $\langle \psi_f(t) |$  در معادله (15-3) می‌توان ماتریس انتقال  $[\int'_0 (dt_1) \hat{H}_1(t_1)] \hat{S}(t, -\infty) \cong \hat{\tau} \exp\left[\int'_0 (dt_1) \hat{H}_1(t_1)\right]$  را استخراج کرد.

$$\langle \varphi_f | \psi_f(t) \rangle = \delta_{if} + \frac{e^{-\frac{i}{\hbar}(\varepsilon_f - \varepsilon_i)t}}{\varepsilon_f - \varepsilon_i} \langle \varphi_f | \hat{\tau}(\varepsilon_i) | \varphi_i \rangle = \delta_{if} + C \langle \varphi_f | \hat{T}(\varepsilon_i) | \varphi_i \rangle \quad (17-3)$$

که در آن  $C$  مانند ضریبی در عبارتی که برای تعیین ماتریس انتقال جابجا می‌شود تعریف شده، و  $\hat{T}(\varepsilon_i)$  بطور بازگشتی عملگر انتقال تعریف شده است.

$$\hat{T}(\varepsilon_i) = \hat{V} + \hat{V} \frac{1}{\varepsilon_i - \mathcal{A}_0} \hat{T}(\varepsilon_i) \quad (18-3)$$

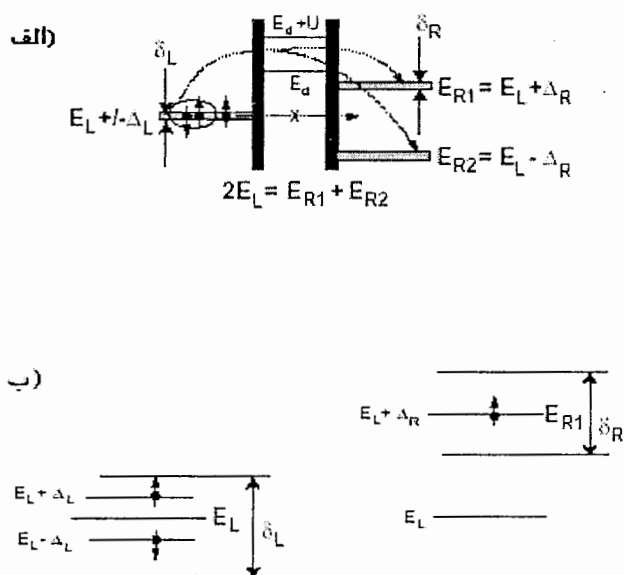
ماتریس انتقال می‌تواند برای پیدا کردن میزان انتقال  $W_{i \rightarrow f}$  استفاده شود

$$W_{i \rightarrow f} = \left(\frac{2\pi}{\hbar}\right) \left| \langle \varphi_f | T(\varepsilon_i) | \varphi_i \rangle \right|^2 \delta(\varepsilon_f - \varepsilon_i) \quad (19-3)$$

که از آن می‌توان برای مثال جریان را پیدا کرد.

### ۳-۲-۲- الکترون صفر، نقطه کوانتومی تک تراز

نقطه کوانتومی الکترون صفر در شکل (۳-۶الف) و (۳-۶ب) نشان داده شده است. پهنای انرژیهای دهانه ها،  $\delta_L$  برای دهانه چپ و  $\delta_R$  برای هر دو دهانه سمت راست است. نماد  $E_L$  و  $\Delta_L$  و  $\Delta_R$  با پارامترهای  $\varepsilon_{R_2, \kappa_2}$ ,  $\varepsilon_{R_1, \kappa_1}$ ,  $\varepsilon_{L, \kappa}$  معرفی می شوند و بموجب آن به طور ساده نمایشهای زیر را داریم:



شکل (۳-۶): الف) نقطه کوانتومی صفر الکترونی با ترازهای انرژی پهن شده ب) نمای نزدیک انرژیهای دهانه ها، بعنوان مثال، الکترونهای اسپین بالا و اسپین پایین در دهانه سمت چپ و یک الکترون اسپین بالا در دهانه راست  $R_1$ . دهانه  $R_2$  نشان داده نشده است [۱۲].

$$E_L = \frac{1}{2} (\varepsilon_{L,\kappa} + \varepsilon_{L,\kappa'}) = \frac{1}{2} (\varepsilon_{R_1,\kappa_1} + \varepsilon_{R_2,\kappa_2}) \quad (20-3)$$

$$\Delta_L = \frac{1}{2} (\varepsilon_{L,\kappa} - \varepsilon_{L,\kappa'}) \quad (21-3)$$

$$\Delta_R = \frac{1}{2} (\varepsilon_{R_1,\kappa_1} - \varepsilon_{R_2,\kappa_2}) \quad (22-3)$$

دو الکترون حالت اولیه دارای انرژیهای زیر هستند:

$$\varepsilon_{L,\kappa}, \varepsilon_{L,\kappa'} = E_L \pm \Delta_L \quad (23-3)$$

در حالیکه در طول دهانه چپ دو الکترون حالت نهایی دارای انرژیهای زیر خواهد بود:

$$\varepsilon_{R_1,\kappa_1}, \varepsilon_{R_2,\kappa_2} = E_L \pm \Delta_R \quad (24-3)$$

در دهانه های راست، جلوگیری از تونل زنی تک الکترون نیاز به این دارد که برای هر  $\Delta_L$  و  $\Delta_R$  رابطه:  $\Delta_L \Delta_R$  برقرار باشد. در عمل بدین معنی است که  $\delta_L, \delta_R$ .

با این تعریفها رویداد تونل زنی مشترک دو الکترون انرژی را حفظ می کند، اگر:

$$(\varepsilon_{L,\kappa} + \varepsilon_{L,\kappa'}) = (\varepsilon_{R_1} + \varepsilon_{R_2}) \quad (25-3)$$

$$(E_L + \Delta_L) + (E_L - \Delta_L) = (E_L + \Delta_R) + (E_L - \Delta_R) \quad (26-3)$$

واضح است که رابطه بقای انرژی نیاز به این دارد که یک الکترون از دهانه چپ به  $R_1$  و الکترون دیگر به  $R_2$  برود. دو حالت اولیه و دو حالت نهایی برای الکترونها وجود دارد. چهار انرژی برای توضیح این چهار حالت مورد نیاز است. از نماد  $\varepsilon_{L,\kappa}, \varepsilon_{R_1}, \varepsilon_{R_2}, \varepsilon_{L,\kappa'}$  در بازگشت به تصویر فیزیکی تونل زنی الکترون استفاده می شود، در حالیکه نماد  $E_L \pm \Delta_L$  و  $E_L \pm \Delta_R$  برای ساده سازی ریاضی در مدت محاسبه مورد استفاده قرار می گیرد. چون برجسیهای  $R_1, R_2$  به طور یکتا حالتها را در دهانه های راست تعیین می کنند، پس عدههای کوانتمی اندازه حرکت  $k_1, k_2$  حذف می شوند.

### ۳-۳-۳- تحلیل های مد چند گانه ، اسپینهای مختلف

در این بخش به مورد تونل زنی الکترون اسپین بالا و اسپین پایین در طول نقطه به سمت دهانه های خروجی می پردازیم. که در شکل (۵-۳) و (۶-۳) نشان داده شده اند. حالت اولیه به صورت زیر می باشد،

$$|\Phi_i\rangle = \hat{a}_{L,\kappa,\uparrow}^\dagger \hat{a}_{L,\kappa',\downarrow}^\dagger |0\rangle \quad (27-3)$$

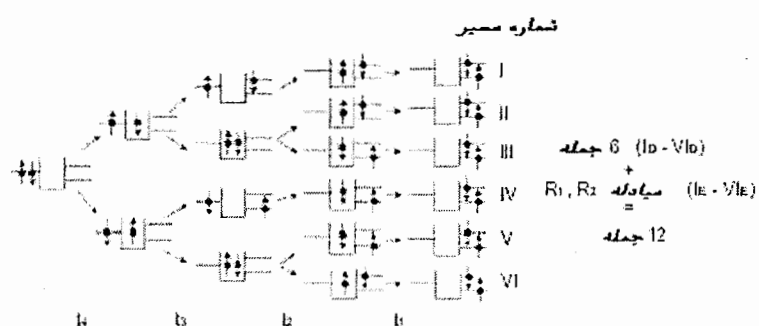
با توجه به عملگر ترتیب زمانی در بسط اختلال [۱۹۱] ، ۱۲ ترتیب زمانی یکتا وجود دارد که این دو الکترون، می توانند به طور خاص از دهانه چپ به دهانه های راست تونل مشترک بزنند.

ما آنها را در شش مسیر گروه بندی می کنیم، هر کدام با دو ترتیب زمانی که شامل یک ترتیب زمانی مستقیم مانند شکل (۲-۳) و یک ترتیب زمانی مبادله شده ناشی از تبادل دهانه های خروجی  $R_1, R_2$  می باشد. مبادله  $R_1, R_2$  یک علامت منفی را ناشی از رابطه جابجایی الکترون معرفی می کند. برای تولید حالت خروجی نهایی ناشی از طبیعت همدوس فرایند تونل زنی بالقوه، الکترونهای این مسیرهای دوازده گانه، با یکدیگر تداخل می کنند. بطوریکه ترتیب نشان داده شده در شکل برای وقوع برهمکنشها، با ترتیب زمانی  $t_1 \langle t_2 \rangle t_3 \langle t_4 \rangle$  می باشد.

برای محاسبه مسیرهای دوازده گانه می توانیم یک روش نموداری بکار ببریم که در شکل (۷-۳) نشان داده شده است. عملگرهای خلق و نابودی در قسمتهای برهمکنشی معادله (۱۶-۳) یک وابستگی زمانی دارند که از معادله حرکت هایزنبرگ پیروی می کند. در تصویر برهمکنش، هامیلتونی غیربرهمکنشی برای تعیین وابستگی عملگرهای برهمکنش استفاده می شود:

$$\hat{\Theta}_I = -\frac{i}{\hbar} [\hat{\Theta}_I, \hat{H}_0] \quad (28-3)$$

با استفاده از معادله حرکت، تحول زمانی دهانه و نقطه، عملگرهای خلق و نابودی به صورت زیر نوشته می شوند:



شکل (۷-۳) : مسیرهای چندگانه که بوسیله آنها دو الکترون می توانند از دهانه چپ به دهانه های راست از طریق یک نقطه  $= 0 \langle n \rangle$  تونل مشترک بزنند. شش مسیر یکتا و یک عامل دوم برای مبادله  $R_1$  و  $R_2$  دوازده مسیر معادل را نتیجه می دهد. این مسیرها به طور همدوس برای تولید حالت نهایی در دهانه های راست تداخل می کنند [۱۲]

$$\hat{a}_{\eta,\kappa,\sigma}(t) = e^{-\frac{i}{\hbar}\varepsilon_{\eta,\kappa}t} \hat{a}_{\eta,\kappa,\sigma}(0) \quad (29-3)$$

$$\hat{a}_{\eta,\kappa,\sigma}^\dagger(t) = e^{\frac{i}{\hbar}\varepsilon_{\eta,\kappa}t} \hat{a}_{\eta,\kappa,\sigma}^\dagger(0) \quad (30-3)$$

$$\hat{c}_\sigma(t) = e^{-\frac{i}{\hbar}\varepsilon_d t} (1 - \hat{n}_{\bar{\sigma}}) \hat{c}_\sigma(0) + e^{-\frac{i}{\hbar}(\varepsilon_d + U)t} \hat{n}_{\bar{\sigma}} \hat{c}_\sigma(0) \quad (31-3)$$

$$\hat{c}_\sigma^\dagger(t) = e^{\frac{i}{\hbar}\varepsilon_d t} (1 - \hat{n}_{\bar{\sigma}}) \hat{c}_\sigma^\dagger(0) + e^{\frac{i}{\hbar}(\varepsilon_d + U)t} \hat{n}_{\bar{\sigma}} \hat{c}_\sigma^\dagger(0) \quad (32-3)$$

بعنوان مثال به حالت اول توجه کنید، حالت اولیه بوسیله عملگرهای زیر در زمانهای  $t_1, t_2, t_3, t_4$  ناشی از تونل زنی به و از نقطه تغییر می کند. همانطور که بوسیله هامیلتونی برهمکنش توصیف می شود،

$$t_4 := V_L^* \hat{c}_{\downarrow} \hat{a}_{L\downarrow} e^{-\frac{i}{\hbar}(\varepsilon_{L,k'} - \varepsilon_d)t_4} \quad (33-3)$$

$$t_3 := V_{R_2} \hat{a}_{R_2\downarrow}^\dagger \hat{c}_{\downarrow} e^{-\frac{i}{\hbar}(\varepsilon_d - \varepsilon_{R_2})t_3} \quad (34-3)$$

$$t_2 := V_L^* \hat{c}_{\uparrow}^\dagger \hat{a}_{L\uparrow} e^{-\frac{i}{\hbar}(\varepsilon_{L,k} - \varepsilon_d)t_2} \quad (35-3)$$

$$t_1 := V_{R_1} \hat{a}_{R_1\uparrow}^\dagger \hat{c}_{\uparrow} e^{-\frac{i}{\hbar}(\varepsilon_d - \varepsilon_{R_1})t_1} \quad (36-3)$$

مسیر I سه‌می از  $|V|^4$  در معادله (16-3) دارد، سپس شکل زیر را می گیرد،

$$\begin{aligned} \hat{S}_I^{(4)}(t, -\infty) |\Phi_i\rangle &= V_L^{*2} V_{R_1} V_{R_2} \left(-\frac{i}{\hbar}\right)^4 \int_{-\infty}^t (dt_1) \int_{-\infty}^{t_1} (dt_2) \int_{-\infty}^{t_2} (dt_3) \int_{-\infty}^{t_3} (dt_4) \\ &\times e^{-\frac{i}{\hbar}(\varepsilon_d - \varepsilon_{R_1})t_1} e^{-\frac{i}{\hbar}(\varepsilon_{L,k} - \varepsilon_d)t_2} e^{-\frac{i}{\hbar}(\varepsilon_d - \varepsilon_{R_2})t_3} e^{-\frac{i}{\hbar}(\varepsilon_{L,k'} - \varepsilon_d)t_4} \hat{a}_{R_1\uparrow}^\dagger \hat{c}_{\uparrow} \hat{a}_{L\uparrow}^\dagger \hat{a}_{R_2\downarrow}^\dagger \hat{c}_{\downarrow} \hat{a}_{L\downarrow}^\dagger \hat{a}_{L,k'\downarrow}^\dagger (\hat{a}_{L,k\uparrow}^\dagger \hat{a}_{L,k'\downarrow}^\dagger |0\rangle) \\ &= \frac{V_L^{*2} V_{R_1} V_{R_2} \exp[-\frac{i}{\hbar}(2E_L - \varepsilon_{R_1} - \varepsilon_{R_2})t]}{(\varepsilon_{L,k} - \varepsilon_d)(\varepsilon_{L,k'} - \varepsilon_{R_2})(2E_L - \varepsilon_d - \varepsilon_{R_2})(2E_L - \varepsilon_{R_1} - \varepsilon_{R_2})} \hat{a}_{R_1\uparrow}^\dagger \hat{a}_{R_2\downarrow}^\dagger |0\rangle \quad (37-3) \end{aligned}$$

قوانين آسانی وجود دارد که اجزاء می دهد نتایج بالا از نمایش نموداری شکل (7-3) به طور ساده به شکل زیر نوشته شود

۱)  $\varepsilon_i \equiv \varepsilon_{L,k} + \varepsilon_{L,k'} = 2E_L$  انرژی حالت اولیه

۲)  $\varepsilon_f \equiv \varepsilon_{R_1} + \varepsilon_{R_2}$  انرژی حالت نهایی

۳)  $V_L^{*2} V_{R_1} V_{R_2}$  صورت کسر

- ۴)  $\exp\left[-\frac{i}{\hbar}(\varepsilon_i - \varepsilon_f)t\right]$  صورت کسر
- ۵)  $(\varepsilon_i - \varepsilon_{i_4+})(\varepsilon_i - \varepsilon_{i_3+})(\varepsilon_i - \varepsilon_{i_2+})(\varepsilon_i - \varepsilon_{i_1+})$  مخرج کسر
- ۶)  $\hat{a}_{R_1\uparrow}^\dagger \hat{a}_{R_2\downarrow}^\dagger |0\rangle$  مستقیم  $R_2, R_1$
- ۷)  $-\hat{a}_{R_1\downarrow}^\dagger \hat{a}_{R_2\uparrow}^\dagger |0\rangle$  مبادله  $R_2, R_1$

رابطه بقای انرژی  $\varepsilon_f - \varepsilon_i$  در هر دو صورت نمایی و مخرج هر سهم مسیر ظاهر می شوند. این قسمتهای حفظ انرژی زمانی که به ماتریس  $T$  توجه می کنیم، جابجا می شوند:

$$C = \frac{\exp\left[-\frac{i}{\hbar}(2E_L - \varepsilon_{R_1} - \varepsilon_{R_2})t\right]}{(2E_L - \varepsilon_{R_1} - \varepsilon_{R_2})} \quad (38-3)$$

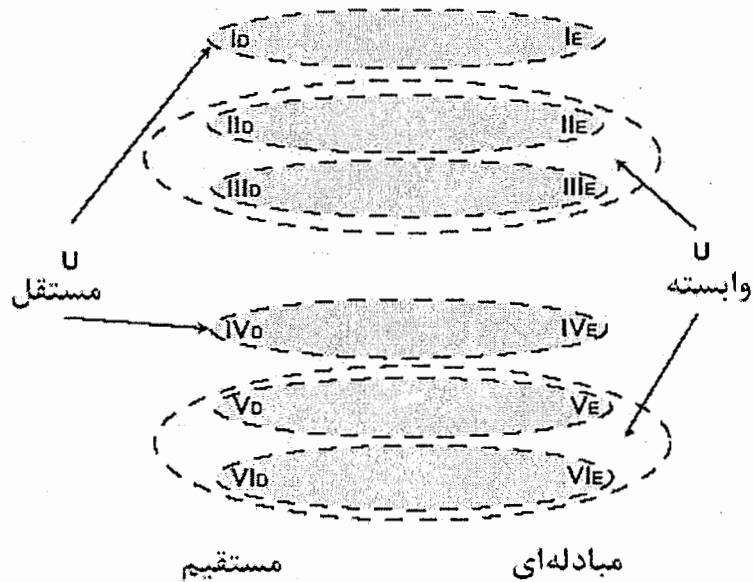
سهم قسمتهای دوازده گانه که در شکل (۷-۳) نشان داده شده است، را می توان به کمک مکانیک کوانتومی بدست آورد [۲۰]. بطور نمونه وار سهم مسیر مستقیم I (ID) را می نویسیم:

$$\hat{S}_{ID}^{(4)} |\Phi_i\rangle = C \frac{V_L^{*2} V_{R_1} V_{R_2}}{(\varepsilon_{L,k'} - \varepsilon_d)(\varepsilon_{L,k'} - \varepsilon_{R_2})(2E_L - \varepsilon_d - \varepsilon_{R_2})} \hat{a}_{R_1\uparrow}^\dagger \hat{a}_{R_2\downarrow}^\dagger |0\rangle \quad (39-3)$$

و مسیر مستقیم IV یعنی IVD نیز به صورت زیر می باشد:

$$\hat{S}_{IVD}^{(4)} |\Phi_i\rangle = C \frac{V_L^{*2} V_{R_1} V_{R_2}}{(\varepsilon_{L,k} - \varepsilon_d)(\varepsilon_{L,k} - \varepsilon_{R_1})(2E_L - \varepsilon_d - \varepsilon_{R_1})} \hat{a}_{R_1\uparrow}^\dagger \hat{a}_{R_2\downarrow}^\dagger |0\rangle \quad (40-3)$$

در نهایت باید این دوازده سهم را با هم جمع کنیم. راههای زیادی وجود دارد که بتوان این مجموع را تشکیل داد. راهی که در فصل بعد اتخاذ شده سهمهای مبادله شده و مستقیم از هر مسیر جداگانه را جمع می کند. نتایج می توانند بر حسب یک تک سهم یا یک سهم سه گانه نوشته شوند. با استفاده از این روش می توان طریقه ای را که در آن مسیرهای خاص به طور ویرانگر برای حذف مورد چندگانه تداخل می کنند و طریقه ای که در آن دهانه ها برای تک حالت خروجی تداخل سازنده می کنند را نشان داد. بعلاوه این راه بطور ساده برای تفسیر ماتریس انتقال یگانه و چندگانه مفید است.



شکل (۸-۳): روش مجموع برای شش مسیر مستقیم و شش مسیر مبادله‌ای. نسخه‌های مستقیم و مبادله‌ای هر مسیر به طور مستقل با هم جمع می‌شوند. چهار قسمت از شش قسمت به انرژی بار U بستگی دارند.

#### ۴-۳-۴- مجموع سهم‌های مستقیم و مبادله شده برای هر مسیر در نقطه $\langle n \rangle$

مجموع سهم‌های مستقیم و مبادله شده برای هر مسیر را با توجه به شکل (۸-۳) بدست می‌آوریم. بعنوان یک مثال خاص، به محاسبه برای قسمت مستقیم مسیر  $I_D$  و قسمت مبادله‌ای آن مسیر  $I_E$  می‌پردازیم:

$$\begin{aligned} (\hat{S}_{I_D}^{(4)} + \hat{S}_{I_E}^{(4)}) |\Phi_i\rangle &= C \frac{V_L^{*2} V_{R_1} V_{R_2}}{(\varepsilon_{L,k'} - \varepsilon_d)} \times \left[ \frac{1}{(\varepsilon_{L,k'} - \varepsilon_{R_2})(2E_L - \varepsilon_d - \varepsilon_{R_2})} \hat{a}_{R_1\uparrow}^\dagger \hat{a}_{R_2\downarrow}^\dagger |0\rangle \right. \\ &\quad \left. - \frac{1}{(\varepsilon_{L,k'} - \varepsilon_{R_1})(2E_L - \varepsilon_d - \varepsilon_{R_2})} \hat{a}_{R_1\downarrow}^\dagger \hat{a}_{R_2\uparrow}^\dagger |0\rangle \right] \quad (41-3) \\ &\equiv I_D \hat{a}_{R_1\uparrow}^\dagger \hat{a}_{R_2\downarrow}^\dagger |0\rangle - I_E \hat{a}_{R_1\downarrow}^\dagger \hat{a}_{R_2\uparrow}^\dagger |0\rangle \end{aligned}$$

همانطور که می‌دانیم حالت‌های یگانه و سه گانه در یک نمادگذاری خلاصه نویسی را می‌توان به شکل زیر نوشت:

$$|s\rangle \equiv \frac{1}{\sqrt{2}} (\hat{a}_{R_1\uparrow}^\dagger \hat{a}_{R_2\downarrow}^\dagger - \hat{a}_{R_1\downarrow}^\dagger \hat{a}_{R_2\uparrow}^\dagger) |0\rangle \quad (42-3)$$

$$|t\rangle \equiv \frac{1}{\sqrt{2}} (\hat{a}_{R_1\uparrow}^\dagger \hat{a}_{R_2\downarrow}^\dagger + \hat{a}_{R_1\downarrow}^\dagger \hat{a}_{R_2\uparrow}^\dagger) |0\rangle \quad (43-3)$$

آنگاه معادله (41-3) را می توانیم برحسب یک ترکیب زوج و فرد بنویسیم، که سهم های حالتها ی یگانه و چندگانه را نتیجه می دهد:

$$(\hat{S}_{I_D}^{(4)} + \hat{S}_{I_E}^{(4)}) |\Phi_i\rangle = \frac{I_D + I_E}{2} |S\rangle + \frac{I_D - I_E}{2} |T\rangle \quad (44-3)$$

مجددتا با استفاده از مکانیک کوانتومی و قرار دادن  $\epsilon_d = 0$  می توانیم برای شش مسیر مستقیم و مبادله شده، دامنه های انتقال یگانه  $T_s^{(i)} \equiv \langle s | \hat{T} | \Phi_i \rangle$  و دامنه انتقال سه گانه  $T_t^{(i)} \equiv \langle t | \hat{T} | \Phi_i \rangle$  را بدست آوریم، که در آن  $\alpha$  شماره مسیر است. بطوريکه دامنه های انتقال یگانه و سه گانه برای مسیرهای مختلف به صورت زیر درمی آید [۱۲]:

$$T_s^{(I)} = \nu \frac{\sqrt{2}(-\Delta_L E_L + \Delta_R^2)}{(E_L - \Delta_L)(\Delta_L^2 - \Delta_R^2)}, \quad T_t^{(I)} = \nu \frac{-\sqrt{2}\Delta_R}{(\Delta_L^2 - \Delta_R^2)} \quad (45-3)$$

$$T_s^{(II)} = \nu \frac{\sqrt{2}E_L}{(E_L - \Delta_L)(2E_L - U)}, \quad T_t^{(II)} = \nu \frac{-\sqrt{2}\Delta_R}{(2E_L - U)} \quad (46-3)$$

$$T_s^{(III)} = \nu \frac{\sqrt{2}E_L}{(E_L - \Delta_L)(2E_L - U)}, \quad T_t^{(III)} = \nu \frac{-\sqrt{2}\Delta_R}{(2E_L - U)} \quad (47-3)$$

$$T_s^{(IV)} = \nu \frac{\sqrt{2}(\Delta_L E_L + \Delta_R^2)}{(E_L + \Delta_L)(\Delta_L^2 - \Delta_R^2)}, \quad T_t^{(IV)} = \nu \frac{+\sqrt{2}\Delta_R}{(\Delta_L^2 - \Delta_R^2)} \quad (48-3)$$

$$T_s^{(V)} = \nu \frac{\sqrt{2}E_L}{(E_L + \Delta_L)(2E_L - U)}, \quad T_t^{(V)} = \nu \frac{+\sqrt{2}\Delta_R}{(2E_L - U)} \quad (49-3)$$

$$T_s^{(VI)} = \nu \frac{\sqrt{2}E_L}{(E_L + \Delta_L)(2E_L - U)}, \quad T_t^{(VI)} = \nu \frac{-\sqrt{2}\Delta_R}{(2E_L - U)} \quad (50-3)$$

بر دامنه های انتقال از مسیرهای I و IV انرژی کولنی  $U$  تاثیر نمی کند و لذا مستقل از  $U$  هستند، در صورتیکه بر دامنه های انتقال باقیمانده یک انرژی کولنی  $U$  را در مدت رویداد تونل زنی مخصوص اثر

می کند. در اثر طبیعت همدوس فرایند واقعی تونل زنی جهت تولید دامنه انتقال معادل برای تک حالتها نهایی  $T_s = \sum_{i=1}^6 T_i^{(i)}$  و حالتها سه گانه نهایی  $T_s = \sum_{i=1}^6 T_i^{(i)}$ ، مسیرهای شش گانه می توانند با یکدیگر تداخل کنند.

دامنه های انتقال سه گانه از تداخل ویرانگر بدست می آیند. مسیرهای I و IV، مسیرهای II و III و مسیرهای V و VI سهم های سه گانه دارند که حذف می شوند. این حذف مستقل از حضور یا عدم حضور انرژی کولنی U است.

بنابراین فقط دامنه های انتقال تکتایی باقی می مانند. یعنی سهم های تکتایی در طول مسیرهای II و III و در طول مسیرهای V و VI یکسان هستند. ترکیب مستقل از U در (I و IV) وابسته به U در (VI، II، III، V، VI) به دامنه های یگانه منجر می شوند:

$$\sum_{i \in \{I, IV\}} T_s^{(i)} = -\sqrt{2} \frac{2E_L}{E_L^2 - \Delta_L^2} \quad (51-3)$$

$$\sum_{i \in \{II, III, V, VI\}} T_s^{(i)} = \sqrt{2} \frac{2E_L}{E_L^2 - \Delta_L^2} \frac{2E_L}{2E_L - U} \quad (52-3)$$

در غیاب انرژی کولنی دامنه های انتقال یگانه در مسیرهای وابسته به U به طور مخرب و در مسیرهای مستقل از U به طور کامل تداخل می کنند:

$$\left. \sum_{i \in \{I, IV\}} T_s^{(i)} \right|_{U=0} + \left. \sum_{i \in \{II, III, V, VI\}} T_s^{(i)} \right|_{U=0} = -\sqrt{2} \frac{2E_L}{E_L^2 - \Delta_L^2} + \sqrt{2} \frac{2E_L}{E_L^2 - \Delta_L^2} = 0 \quad (53-3)$$

به حال، حضور انرژی کولنی سهم یگانه مسیرهای وابسته به U را درجه بندی می کند (معادله ۳-۶۹). تداخل بین مسیرهای وابسته به U و مستقل از U مخرب باقی می ماند، اما کامل نیست و یک دامنه یگانه در خروجی باقی می گذارد. با درج دوباره ضریب مشترک  $\gamma$ ، دامنه های انتقال به شکل زیر درمی آیند:

$$\langle s | \hat{T} | \Phi_i \rangle = \sqrt{2} V_L^{*2} V_{R_1} V_{R_2} \frac{2E_L}{(E_L^2 - \Delta_R^2)(E_L^2 - \Delta_L^2)} \frac{U}{2E_L - U} \quad (54-3)$$

$$\langle t | \hat{T} | \Phi_i \rangle = 0 \quad (55-3)$$

### ۳-۳-۵- آنالیز مد چندگانه، اسپین مشترک

مورد باقیمانده از تونل زنی مشترک ویژه دو الکترون با اسپین مشترک از داخل یک نقطه کوانتموی خالی، سهمی در جریان تونل زنی ندارد، زیرا مسیرهای مورد بحث در این سهم به طور کامل و ویرانگر تداخل می‌کنند. برای نشان دادن این مسئله حالت ورودی زیر را در نظر می‌گیریم:

$$|\Phi\rangle = \hat{a}_{L,k,\sigma}^\dagger \hat{a}_{L,k',\sigma}'^\dagger |0\rangle \quad (56-3)$$

فقط چهار ترتیب زمانی وجود دارد که در تونل زنی اسپین یکسان دو الکترون از دهانه چپ به دهانه راست از بین نقطه کوانتموی شرکت می‌کنند: که عبارت از سهم‌های مستقیم مسیرهای I و IV (یعنی  $I_D$  و  $IV_D$ ) و سهم‌های مبادله‌ای این دو مسیر (یعنی  $I_E$  و  $IV_E$ ) می‌باشند. این امر به طور مستقیم از فرض نقطه با تک تراز انرژی بدست می‌آید. اصل طرد پائولی، همانطور که در هامیلتونی معادله (۳-۹) آشکار است، اجازه نمی‌دهد که دو الکترون با اسپین مشترک نقطه را اشغال کنند. این فرض که برای نقطه ترازهای دیگری نداریم به طور ذاتی بر این دلالت دارد که ترازهای دیگر نقطه یا قبل اشغال شده اند یا انرژی دوری دارند. این امر از شرکت آنها در فرایند تونل زنی خاص جلوگیری می‌کند.

بنابراین از معادلات (۳۹-۳) و (۴۰-۳) سهم مستقیم مسیرهای  $I_D$  و  $IV_D$  بدست می‌آیند، که دامنه‌های آنها تحت مبادله  $R_1$  و  $R_2$  متقابران هستند. بنابراین از معادلات (۳۹-۳) و (۴۰-۳) دامنه‌های مسیرهای مبادله‌ای  $I_E$  و  $IV_E$  نیز بدست می‌آیند. لذا حالت خروجی به شکل زیر خواهد بود:

$$|\Psi^{(4)}(t)\rangle \propto \hat{a}_{R_1,\sigma}^\dagger \hat{a}_{R_2,\sigma}'^\dagger |0\rangle + \hat{a}_{R_2,\sigma}^\dagger \hat{a}_{R_1,\sigma}'^\dagger |0\rangle = 0 \quad (57-3)$$

و بنابراین سهم تونل زنی مشترک دو الکترون با اسپین یکسان صفر خواهد بود.

### ۳-۳-۶- تفسیر فیزیکی

تفسیر فیزیکی را از ریاضیاتی که به معادله (۵۴-۳) منجر می‌شود می‌توان به صورت زیر توصیف نمود. دو الکترون (با امکان داشتن انرژیهای مختلف) به طور بالقوه از بین نقطه کوانتموی در طول شش مسیر تداخل می‌کنند. الکترونها با عبور از این مسیرهای مختلف می‌توانند با یکدیگر

تداخل کنند. تداخل برای حالت‌های سه گانه ویرانگر و کامل است. این امر که بخاطر آمار فرمی و تمیز ناپذیری بین ترتیب زمانی مستقیم و مبادله می باشد، برای مسیرهای مستقل از U یعنی (I و IV) و مسیرهای وابسته به U یعنی (II ، III ، V,VI) اتفاق می افتد. برای مثال بخاطر تمیزناپذیری در طول مسیرهای مستقل از U یعنی (I و IV) دو الکترون دهانه چپ در طول این مسیرها تداخل می کنند تا حالت‌های خروجی مستقیم ( $\hat{a}_{R_1\uparrow}^\dagger \hat{a}_{R_2\downarrow}^\dagger$ ) و مبادله شده ( $\hat{a}_{R_2\uparrow}^\dagger \hat{a}_{R_1\downarrow}^\dagger$ ) با ضریب یکسان وابسته به انرژی حاصل شوند. رابطه جابجاپذیری الکترون فورا به یک تک حالت  $\left( \hat{a}_{R_1\uparrow}^\dagger \hat{a}_{R_2\downarrow}^\dagger - \hat{a}_{R_1\downarrow}^\dagger \hat{a}_{R_2\uparrow}^\dagger \right) \frac{1}{\sqrt{2}}$  منجر می شود. همین مسئله برای مسیرهای (III ، II) و (V,VI) نیز اتفاق می افتد. فقط حالت‌های تکتایی باقی می مانند که از آنها دامنه های گذار تکتایی وابسته به U و مستقل از U بترتیب از معادله های (۵۱-۳) و (۵۲-۳) نتیجه می شوند. با همان بحث می توان نشان داد که تداخل برای دامنه های انتقال اسپین سه گانه یکسان نیز کامل و ویرانگر است. در هر مورد نیازی به مخلوط کردن مسیرهای مستقل و وابسته به U برای انجام تداخل کامل ویرانگر حالت‌های سه تایی نیست.

# فصل چهارم

## آشکارسازی حالت‌های بدام افتاده

۱-۴- آمار کوانتمی

۲-۴- کلاسیک در مقابل اپتیک کوانتمی

۳-۴- ابزار اپتیک کوانتمی

۴-۴- بررسی حالت‌های بدام افتاده

۵-۴- آنالیز حالت خطی بل

۶-۴- دسته گی و نادسته گی الکترون

## مقدمه

آشکارسازی حالت‌های بدام افتاده اگرچه از نظر مفهوم ساده است، اما از لحاظ ساخت دستگاه‌های مفید بسیار پر دردسر می‌باشد. آنچه که موجب آشکارسازی حالت‌های بدام افتاده می‌شود، در اغلب اوقات تفاوت آمار کوانتومی حالت‌های بدام افتاده می‌باشد. تداخل سنجی شدتی و آنالیزور حالت بل دستگاه‌هایی هستند که در آشکارسازی حالت‌های بدام افتاده بسیار مفید می‌باشند.

### ۴-۱- آمار کوانتومی

ذرات کلاسیکی قابل تمیز هستند و در نتیجه می‌توانند به طور یکتا برچسب بخورند. در مقابل ذرات کوانتومی یکسان به طور ذاتی غیر قابل تمیزند. آنها بوسیله توابع موج توصیف می‌شوند و از اصل عدم قطعیت هایزنبرگ پیروی می‌کنند. برای رفتار ریاضی غیر قابل تمیز بودن ذرات کوانتومی، ابتدا باید حالت‌های ذرات را به دلخواه برچسب بزنیم و سپس به تمام تبدیلات ممکن برچسب توجه کنیم. این مسئله به ما اجازه می‌دهد که تمام مسیرهای ممکن تحول تابع موج را ردیابی کنیم. حالت‌های معنادار فیزیکی از طریق شرط اصلی تقارن و تئوری آمار اسپین معین می‌شوند. یک بوزون (فرمیون)، دارای اسپین صحیح (نیمه صحیح) است و تحت مبادله ذره/برچسب متقارن (پادمتقارن) است<sup>[۶]</sup>. برای مثال، حالت‌های ذره  $\langle \Psi |$  و  $\langle \varphi |$  به طور صحیح طبق روش زیر متقارن (پادمتقارن) هستند.

$$|\Psi\varphi\rangle_{\eta} = \frac{1}{\sqrt{2}} [ |1:\Psi 2:\varphi\rangle + \eta |1:\varphi 2:\Psi\rangle ] \quad (1-4)$$

که در آن  $\alpha$  و  $\beta$  برچسب حالت‌های ذره و  $\pm 1 = \eta$  برای بوزونها(فرمیونها) هستند. قسمت اول بدلخواه سهم مستقیم را طرح می‌کند، در صورتیکه قسمت دوم، که با برچسبهای مبادله مشخص شده است، سهم مبادله ای نامیده می‌شود. یک نتیجه فوری اصل طرد پائولی است:  $|\Psi\rangle_{\eta} = |\Psi\Psi\rangle$  و بنابراین دو فرمیون نمی‌توانند حالت مشترکی را اشغال کنند. به زبان کوانتش دوم معادله (۴-۱) به رابطه جابجایی متقارن(پادمتقارن) برای میدانهای کوانتیزه بوزون (فرمیون) منجر می‌شود:

$$[\hat{a}_\alpha, \hat{a}_\beta^\dagger]_\eta = \hat{a}_\alpha \hat{a}_\beta^\dagger - \eta \hat{a}_\beta^\dagger \hat{a}_\alpha = \delta_{\alpha\beta} \quad (2-4)$$

که در آن  $\alpha$  و  $\beta$  اعداد کوانتومی ذرات را نشان می‌دهند. تقارن ذرات کوانتومی مفاهیم عمیقی برای خواص آمار کوانتومی بوزونها و فرمیونها دربر دارد. توزیع آماری انرژی یک گاز ایده‌آل از بوزونها (فرمیونها) در حالت تعادل از تابع بوز-اینشتن (فرمی-دیراک) تبعیت می‌کنند:

$$f_\eta(E) = \frac{1}{\exp[(E-\mu)/k_B T] - \eta} \quad (3-4)$$

که در آن  $\mu$  پتانسیل الکتروشیمیایی،  $k_B$  ثابت بولتزمن و  $T$  دماس است. یک تفاوت قابل ملاحظه که در دمای صفر ظاهر می‌شود این است که تمام بوزونها در حالت زمینه ماکروسکوپیک مشترکی متراکم می‌شوند، در صورتیکه فرمیونها حالت‌های فضای فاز در دسترسی را پر می‌کنند که بالای انرژی فرمی قرار دارند.

در یک دمای دلخواه، تعداد میانگین ذرات  $\hat{N}_k = \hat{a}_k^\dagger \hat{a}_k$  برای یک تک مد  $k$  در انرژی  $E_k$  در یک منبع دمایی به شکل زیر است:

$$\langle \hat{N}_k \rangle_\eta = f_\eta(E_k) \quad (4-4)$$

افت و خیز در این اشغال می‌تواند بوسیله یک تابع همبستگی مرتبه بالاتر مشخص شود، یعنی انحراف معیار در شماره مد اشغالی، که عبارتست از:

$$\langle [\Delta \hat{N}_k]^2 \rangle_\eta = \langle \hat{N}_k \rangle_\eta \left( 1 + \eta \langle \hat{N}_k \rangle_\eta \right) \quad (5-4)$$

که در آن  $\Delta\hat{N}_k(t) \equiv \hat{N}_k(t) - \langle \hat{N}_k \rangle$  . برای یک منبع مدد بوزون دمایی که افت و خیزهای اشغال مدد غالب را ارائه می‌دهد (با استفاده از  $\eta = +1$ ) داریم:

$$\langle [\Delta\hat{N}_k]^2 \rangle_B = \langle \hat{N}_k \rangle_B \left( 1 + \langle \hat{N}_k \rangle_B \right) \quad (6-4)$$

که یک مثال از القا یا افزایش حالت نهایی بوزون می‌باشد. به همین ترتیب، یک مدد منبع فرمیون دمایی افت و خیزهای اشغال مدد ممنوع شده را ارائه می‌دهد (با استفاده از  $\eta = -1$ ) ،

$$\langle [\Delta\hat{N}_k]^2 \rangle_F = \langle \hat{N}_k \rangle_F \left( 1 - \langle \hat{N}_k \rangle_F \right) \quad (7-4)$$

این نیز یک مثال از فرونشانی حالت نهایی یا پر کردن فضای فاز فرمیون می‌باشد.

در حد واگنی پایین  $\langle \hat{N}_k \rangle_n$  ، اشغالهای فرمیون و بوزون از آمارهای شبه پواسون تبعیت می‌کنند،

چون بسیاری از پدیده‌های کلاسیکی به طور مشابه از آمار شبه پواسون تبعیت می‌کنند، زمانی که فرایندهای نوفه را تشخیص می‌دهیم، استفاده از حد پواسون بعنوان نقطه بازگشت مناسب است. ضریب فانو<sup>۱</sup> مقیاسی از این مسئله می‌باشد:

$$F \equiv \frac{\langle [\Delta\hat{N}_k]^2 \rangle}{\langle \hat{N}_k \rangle} = \begin{cases} 1 + \langle \hat{N}_k \rangle_B & \langle \hat{N}_k \rangle_B \leq 1 \\ 1 & \langle \hat{N}_k \rangle_F \\ 1 - \langle \hat{N}_k \rangle_F & \langle \hat{N}_k \rangle_F > 1 \end{cases} \quad (8-4)$$

ضریب فانو برای یک منبع تعادلی بوزون طرح «بالای پواسون» را نشان می‌دهد، برای اینکه مقدار آن از ضریب فانوی کلاسیکی (پواسون) برای هر  $F$  :  $\langle \hat{N}_k \rangle_F \leq 1$  ، از مورد کلاسیکی آن کوچکتر است. این مثال از آمار کلاسیکی تک مدد، توضیح می‌دهد که توابع همبستگی مرتبه بالاتر، اطلاعاتی را تهیه می‌کنند که در همبستگی مرتبه اول شامل نمی‌شود.

---

<sup>۱</sup> - Fano factor

## ۴-۲- کلاسیک در برابر اپتیک کوانتومی

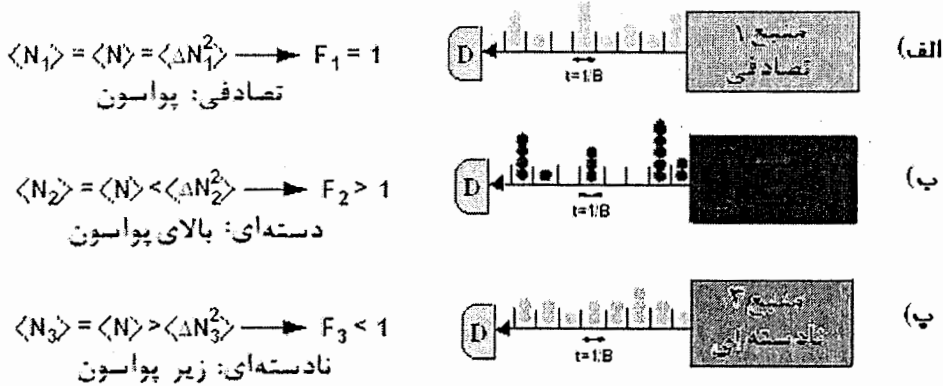
طبیعت موجی یک ذره از طریق یک شدت در حال افزایش (فرونشانی) ذره  $\langle I \rangle$  آشکار خواهد شد که از خودداخلی<sup>۱</sup> سازنده (ویرانگر) نتیجه می‌شود. برای مثال، شدت میدان فوتون منتشر شده، در یک کاواک اپتیکی زمانی افزایش خواهد یافت که طول مسیر گردش کاواک مضرب صحیحی از طول موج فوتون باشد. در این حالت تشدید، در نتیجه تداخل سازنده یک موج ایستاده در کاواک شکل می‌گیرد و شدت میدان گسیل شده که در خروجی اندازه گرفته شده در مقایسه با حالت بدون تشدید افزایش می‌یابد [۲۱]. در یک روش مشابه، طبیعت موجی الکترون می‌تواند از طریق اندازه گیریهای شدت (جريان) الکترون توصیف شود. کانونی کردن، پراش و تشدید کاواک مثالهایی از آثار تداخل موج هستند که به طور واضح در فوتون [۲۲] و سیستمهای الکترون [۲۳] مشاهده می‌شوند. این مسئله که ذره طبیعت موجی هم از خود نشان می‌دهد، مطمئناً از تفسیر مکانیک کوانتومی آن نتیجه می‌شود. به حال، این حقیقت که آثار تداخل موج مشابه می‌تواند برای فوتونها، الکترونها و حتی امواج کلاسیکی مشاهده شود، به طور قوی القا می‌کند که تداخل موج باید بصورت پدیده موجی- اپتیکی کلاسیکی، مستقل از آمار کوانتومی ذره، ملاحظه شود.

از مرتبه بندی طبیعت ذره ای ذرات کوانتومی از طریق همبستگی های شدتی مرتبه بالاتر، می‌توان اطلاعات اضافی را آشکار نمود که از اندازه گیری شدت مرتبه اول بدست نمی‌آید. به طور مستقیم، می‌توان این مسئله را از طریق مثال زیر تصدیق نمود. شکل (۱-۴) سه منبع ذره را نشان می‌دهد. هر کدام ذراتی را منتشر می‌کنند که بعداً در یک اندازه گیری پهنای باند B آشکار می‌شوند. آمار تعداد ذرات (آمار شمارشی) بر پایه تعداد ذرات N اندازه گیری شده در یک بازه زمانی  $\frac{1}{\tau}$

$$N = \frac{I}{eB} \cdot \tau$$

منبع ۱ (شکل ۱-۴) یک منبع تصادفی است که ذرات را در یک روش غیر همبسته گسیل می‌کند. میانگین تعداد ذرات  $\langle N \rangle$  یک توزیع پواسون را نتیجه می‌دهد، در نتیجه، انحراف معیار در

1- Self Interference



شکل(۴-۱) : منابع تصادفی، دسته‌ای، نادسته‌ای. هرمنبع ذراتی را منتشر می کند که بعدا در بازه زمانیکه عکس B پهنه‌ای باند آشکارساز است، شمارش یا آشکارسازی می شوند. اگرچه هر کدام دارای تعداد میانگین ذرات  $\langle N \rangle$  هستند، انحراف معیار  $\langle [\Delta N]^2 \rangle$  می تواند سه منبع را از یکدیگر تمیز دهد. ضریب فانو معیاری است که تفاوت آمار منابع را نشان می دهد [۲۰].

تعداد ذرات  $\langle [\Delta N_1]^2 \rangle$  برابر با تعداد ذرات  $\langle N_1 \rangle$  است و بنابراین ضریب فانو برابر ۱ است،  $F_1 = 1$ .  
 منبع ۲(شکل ۴-۱ب) ذرات را در یک روش دسته‌ای<sup>۱</sup> گسیل می کند. اگر چه میانگین تعداد ذرات برابر با منبع ۱ است،  $\langle N_2 \rangle \equiv \langle N_1 \rangle$  اما  $\langle [\Delta N_2]^2 \rangle$  بزرگتر از میانگین است و ضریب فانو بزرگتر از ۱ است،  $F_2 > 1$ . در مقابل منبع ۳(شکل ۴-۱پ) یک منبع نادسته‌ای<sup>۲</sup> است. بنابراین میانگین تعداد ذرات مساوی با منبع ۱ و ۲ است،  $\langle N_3 \rangle = \langle N_1 \rangle$  اما چون یک منبع نادسته‌ای است، انحراف معیار آن کوچکتر از میانگین است. ضریب فانو برای منبع ۳ از واحد کوچکتر است،  $F_3 < 1$ .

روشن است که با اندازه گیری میانگین تعداد ذرات (شدت) نمی توان این سه منبع را از یکدیگر تمیز داد. اما از اندازه گیری انحراف معیار تعداد ذرات (شدت) سه مورد، از یکدیگر متفاوت خواهد

<sup>۱</sup>-Bunch  
<sup>۲</sup>-Anti bunch

شده. علاوه بر این از این مثال اثبات می شود که با استفاده از توابع همبستگی مرتبه بالاتر، روش‌های اپتیک کوانتومی، می‌توان اطلاعات مربوط به طبیعت آماری یک منبع را آشکار نمود. ظاهرا، میانگینها اطلاعاتی درباره شار ذرات به طور انبوه بدست می‌دهند. در صورتیکه انحراف معیارها شامل اطلاعاتی درباره تغییر شار ذرات با زمان می‌شوند. این تفسیر منطقی است، برای اینکه انحراف معیار یک مثال ویژه از یک تابع همبستگی دو زمانه کلی‌تر است:

$$\langle \Delta N_\alpha(0) \Delta N_\beta(\tau) \rangle \xrightarrow{\tau=0, \alpha=\beta} \langle [\Delta N_\alpha]^2 \rangle \quad (9-4)$$

که در آن  $\Delta N(t) = N(t) - \langle N \rangle$  و  $\alpha, \beta$  مکان آشکارسازها،  $\tau$  یک زمان تاخیر نسبی است، و ایستایی فرض شده است. برای انحراف معیار، فقط یک تک آشکارساز وجود دارد و زمان تاخیری نداریم. اگرچه در مثال ذکر شده، از آمار شمارشی استفاده می‌شود، اما همان منطق برای توابع همبستگی شدت نیز بکار می‌رود. برای مثال:

$$\langle \Delta I_\alpha(0) \Delta I_\beta(\tau) \rangle \xrightarrow{\tau=0, \alpha=\beta} \langle [\Delta I_\alpha]^2 \rangle \quad (10-4)$$

مهم است تاکید کنیم که از اندازه گیری انحراف معیار، فقط اطلاعاتی درباره منبع بدست می‌آید که به کمک آن فقط می‌توان ضریب فانوی منبع را تعیین نمود. اگر آن منبع یک منبع دمای تعادل باشد، آنگاه از اندازه گیری ضریب فانو که در شکل (۱-۴) توضیح داده شده است می‌توان آمار کوانتومی ذرات این منبع تعادلی را نیز تعیین نمود. این نوع اندازه گیری ضریب فانو برای یک منبع دمایی فوتون بوسیله هانبوری براون و توایس<sup>۱</sup> در سال ۱۹۵۶ نشان داده شده است [۲۳].

---

<sup>۱</sup>- Hanbury – Brown and Twiss

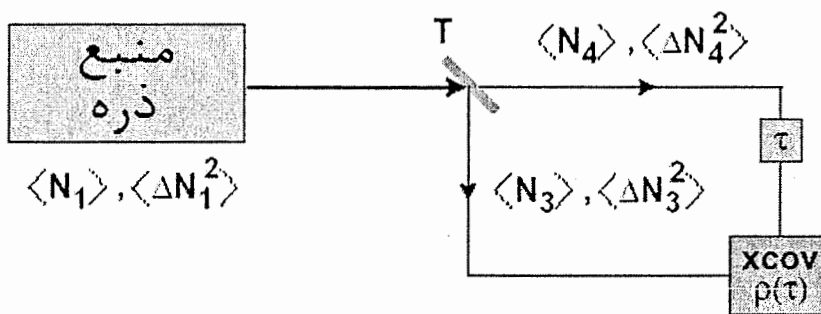
### ۴-۳-۴- ابزار اپتیک کوانتمومی

#### ۴-۱-۳-۴- آزمایش هانبوری براون و توایس

آزمایش هانبوری براون و توایس (HBT) وسیله‌ای برای تعیین ضریب فانوی یک منبع ذره ارائه می‌دهد که در آن از یک همبسته کننده دو زمانه استفاده می‌شود. این وسیله در ابتدا بعنوان یک وسیله تداخل سنجی تازه برای تعیین قطر ستارگان تصور می‌شد، اما آزمایش HBT امروزه بخوبی بعنوان اولین اثبات تجربی دسته‌ای بودن فوتون شناخته شده است.

یک نمایش نموداری از یک تداخل سنج شدتی HBT در شکل (۲-۴) نشان داده شده است. یک منبع

ذره با تعداد ذره  $\langle N_1 \rangle$ ، انحراف معیار  $\langle [\Delta N_1]^2 \rangle$  و ضریب فانوی  $\rho_1$  به داخل بازوی ۱ پرتوشکاف



$$F_1 = \frac{\langle \Delta N_1^2 \rangle}{\langle N_1 \rangle} = \frac{1 + \rho(0)}{1 - \rho(0)}$$

شکل (۲-۴): طرح کلی یک تداخل سنج شدتی هانبوری براون و توایس. منبع ذرات دارای مقدار میانگین  $\langle N_1 \rangle$  با انحراف معیار  $\langle [\Delta N_1]^2 \rangle$  که ضریب فانوی  $\rho_1$  برای منبع نتیجه می‌دهد. ذرات از مسیر ۱ پرتوشکاف که با احتمال عبور  $T$  و بازتاب  $R = 1 - T$  مشخص می‌شود، وارد می‌شوند. ذرات جزئی شده از طریق مسیرهای ۳ و ۴ عبور می‌کنند. یک زمان نسبی تاخیری  $\tau$  بین دو مسیر خروجی وجود دارد. خروجیها وارد یک همبسته کننده می‌شوند که کمیت  $(\tau)$  را تولید می‌کند. کمیت  $(\tau)$  بدون زمان تاخیری  $(0)$  در ضریب فانوی منبع یک به یک است و لذا، اندازه گیری مستقیم ضریب فانوی منبع را ممکن می‌سازد [۲۰].

منتشر می شود. ذراتی که به پرتوشکاف برخورد می کنند، دارای احتمال بازتاب  $T-1$  برای بازوی ۳ و یک احتمال  $T$  برای گسیل به بازوی ۴ می باشند. یک زمان تاخیر  $\tau$  وجود دارد که قبل از اینکه شارهای دو ذره همبسته شوند، بین دو بازو وجود می آید. نتیجه یک صورت بهنجار است.

کمیت  $(\tau)\rho$  به شکل زیر درمی آید:

$$\rho(\tau) \equiv \frac{\langle \Delta N_3(0) \Delta N_4(\tau) \rangle}{\langle [\Delta N_3]^2 \rangle^{\frac{1}{2}} \langle [\Delta N_4]^2 \rangle^{\frac{1}{2}}} \xrightarrow{\tau=0, T=\frac{1}{2}} \frac{F_1 - 1}{F_1 + 1} \quad (11-4)$$

که در آن ایستایی فرض شده است. نتیجه قابل ملاحظه این است که کمیت  $(\tau)\rho$  بدون زمان تاخیری

یعنی  $(0)\rho$  در منبعی با ضریب فانوی  $F_1$  برای یک پرتوشکاف  $T = \frac{1}{2}$  یک تابع یک به یک است.

مجدداً، نتیجه برای شدت‌ها یکسان است:

$$\rho(\tau) \equiv \frac{\langle \Delta I_3(0) \Delta I_4(\tau) \rangle}{\langle [\Delta I_3]^2 \rangle^{\frac{1}{2}} \langle [\Delta I_4]^2 \rangle^{\frac{1}{2}}} \xrightarrow{\tau=0, T=\frac{1}{2}} \frac{F_1 - 1}{F_1 + 1} = \rho(0) \quad (12-4)$$

بنابراین یک تداخل سنج شدی ممکن است برای اندازه گیری مستقیم ضریب فانوی یک منبع

ناشناخته بکار رود:

$$F_1 = \frac{1 + \rho(0)}{1 - \rho(0)} \quad (13-4)$$

بر حسب سه نوع از منابع ملاحظه شده در شکل (۱۱-۴) ممکن است اندازه گیری  $(0)\rho$  (روی تقسیم

خط ذره در یک پرتوشکاف) برای تعیین ضریب های فانوی منبع بکار رود،

$$\rho(0) \rightarrow \begin{cases} \rho(0) > 0 \rightarrow F > 1 \\ \rho(0) = 0 \rightarrow F = 1 \\ \rho(0) < 0 \rightarrow 0 \leq F < 1 \end{cases} \quad (14-3)$$

هانبوری براون و توایس یک همبستگی مثبت را در آنالیز تداخل سنجی فوتونهای یک لامپ قوس جیوه اندازه گرفتند [۲۳]. به این دلیل که لامپ را ممکن است به صورت یک منبع فوتون دمایی در نظر گرفت (یک منبع نور بی نظم)، آنها همچنین توانستند نتیجه بگیرند که همبستگی مثبت ناشی از

توزیع کوانتومی بوز-اینشتین است. به طور خلاصه، پورسل<sup>۱</sup> توجه کرد که یک آزمایش معادل که یک منبع دمایی از فرمیونهای مستقل را مورد استفاده قرار می‌دهد، باید یک همبستگی منفی ناشی از توزیع فرمی-دیراک را ارائه دهد[۲۴].

تداخل سنجی شدت نوفه منبع مذبور را درجه بندی می‌کند. اگر آن منبع یک منبع دمایی باشد، آنگاه می‌توان نوع ذره کوانتومی را از  $(0)$  m نتیجه گرفت. به حال تاکید می‌کنیم که این نتیجه برای منابع ذره دلخواه معتبر نیست. در برهمکنشهای میان ذرات، آمار کوانتومی ممکن است در تعیین نوع همبستگی‌های مشاهده شده نقش داشته باشد (برای مثال، برهمکنشهای مثبت بین جریانهای الکترونی ناشی از برهمکنش کولنی)[۲۵،۲۶]. در مورد ذرات بدون برهمکنش، منابعی وجود دارند که برای مثال فوتونهای تک ردیف با آمار زیر پواسون، با نام نور غیر کلاسیکی تولید می‌کنند[۲۷،۲۸،۲۹]، بنابراین آزمایش تداخل سنجی چنین منبعی یک  $(0)$  m منفی را نتیجه می‌دهد[۳۰،۳۱]. برای تعیین مستقیم آمار کوانتومی یک ذره، باید صریحاً سهم‌های نوفه دو ذره که در برخورد یکسان غیر برهمکنشی ذرات رخ می‌دهد را بررسی کنیم.

#### ۴-۳-۲- آنالیز برخورد الکترون

پراکندگی دو ذره (یا بیشتر) بوسیله شرط تقارن از طریق تداخل سهم مستقیم و مبادله ای تحت تاثیر قرار می‌گیرد. به دو بوزون (فرمیون) یکسان توجه کنید که در یک پرتوشکاف ۵۰\۱۵۰ همانطور که در شکل (۴-۳) نشان داده شده است، برخورد می‌کنند. در مورد بوزون (شکل ۴-۳الف)، که سهم‌های مستقیم و مبادله ای معادله (۴-۱) به طور سازنده تداخل می‌کنند، احتمال اینکه حالت نهایی یک حالت خروجی دسته ای دو ذره ای باشد، در حال افزایش است. این اثر اولین بار در سال ۱۹۸۷ بوسیله هانک، او، و مندل<sup>۲</sup> نشان داده شد. آنها دو فوتون توأم، که به طور همزمان بوسیله یک روش تبدیل پایین تولید شده بود را بکار بردند[۳۲]. این مسئله اخیراً برای فوتونهای یکسان که از

<sup>۱</sup> - Purcell

<sup>۲</sup> - Hong , Ou , and Mandel



شکل(۳-۴): برخورد دو ذره در پرتوشکاف ۵۰/۵۰ الف) دو بوزون یکسان در پرتوشکاف ۵۰/۵۰ برخورد می کنند و بدليل شرط اصلی تقارن، یک احتمال رو به افزایش برای دسته شدن در خروجی دارند. ب) دو فرمیون یکسان برخورد می کنند و یک احتمال رو به افزایش برای نادسته شدن دارند. پ) برخورد کلاسیکی با جزء بندی تک ذره ناهمبسته است [۲۰].

یک منبع تک فوتون گسیل می شوند، ثابت شده است [۳۳]. از طرف دیگر، در مورد فرمیونها (شکل ۳-۴-ب) برای خروجی دسته ای یک تداخل ویرانگر وجود دارد (بنا به اصل طرد پائولی). البته قسمتهای مستقیم و مبالغه ای برای یک خروجی غیر دسته ای تداخل سازنده دارند. مکمل الکترون برای آزمایش هانک، او، و مندل اولین بار بوسیله لیو<sup>۱</sup> و دیگران در یک نیمرسانی مزوسکوپیک ساختار ناهمگون استفاده شد [۳۴]. برخلاف ذرات کوانتمویی، ذرات کلاسیکی در یک روش مستقل تقسیم می شوند (شکل ۳-۴-پ).

با بحث قبلی از منابع تعادل گرمایی، این مثال ساده نشان می دهد که شرط تقارن مبدا اثر «القای حالت نهایی» بوزون و «فرونشانی حالت نهایی» فرمیون یا اثر «پرکردن فضای فاز» می باشد. این نتیجه شگفت انگیز نیست، زیرا فرایندها شامل روشی برای ایجاد (و حفظ) تعادل دمایی است، که به طور یقین شامل برخورد دو ذره است.

<sup>۱</sup>-Liu

### ۴-۳-۳- تعمیم به حالت‌های دلخواه از آمار دلخواه

تداخل سنجی شدت و تحلیل برخورد با هم یک مجموعه دستگاه اپتیک کوانتمی را تشکیل می‌دهند که از آن می‌توان برای تشخیص یک منبع دلخواه از ذرات یا حالت‌های کوانتمی با آمار کوانتمی دلخواه (اما ثابت) استفاده نمود: تداخل سنجی شدت ضریب فانوی یک منبع از چنین ذراتی را اندازه می‌گیرد و آنالیزور به طور صریح آمار کوانتمی ذرات یا حالتها را از چنین منبعی آشکار می‌کند. یک کاربرد از دستگاه حاضر در این پایان نامه تشخیص حالت‌های سه گانه اسپین و تکتایی اسپین الکترون به دام افتاده است که در همین فصل آنرا بررسی می‌کنیم. اما قبل از آن این حالت‌های کوانتمی را به طور خلاصه بررسی می‌کنیم.

### ۴-۴- بررسی حالت‌های به دام افتاده اسپین

ذرات کوانتمی یکسان و غیر قابل تشخیص هستند و این مسئله اغلب به طور واضح به رفتار غیرکلاسیکی منجر می‌شود. حالت‌های تکتایی و سه گانه مثالهایی نمونه از دو ذره به دام افتاده دو بعدی هستند [۲۰]،

$$|\Psi_{\pm}\rangle = \frac{1}{\sqrt{2}} [ |1_A 2_B\rangle \pm \eta |2_A 1_B\rangle ] \otimes \frac{1}{\sqrt{2}} [ |\uparrow_A \downarrow_B\rangle \pm |\downarrow_A \uparrow_B\rangle ] \quad (15-4)$$

$$|\Phi_{\pm}\rangle = \frac{1}{\sqrt{2}} [ |1_A 2_B\rangle + \eta |2_A 1_B\rangle ] \otimes \frac{1}{\sqrt{2}} [ |\uparrow_A \uparrow_B\rangle \pm |\downarrow_A \downarrow_B\rangle ] \quad (16-4)$$

که در آن ۱ و ۲ اربیتال یا مدهای فضایی نامیده می‌شوند که مربوط به ورودیهای مسیرهای پرتوشکاف می‌باشد.  $\uparrow$  و  $\downarrow$  درجه آزادی قطبش یا اسپین هستند،  $A$  و  $B$  برچسبهای مد هستند و  $\eta = \pm 1$  مربوط به بوزونها (فرمیونها) می‌باشد.

رفتار ویژه غیر جایگزیده چنین حالت‌های اینشنن پادولسکی روزن (EPR) به بحث معروف بین اینشنن و بوهر درباره اعتبار و کامل بودن مکانیک کوانتمی منجر شد [۱۵]. همانطور که در فصل دوم بیان شد، در اصل حالت تک اسپین  $\langle \Psi_- | \Psi_- \rangle$  زمانی که حول فقط یکی از پایه‌های اسپین چرخش داشته باشد، تک اسپین باقی می‌ماند. به حال، زمانیکه اندازه گیری در یک پایه بخصوص انجام می‌شود، آنگاه از اندازه گیری حالت فضایی  $\langle \Psi_- | \Psi_- \rangle$  در همان پایه نتیجه می‌شود، که ذره مد ۲ به طور همزمان

در اسپین مخالف قرار دارد. اگر ذرات دارای جدایی فضایی باشند اینشنون می پرسد، چگونه یک انتخاب تصادفی از پایه های اندازه گیری می تواند به طور فوق نوری انتقال یابد؟ [۱۵] حالت فضایی که در معادله (۱۵-۴) توصیف شده ، باستانی یک یا چند متغیر پنهان برای ساختن چنین ارتباطی، شاید ظاهرا ناقص است

اینها و چند خاصیت دیگر از حالتها ب دام افتاده با جزئیات بیشتر بوسیله یوهم مطالعه شده است [۱۵]. بطور خلاصه پس از آن، جان بل نامساوی شناخته شده بل را فرمولبندی کرد، که در واقع یک بحث احتمال کلاسیکی درباره آشکارسازی کلاسیکی زوجهای EPR ، شامل احتمال وجود متغیرهای پنهانی [۱۵] امی باشد که در فصل دوم به طور خلاصه ذکر شد. نقض این نامساوی یک اثبات تئوری کوانتمی است که به طور تجربی نشان داده شده است [۶،۱۵].

هیچ آزمایش تجربی تا کنون پیش بینی های مکانیک کوانتمی را نقض نکرده است. با تأکید استفاده از حالتها EPR در معادلات (۱۵-۴) و (۱۶-۴) برای نقض نامساوی بل، این حالتها، حالتها بل نامیده می شوند [۸]. حالتها بل ساده ترین و دقیق ترین مثال مطالعه شده از حالتها ب دام افتاده است. در حالت کلی، دو ذره با اسپین  $\frac{1}{2}$  ممکن است به شکل یک حالت ب دام افتاده باشد.

فوتونها ذرات با اسپین ۱ هستند، اما بدلیل اینکه بدون جرم هستند، فقط دو قطبش عرضی دارند (فوتونهای طولی وجود ندارند). حالت بل مثالی از بدام اندازی  $(2 \times 2)$  است: یعنی دو ذره، که هر کدام یک فضای اسپین دو بعدی دارند. اما بدام اندازی با بیش از دو ذره و یا در ابعاد بالاتر بخوبی مطالعه نشده است. حالتای GHZ و W مثالهایی از بدام اندازی  $(3 \times 2)$  یعنی سه ذره با دو بعد هستند [۳۵]. از مشدد اپتیکی می توان برای انجام بدام اندازی  $(2 \times 3)$  استفاده نمود، که در آن دو مد خروجی و سه مولقه تکانه زاویه ای اریتالی عرضی انتخاب شده است [۳۶]. به طور واضح، در مورد ب دام اندازی چند ذره ای و یا ب دام اندازی ابعاد بالاتر، سیستمهایی با تعداد زیاد ذرات و تعداد زیادی حالتها تکانه زاویه ای برای ایجاد ب دام اندازی ( $m \times n$ ) بکار می روند. در واقع، از یک شبیه پیوستار از الکترونها نیز می توان حداقل، برای ایجاد هر دو ب دام اندازی  $(n \times 2)$  و  $(n \times m)$  استفاده نموند. بهر حال، تولید،

اعتبار و حتی عمر چنین حالتهایی بسیار بزرگ تجربی را در پی دارند. در مجموع، مانند حالتهایی که قبلاً ذکر شد، خواص چنین بدام اندازی با ابعاد بالاتر هنوز دسته بنده نشده است. محدود کردن تعداد ذرات (مدها) و یا زیرفضای اسپین چنین ذراتی پیچیدگی بدام اندازی را کاهش می‌دهد و به ما اجازه می‌دهد که به موارد ساده‌تر برای مثال  $n$  نسخه از به دام اندازی ( $2 \times 2$ ) بازگردیم.

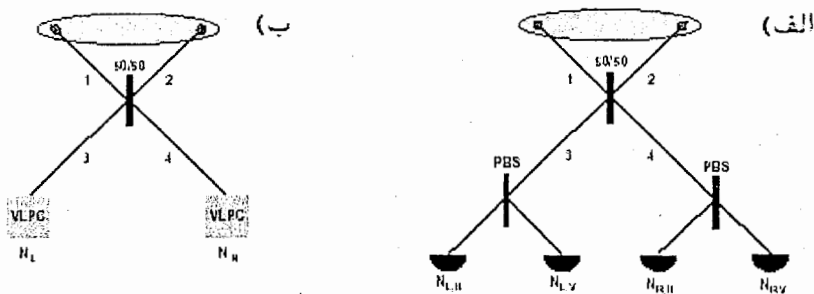
#### ۴-۵- تحلیل حالت خطی بل

در اپتیک تشخیص حالتهای بل در معادلات (۱۵-۴) و (۱۶-۴) به طور نوعی از طریق استفاده از آنالیزور خطی حالت بل انجام می‌شود همانطور که در شکل (۴-۴ الف) نشان داده شده است. اساساً آنالیزور حالت بل از دو مولفه: یک آنالیزور برخورد و یک وسیله برای تفسیر خروجی بعد از برخورد تشکیل شده است. حالت بل با خودش در یک پرتو شکاف فضایی برخورد می‌کند و به دو خروجی ۳ و ۴ پراکنده می‌شود. فوتونهای پراکنده شده سپس به سمت پرتوشکافهای قطبش<sup>۱</sup> (PBS) فرستاده می‌شوند، آنگاه خروجیهای هر کدام با استفاده از فوتودیودهای بهمنی<sup>۲</sup> (APDS) یا لوله‌های فوتومولتی پلیمر<sup>۳</sup> (PMTS) آشکار می‌شوند. از همبستگی‌های بین فرودیهای منتج  $N_{L,V}$ ،  $N_{L,H}$  و  $N_{R,V}$ ،  $N_{R,H}$  امکان تشخیص حالتهای بدست می‌آید. بدلیل اینکه فقط از اپتیک خطی استفاده شده است، بازده این روش به طور بیشینه فقط ۵۰٪ است [۳۷، ۳۸]. یک نتیجه این است که این آنالیزور می‌تواند حالت  $\langle \Psi_{\pm} | \Psi_{\pm} \rangle$  را در معادله (۱۵-۴) تشخیص و آشکارسازی کند اما نمی‌تواند حالت  $\langle \Phi_{\pm} | \Phi_{\pm} \rangle$  در معادله (۱۶-۴) را تمیز دهد. چنین بدام اندازی برای اهداف این فصل کافی است، زیرا به دام اندازی که در فصل ۲ ارائه شد، باید حالتهای به دام افتاده ای را منتشر کند، که شامل اسپینهای متفاوت باشد. در حالت کلی، برای دستیابی به یک آنالیزور حالت بل با بازده ۱۰۰٪ باید به اپتیک غیر خطی متولّ شد. این خیلی شگفت‌انگیز نیست: به یک آنالیزور حالت بل ممکن است بعنوان یک غیر

<sup>۱</sup> - Polarization Beamsplitters

<sup>۲</sup>- Avalanche Photodiodes

<sup>۳</sup> - Photomultiplier Tubes



شکل(۴-۴) : الف) آنالیزور حالت خطی بل. یک حالت بدام افتاده در یک پرتوشکاف برخورد می کند و به مسیرهای خروجی ۳ و ۴ پراکنده می شود. فوتودیودهای بهمنی یا فوتومولتی پلیرها نمی توانند فوتونهای فرودی ۱ و ۲ را تمیز دهند، پس پرتوشکافهای قطبش (PBS) برای جداسازی قطبشهای H و V استفاده می شوند. همبستگیهای شمارش های فرودی  $N_{R,V}$  یک آنالیزور حالت بل با اپتیک خطی را تشکیل می دهند. ب) استفاده از شمارندهای نور مرئی (VLPC) امکان اندازه گیری حالت تک فوتونی و دو فوتونی بدست می آید. همبستگی تعداد ذرات فرودی  $N_R$  و  $N_L$  یک آنالیزور حالت بل را تشکیل می دهند، بدون اینکه به پرتوشکافهای قطبش نیاز داشته باشد [۲۰].

بدام انداز توجه نمود و طبق آنچه در فصل ۱ بحث شد، یک برهمنکنش غیر خطی برای انجام بدام اندازی مورد نیاز است.

#### ۴-۵-۱-آنالیز برخورد الکترون

آزمایش تداخل سنج شدتی HBT که قبلا بحث شد، یک ابزار مفید برای درجه بندی نوفه یک منبع معین است. اگر آن منبع یک منبع واگن دمایی باشد، آنگاه می توان نوع ذره، فرمیون یا بوزون را از  $(0)$  m نتیجه گرفت. اما این برای منابع با نوفه دلخواه درست نیست. برای مثال، یک دستگاه گردان<sup>۱</sup> تک فوتونی یک منبع مهندسی فوتونهای تک ردیف خاموش است [۳۱، ۳۰، ۲۹]. از یک اندازه گیری HBT از این منبع یک  $(0)$  m منفی نتیجه خواهد شد. برای تعیین مستقیم طبیعت آماری ذرات کوانتومی (یا حالت‌های کوانتومی) باید سهم های نوفه دو ذره را بررسی کنیم [۳۹، ۴۰]. چنین

<sup>۱</sup>- turnstile

سهم هایی از برخورد ذرات ناشی می شوند [۳۴، ۳۲].

## ذرات یکسان

برای مثال، به مورد دو بوزون (فرمیون) یکسان توجه کنید. ذرات دارای قطبش یا اسپین یکسان هستند. تقارن، حالتها را ملزم می کند که این ذرات کوانتموی باید تحت مبادله ذره متقارن (پادمتقارن) باشند. این امر مستقیماً به حالت زیر منجر می شود:

$$|\Psi_{in}\rangle = \frac{1}{\sqrt{2}}(|1_A 2_B\rangle \pm |2_A 1_B\rangle) \otimes |\sigma_A \sigma_B\rangle \quad (17-4)$$

که در آن A و B برجسب ذرات، ۱ و ۲ مسیر ورودی مدهای پرتوشکاف در انرژی مشترک E و σ مربوط به قطبش (اسپین) است. حالت اربیتالی به طور لازم برای بوزونها (فرمیونها) متقارن (پادمتقارن) است چون حالت اسپین متقارن است. یک پرتوشکاف فضایی روی زیر فضای اربیتال منحصراً مطابق رابطه ماتریسی پراکندگی زیر عمل می کند،

$$\begin{pmatrix} |3\rangle \\ |4\rangle \end{pmatrix} = \begin{pmatrix} r & t \\ t & r \end{pmatrix} \begin{pmatrix} |1\rangle \\ |2\rangle \end{pmatrix} \quad (18-4)$$

یکانی بودن نیاز به این دارد که  $T = \frac{1}{2}$  با فرض  $rt^* + tr^* = 0$  و  $|r|^2 + |t|^2 \equiv R + T = 1$  نتیجه می

شود [۴۱]

$$|\Psi_{out}\rangle_{boson} = \frac{1}{\sqrt{2}}(|3_A 3_B\rangle + |4_A 4_B\rangle) \otimes |\sigma_A \sigma_B\rangle \quad (19-4)$$

$$|\Psi_{out}\rangle_{fermion} = \frac{1}{\sqrt{2}}(|3_A 4_B\rangle - |4_A 3_B\rangle) \otimes |\sigma_A \sigma_B\rangle \quad (20-4)$$

که در آن ۳ و ۴ مربوط به مدهای مسیر خروجی در انرژی مشترک E هستند و ضریب های فاز کلی حذف شده اند. روشن است که بوزونهای یکسان (فرمیونها) روی برخورد دسته (باز) می شوند. در مقابل، دو ذره کلاسیکی به طور مستقل داخل یک ترکیب آماری از خروجی های دسته شده و دسته ناشده (سهم استاندارد نویه) پراکنده می شوند. در تمام این سه مورد، میانگین تعداد ذرات در خروجی

یک است. بهر حال، ضریب فانو بعد از برخورد سه مورد را از هم مشخص می کند:  $\mathcal{F}_3 = \frac{1}{2}$  برای ذرات کلاسیک،  $\mathcal{F}_3 = 1$  برای بوزونها (دسته شده) و  $\mathcal{F}_3 = 0$  برای فرمیونها (دسته نشده) می باشد.

همانطور که قبلاً اشاره شد، دسته شدن فوتونهای یکسان در نتیجه برخورد اولین بار توسط هانگ او، نشان داده شد و مندل تبدیل پارامتری را بعنوان منبع جفت فوتون بکار برد [۳۲]. این آزمایش اخیراً با استفاده از فوتونهای یکسانی تکرار شده است، که از یک دستگاه گردان تک فوتونی تولید می شوند [۳۳]. استفاده از پرتو الکترونی به برخورد دو الکترون یکسان در پرتو شکاف الکترون منجر می گردد، که از نا دسته گی الکترون نتیجه می شود [۳۴]. در هر مورد طبیعت آمار کوانتومی ذرات تشکیل دهنده ای که در برخورد شرکت می کنند، تقارن تابع موج اربیتالی را تعیین می کنند، که روی پرتو شکاف فضایی عمل می کند. تقارن اربیتالی، به نوبه خود، تداخل دو ذره را در پرتو شکاف، و در نتیجه سهم نوفه را در مسیرهای خروجی بعد از برخورد تعیین می کند. این مفهوم را می توان برای تحلیل و تشخیص هر حالت ورودی دو ذره ای، شامل حالت‌های به دام افتاده تعمیم داد.

### ذرات بهام افتاده

همانطور که در بالا بیان شد، برخورد حالت‌های بهام افتاده از تقارن اربیتالی نتیجه می شود [۴۲]. از کاربرد ماتریس پراکندگی در معادله (۱۸-۴) برای حالت‌های معادله (۱۵-۴) با فرض  $T = \frac{1}{2}$  برای بوزونها نتیجه می شود:

$$S|\Psi_+\rangle_{boson} = \frac{1}{\sqrt{2}} [ |3_A 3_B\rangle + |4_A 4_B\rangle ] \otimes \frac{1}{\sqrt{2}} [ |\uparrow_A \downarrow_B\rangle + |\downarrow_A \uparrow_B\rangle ] \quad (21-4)$$

$$S|\Psi_-\rangle_{boson} = \frac{1}{\sqrt{2}} [ |3_A 4_B\rangle - |4_A 3_B\rangle ] \otimes \frac{1}{\sqrt{2}} [ |\uparrow_A \downarrow_B\rangle - |\downarrow_A \uparrow_B\rangle ] \quad (22-4)$$

و برای فرمیونها نتایج زیر بدست می آیند:

$$S|\Psi_+\rangle_{fermion} = \frac{1}{\sqrt{2}} [ |3_A 4_B\rangle - |4_A 3_B\rangle ] \otimes \frac{1}{\sqrt{2}} [ |\uparrow_A \downarrow_B\rangle + |\downarrow_A \uparrow_B\rangle ] \quad (23-4)$$

$$S|\Psi_{-}\rangle_{fermion} = \frac{1}{\sqrt{2}} [ |3_A 3_B\rangle + |4_A 4_B\rangle ] \otimes \frac{1}{\sqrt{2}} [ |\uparrow_A \downarrow_B\rangle - |\downarrow_A \uparrow_B\rangle ] \quad (24-4)$$

(ضریب های فاز کلی حذف شده اند). برای حالت اسپین سه گانه  $\langle \Psi_{+} |$ ، بوزونها دسته ای و فرمیونها نادسته هستند. دلیل آن این است که زیر فضای  $\langle \Psi_{+} |$  متقارن است. الزام تقارن بنا برای نیاز به این دارد که حالت اربیتال برای بوزونها (فرمیونها) متقارن (پاد متقارن) باشد برای اینکه حالت  $\langle \Psi_{+} |$  به طور کلی متقارن (پاد متقارن) است. مطابق قانون اظهار شده، حالت های اربیتال متقارن دسته ای هستند و حالت های اربیتال پاد متقارن نادسته ای می باشند. خواص پراکندگی برای حالت های  $\langle \Psi_{\pm} |$  در شکل (۵-۴ الف) خلاصه شده است.

حالت تک اسپین  $\langle \Psi_{-} |$  یک حالت خاص است. زیرفضای اسپین  $\langle \Psi_{-} |$  پاد متقارن است. در این مورد الزام تقارن نیاز به این دارد که حالت اربیتال برای بوزونها (فرمیونها) پاد متقارن (متقارن) باشد تا تقارن کلی مخصوص حالت  $\langle \Psi_{-} |$  باقی بماند. حالت تقارن زیرفضای اسپین به طور موثر تقارن زیرفضای اربیتالی را مشخص می کند. بنابراین، مطابق قانون ذکر شده، فرمیونها دارای حالت اربیتالی متقارن هستند و دسته ای خواهند بود، در صورتیکه بوزونها دارای حالت اربیتالی پاد متقارن هستند و نادسته ای خواهند بود. خواص پراکندگی برای حالت های  $\langle \Psi_{-} |$  در شکل (۴-۵ ب) خلاصه شده است.

برای خاتمه، حالت های معادله (۱۵-۴) با فرض  $T = \frac{1}{2}$  به شکل زیر هستند [۲۰]:

$$S|\Psi_{\pm}\rangle_{boson} = \frac{1}{\sqrt{2}} [ |3_A 3_B\rangle + |4_A 4_B\rangle ] \otimes \frac{1}{\sqrt{2}} [ |\uparrow_A \uparrow_B\rangle \pm |\downarrow_A \downarrow_B\rangle ] \quad (25-4)$$

$$S|\Psi_{\pm}\rangle_{fermion} = \frac{1}{\sqrt{2}} [ |3_A 4_B\rangle - |4_A 3_B\rangle ] \otimes \frac{1}{\sqrt{2}} [ |\uparrow_A \uparrow_B\rangle \pm |\downarrow_A \downarrow_B\rangle ] \quad (26-4)$$

روشن است که حالت های سه گانه اسپین مشترک  $\langle \Phi_{\pm} |$  برای بوزونها و فرمیونها بترتیب در معادله های (۲۱-۴) و (۲۲-۴) دارای خواص پراکندگی مشترک هستند.

الف) اسپین سه گانه

$\frac{1}{\sqrt{2}} (\left  1_A 2_B \right\rangle + \left  2_A 1_B \right\rangle)^{\otimes 2}$	$\left  \begin{array}{l} \uparrow \downarrow \\ 1_A 2_B \end{array} \right\rangle$ $\left  \begin{array}{l} \downarrow \uparrow \\ 2_A 1_B \end{array} \right\rangle$ $\left  \begin{array}{l} \uparrow \downarrow \\ 1_A 1_B \end{array} \right\rangle$ $\left  \begin{array}{l} \downarrow \uparrow \\ 2_A 2_B \end{array} \right\rangle$	بروزون شبه بروزون (دسته‌گی فوتون)
$\frac{1}{\sqrt{2}} (\left  1_A 2_B \right\rangle - \left  2_A 1_B \right\rangle)^{\otimes 2}$	$\left  \begin{array}{l} \uparrow \downarrow \\ 1_A 2_B \end{array} \right\rangle$ $\left  \begin{array}{l} \downarrow \uparrow \\ 2_A 1_B \end{array} \right\rangle$ $\left  \begin{array}{l} \downarrow \uparrow \\ 1_A 1_B \end{array} \right\rangle$ $\left  \begin{array}{l} \uparrow \downarrow \\ 2_A 2_B \end{array} \right\rangle$	برخورد شبه فرمیون (نادسته‌گی الکترون)

ب) تک اسپین

$\frac{1}{\sqrt{2}} (\left  1_A 2_B \right\rangle - \left  2_A 1_B \right\rangle)^{\otimes 1} \otimes \frac{1}{\sqrt{2}} (\left  1_A 1_B \right\rangle - \left  2_A 2_B \right\rangle)$	$\left  \begin{array}{l} \uparrow \downarrow \\ 1_A 2_B \end{array} \right\rangle$ $\left  \begin{array}{l} \downarrow \uparrow \\ 2_A 1_B \end{array} \right\rangle$ $\left  \begin{array}{l} \downarrow \uparrow \\ 1_A 1_B \end{array} \right\rangle$ $\left  \begin{array}{l} \uparrow \downarrow \\ 2_A 2_B \end{array} \right\rangle$	بروزون شبه بروزون (دسته‌گی الکترون)
$\frac{1}{\sqrt{2}} (\left  1_A 2_B \right\rangle + \left  2_A 1_B \right\rangle)^{\otimes 1} \otimes \frac{1}{\sqrt{2}} (\left  1_A 1_B \right\rangle - \left  2_A 2_B \right\rangle)$	$\left  \begin{array}{l} \uparrow \downarrow \\ 1_A 2_B \end{array} \right\rangle$ $\left  \begin{array}{l} \downarrow \uparrow \\ 2_A 1_B \end{array} \right\rangle$ $\left  \begin{array}{l} \uparrow \downarrow \\ 1_A 1_B \end{array} \right\rangle$ $\left  \begin{array}{l} \downarrow \uparrow \\ 2_A 2_B \end{array} \right\rangle$	برخورد شبه فرمیون (نادسته‌گی فوتون)

شکل(۴-۵): ویژگیهای پراکندگی برخورد الف) حالتهای اسپین سه گانه ب) حالتهای تک اسپین برای بوزونها و فرمیونها [۲۰]

#### ۴-۵-۲- آشکارسازی شدت

یک برخورد ذرات بدام افتاده در پرتوشکاف ۵۰/۵۰ در شکل(۴-۴الف) نشان داده شده است، گام بعدی برای تشخیص ذرات خروجی در مسیرهای ۳ و ۴ است. همانطور که در بخش قبل بحث شد، در اصل دو نوع آشکارسازی وجود دارد. موج پیوسته و شمارش ذرات فرودی. در یک آنالیزور حالت خطی استاندارد بل برای حالتهای فوتون به دام افتاده، بطور نوعی از روش شمارش ذرات فرودی استفاده می شود. به دو دلیل ۱) منبع به دام افتاده به طور نوعی دارای واگنی پایین است. ۲) آشکارسازهای مورد استفاده دارای یک اثر زمان مرده هستند. در مجموع، فوتودیوهای بهمنی (APD) و لوله های فوتومولتی پلیر (PMT) قادر به تمیز فوتونهای ورودی نیستند.

برای غلبه بر این مشکلات در مورد منبع واگنی پایین، پرتو شکافهای قطبش را در خروجی های ۳ و ۴ قرار می دهیم. برای حالتهای فردی بدام افتاده  $\langle \pm | \Psi \rangle$ ، این مسئله باعث می شود که آنالیز حالت خطی بل به یک شمارش دوتایی و روش همبستگی تبدیل شود. اگر حالت به دام افتاده ورودی  $| \Psi \rangle$  باشد، آنگاه حالت خروجی دسته ای می شود؛ دو فوتون با قطبش مختلف با هم در مسیر ۳ یا با هم در

مسیر ۴ ظاهر می شوند. سپس پرتو شکافهای قطبش این دسته فوتونی را می شکافند. شخص یک پاسخ (حساسیت) را در آشکارساز نوری که  $N_{L,V}$ ,  $N_{L,H}$  یا آشکارساز نوری که  $N_{R,V}$ ,  $N_{R,H}$  را می شمارد، مشاهده می کند. این دلالت بر انطباق شماره هایی که برای آشکارسازهای سمت چپ یا راست اتفاق می افتد دارد، و به آشکارسازهای فیما بین سمت های راست یا چپ ربطی ندارد. عبارت دیگر، داشتن حالت ورودی بدام افتاده  $(\Psi_-)$  معنی این است که خروجی نادسته ای خواهد بود. اکنون باید انتظار داشته باشیم که انطباقها را بین قطبشهای مختلف روی سمت های مختلف، برای مثال بین  $N_{L,H}$  و  $N_{R,V}$ ، ملاحظه کنیم.

این روش می تواند بوسیله اضافه کردن فاز قطبشی که قبل از پرتو شکافهای قطبشی می چرخد اصلاح شود. در آخر، به حال اگر کسی به تمام چهار حالت بدام افتاده در معادلات (۱۵-۴) و (۱۶-۴) توجه کند، می تواند در بهترین حالت بازده ۵۰٪ حالت بل [۳۸،۳۷] را با اپتیک خطی بدست آورد. اگر حالت ورودی را به حالت های بدام افتاده  $(\Psi_\pm)$  محدود کنیم، در اصل می توانیم آنها را با بازدهی ۱۰۰٪ تمیز دهیم. دلیل آن این است که همانطور که در شکل (۴-۵) نشان داده شده است، نشانه تک حالت همیشه یکتا است. به همین دلیل است که آزمایشات انتقال اطلاعات با حالت های بل و اپتیک خطی فقط روی تک حالت متمرکز شده است، و بنابراین نسبت به تمام چهار حالت بل، دارای احتمال وقوع ۲۵٪ است [۴۳].

یک راه جایگزین استفاده از آشکارسازهای نوری است، که می تواند بین حالت های تک فوتون و دو فوتونی تمیز دهد. یک چنین آشکارساز نوری شمارنده نور مرئی است (VLPC) [۴۴]. یک VLPC مستقیما پایین مسیرهای ۳ و ۴ نظری شکل (۴-۴.ب) قرار می دهیم. شماره های فرودی ( $N_L, N_R$ ) برای هر رویداد آشکارسازی (۰۰) و (۰۱) یا (۱۰) یا (۱۱) می شوند. شخص می تواند به وضوح خروجی های دسته و نادسته را از طریق این انطباقها یا همبستگی ها تمیز دهد این نتیجه برای منبع بدام افتاده ورودی که به حالت های  $(\Psi_\pm)$  محدود شده کافی است. این مفهوم را ممکن است به یک اسباب موج پیوستار دینامیکی مانند آزمایش HBT که قبلاً بیان شد، تعمیم داد.

#### ۴-۶- دسته گی و نادسته گی الکترون

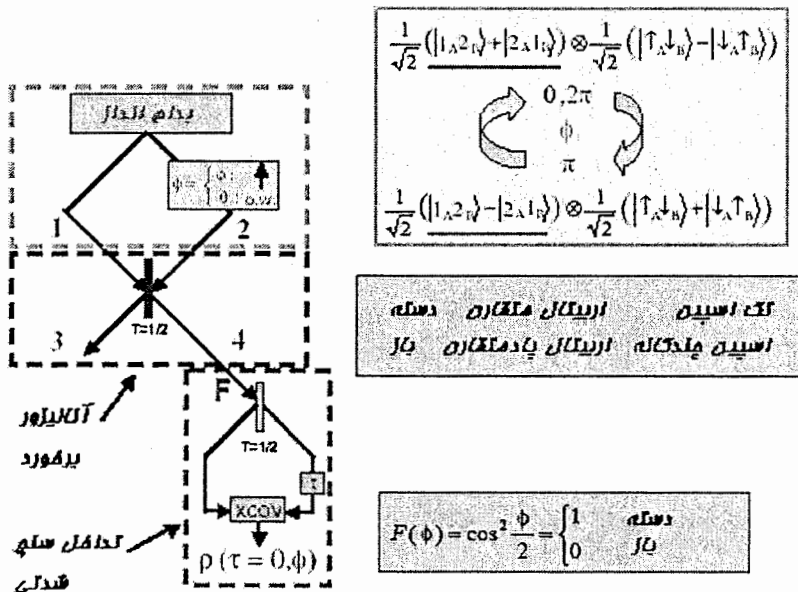
پیشنهاد تجربی برای تحلیل حالت خطی بل مانند آنچه در مراجع [۲۰] ارائه شده در شکل (۴-۶) نشان داده شده است. فرض شود که یک بدام انداز موثر تک حالت وجود دارد، یک جریان حالت‌های  $(\Psi_-)$  را به داخل یک تداخل سنج دو ذره ای در یک روش تنظیم شده و بدون نوفه تزریق می‌کند (به طور جایگزین ممکن است از یک بدام انداز  $(\Psi_+)$  استفاده شود). بر حالت  $(\Psi_-)$  یک چرخش فاز وابسته به اسپین در بازوی راست تداخل سنج اعمال می‌شود. برای مثال یک فاز برای الکترونهای اسپین بالا در بازوی راست بکار می‌رود. این تغییر فاز به شخص اجازه می‌دهد به طور ممتد بین حالت‌های  $(\Psi_+)$  و  $(\Psi_-)$  سازگاری ایجاد کند.

ترکیب به دام انداز  $(\Psi_-)$  و سوق دهنده فاز وابسته به اسپین را ممکن است مانند منبع در نظر گرفت. حالت قبل از برخورد به شکل زیر نوشته می‌شود:

$$\begin{aligned} |\Psi_m\rangle &= \frac{1}{2} \left\{ |1_A 2_B\rangle \otimes (\uparrow_A \downarrow_B) - e^{i\varphi} |\downarrow_A \uparrow_B\rangle \right\} + \left\{ |2_A 1_B\rangle \otimes (e^{i\varphi} |\uparrow_A \downarrow_B\rangle - |\downarrow_A \uparrow_B\rangle) \right\} \\ &= \frac{e^{i\varphi} + 1}{2} |\Psi_-\rangle - \frac{e^{i\varphi} - 1}{2} |\Psi_+\rangle \end{aligned} \quad (27-4)$$

همانطور که در بخش ۴-۲-۴ توضیح داده شده، حالت بدام افتاده  $(\Psi_m)$  از منبع، با خودش در پرتو شکاف فضایی  $50/50$  برخورد می‌کند. یک حالت خالص  $(\Psi_-)$  در خروجی مسیرهای ۳ و ۴ دسته خواهد شد، در صورتیکه یک حالت خالص  $(\Psi_+)$  نادسته خواهد بود. به طور کلی، حالت خروجی در مسیرهای ۳ و ۴ در حدود یک عامل فاز کلی به یک حالت فازی سوق وابسته است، یعنی:

$$\begin{aligned} |\Psi_{out}\rangle &= S |\Psi_m\rangle \\ &= \frac{1}{4} \left[ i(e^{i\varphi} + 1) (|3_A 3_B\rangle + |4_A 4_B\rangle) \otimes (\uparrow_A \downarrow_B) - |\downarrow_A \uparrow_B\rangle \right] + \\ &\quad \left[ (e^{i\varphi} - 1) (|3_A 4_B\rangle - |4_A 3_B\rangle) \otimes (\uparrow_A \downarrow_B) - |\downarrow_A \uparrow_B\rangle \right] \end{aligned} \quad (28-4)$$



شکل (۶-۳): آنالیزور حالت بل الکترون. یک بدام انداز الکترون یک حالت تکتایی را منتشر می کند که دستخوش یک انتقال فاز وابسته به اسپین در بازوی راست می شود. این امر موجب تشخیص حالت های  $|\Psi_{\pm}\rangle$  را می دهد. حالت با خودش در یک آنالیزور برخورد، برخورد می کند، که برای حالت خالص  $|\Psi_{+}\rangle$  ( $|\Psi_{-}\rangle$ ) دسته ای (نادسته ای) می باشد. یک تداخل سنجی شدت، الکترونهای خروجی دسته ای و نادسته ای را تمیز می دهد [۲۰].

خروجی دو الکترون می تواند یکتابع سوق فاز  $\Phi$  از دسته به نادسته سوق پیدا کند. تداخل سنج شدتی HBT یک  $\rho$  متناظر با ضریب فانوی خروجی اندازه می گیرد:

$$\mathcal{F}(\phi) = \frac{1 + \rho(\tau = 0, \phi)}{1 - \rho(\tau = 0, \phi)} = \cos^2\left(\frac{\phi}{2}\right) \quad (29-4)$$

ضریب فانوی بین  $1 = F$  (دو برابر نویه حد فاصل استاندارد) و  $0$  (دو ذره نادسته) می باشد.

# فصل پنجم

## کاربردهای زوج بدام افتاده EPR

۱-۵ - انتقال یک حالت کوانتومی مجهول

۲-۵ - رمزگذاری متراکم کوانتومی

۳-۵ - رمزگذاری برنامه اندامانی

۴-۵ - محاسبه کوانتومی

## مقدمه

وجود رشته بلند همبستگی بین زوج ذره EPR کاربرد آنها را برای انتقال اطلاعات مطرح می‌کند. خود اینشتین از واژه «telepathically» (تلپاتی) در این زمینه استفاده کرد [۸]. ثابت شده که انتقال آنی اطلاعات بطور قطعی غیر ممکن است [۸]. با وجود این ما نشان می‌دهیم که همبستگی EPR می‌تواند در پیشبرد مقررات ارتباطی بکار آید. در این فصل می‌خواهیم به طور خلاصه و نه کاملاً دقیق نقش بدام اندازی را در تئوری اطلاعات کوانتومی مرور کنیم، ما با مثالهایی نشان خواهیم داد که چگونه بدام اندازی، مانند یک منبع ارزشمند برای پیش بردن مقررات جدید ارتباط است، که مشابه کلاسیکی ندارند. ابتدا موارد ساده انتقال کوانتومی را [۸] و همینطور رمزگذاری کوانتومی [۱۳]، مرور خواهیم نمود. سپس توضیح خواهیم داد که چگونه بدام اندازی می‌تواند برای پیش بردن کانالهای امن اطلاعاتی در حضور نوفه بکار بردشود [۴۵ و ۴۶].

### ۵-۱- انتقال یک حالت کوانتومی مجھول

فرض کنید به یک ناظر که آرا آلیس(A) می‌نامیم، یک سیستم کوانتومی مانند یک فوتون یا یک ذره با اسپین  $\frac{1}{2}$  داده شده است. در واقع ما توجه خود را به سیستمهای کوانتومی دو بعدی محدود می‌کنیم که کیوبیت نامیده می‌شوند. فرض می‌کنیم کیوبیت آلیس در حالت  $|\Psi\rangle$  می‌باشد که در اصل برای او ناشناخته است. آلیس می‌خواهد با ناظر دیگر که باب(B) می‌نامیم ارتباط برقرار کند و اطلاعات کافی درباره کیوبیت خود را برای ساختن یک نسخه درست از آن به او بدهد. دانستن بردار

حالت  $|\Psi\rangle$  خودش اطلاعات کافی می باشد اما در حالت عمومی راهی برای فهمیدن آن نیست. فقط اگر آلیس از قبل بداند که  $|\Psi\rangle$  متعلق به یک مجموعه بهنجار معین است، می تواند یک اندازه گیری انجام دهد که نتیجه اش به او اجازه خواهد داد که یک نسخه درست از  $|\Psi\rangle$  بسازد، اما اگر حالت‌های ممکن برای  $|\Psi\rangle$  شامل دو حالت غیر متعامد یا بیشتر باشد، آنگاه از اندازه گیری اطلاعات کافی برای تهیه یک نسخه درست دقیق بدست نمی آید.

یک راه جزیی برای آلیس، برای اینکه باب را از تمام اطلاعات موجود در  $|\Psi\rangle$  مطلع کند این است که خود ذره را بفرستد، اما اگر او بخواهد که از انتقال ذره اصلی اجتناب کند، ما نشان می دهیم که یک راه کافی برای انجام این امر ممکن است، اگر آلیس و باب یک حالت بدام افتاده مشترک داشته باشند. سپس این مقررات با نام انتقال کوانتومی شناخته می شود.

برای انجام آن دو کیوبیت در یک تک حالت EPR زیر آمده می شوند:

$$|\Phi_{AB}^{(-)}\rangle = \sqrt{\frac{1}{2}}(|1\rangle_A|0\rangle_B - |0\rangle_B|1\rangle_A) \quad (1-5)$$

که در آن  $\{|0\rangle, |1\rangle\}$  یک پایه را برای هر کیوبیت نشان می دهد (ما باید کیوبیتها را مانند ذرات با اسپین  $\frac{1}{2}$  مورد توجه قرار دهیم و بنابراین پایه را متناظر با ویژه حالت‌های عملگر پائولی  $\sigma$  انتخاب می کنیم). زیرنویس های A و B کیوبیتها را در این زوج EPR مشخص می کنند. کیوبیت اصلی آلیس که حالت آن  $|\Psi\rangle$  ناشناخته است و او قصد دارد آنرا به باب منتقل کند، در موقع لزوم با زیرنویس C معرفی خواهد شد. یکی از کیوبیتها (کیوبیت A) به آلیس داده شده است، در صورتیکه کیوبیت دیگر (کیوبیت B) به باب داده شده است. اگر چه امکان همبستگی غیرکلاسیکی بین آلیس و باب پابرجاست، اما زوج EPR در این مرحله شامل اطلاعاتی درباره  $|\Psi\rangle$  نیستند. در واقع تمام سیستم شامل کیوبیت ناشناخته C و زوج EPR در یک حالت خالص حاصلضرب  $|\Phi_{AB}^{(-)}\rangle |\Psi_C\rangle$  است که نه شامل بستگی کلاسیکی و نه بدام اندازی کوانتومی بین کیوبیت ناشناخته و زوج EPR است. بنابراین اندازه گیری روی عضوی از زوج EPR یا هر دو با هم نمی توانند اطلاعاتی درباره  $|\Psi\rangle$  نتیجه بدهند. یک بدام اندازی بین این دو زیر سیستم در بخش بعد ارائه شده است.

برای جفت کردن کیوبیت اول با زوج EPR، آلیس یک اندازه گیری بل روی دو کیوبیت خود A و C انجام می دهد. این اندازه گیری در پایه های عملگر بل [۸] صورت می گیرد که به شکل زیر هستند:

$$\begin{aligned} |\Psi_{C,A}^{(\pm)}\rangle &= \sqrt{\frac{1}{2}}(|1\rangle_C|0\rangle_A \pm |0\rangle_C|1\rangle_A) \\ |\Phi_{C,A}^{(\pm)}\rangle &= \sqrt{\frac{1}{2}}(|1\rangle_C|1\rangle_A \pm |0\rangle_C|0\rangle_A) \end{aligned} \quad (2-5)$$

توجه کنید که این حالت‌های چهارگانه یک پایه متعامد بهنجار کامل برای کیوبیتهاي A و C تشکيل می دهند.

فرض می کنیم حالت ناشناخته کیوبیت اول به شکل زیر باشد:

$$|\Psi_C\rangle = \alpha|0\rangle_C + \beta|1\rangle_C \quad (3-5)$$

که در آن:  $|\alpha|^2 + |\beta|^2 = 1$ . حالت کامل سه کیوبیت قبل از اندازه گیری آلیس به شکل زیر است:

$$|\Psi_{ABC}\rangle = \frac{\alpha}{\sqrt{2}}(|0\rangle_C|1\rangle_A|0\rangle_B - |0\rangle_C|0\rangle_A|1\rangle_B) + \frac{\beta}{\sqrt{2}}(|1\rangle_C|1\rangle_A|0\rangle_B - |1\rangle_C|0\rangle_A|1\rangle_B) \quad (4-5)$$

در این معادله، هر ضرب مستقیمه  $|\rangle_C$  و  $|\Phi_{C,A}^{(\pm)}\rangle$  می تواند بر حسب بردارهای پایه عملگر بل  $\langle$  بود. اظهار شود و لذا نتایج زیر را بدست می آوریم:

$$\begin{aligned} |\Psi_{ABC}\rangle &= \frac{1}{2} \left[ |\Psi_{C,A}^{(-)}\rangle (-\alpha|0\rangle_B - \beta|1\rangle_B) + |\Psi_{C,A}^{(+)}\rangle (-\alpha|0\rangle_B + \beta|1\rangle_B) \right. \\ &\quad \left. + |\Phi_{C,A}^{(-)}\rangle (\alpha|0\rangle_B + \beta|1\rangle_B) + |\Phi_{C,A}^{(+)}\rangle (-\alpha|0\rangle_B + \alpha|1\rangle_B) \right] \end{aligned} \quad (5-5)$$

این معادله نشان می دهد که بدون توجه به حالت ناشناخته  $|\Psi_C\rangle$ ، چهار اندازه گیری دارای احتمال مساوی هستند، و هر کدام با احتمال  $\frac{1}{4}$  اتفاق می افتد. بنابراین بعد از اندازه گیری آلیس، کیوبیت باب B مطابق نتیجه اندازه گیری، در یکی از چهار حالت خالص مطرح شده در معادله (۵-۵) تصویر می شود. این حالتها به شکل زیر خواهد بود:

$$\begin{aligned} -\alpha|0\rangle_B - \beta|1\rangle_B &= -|\Psi_B\rangle & \beta|0\rangle_B + \alpha|1\rangle_B &= \sigma_x |\Psi_B\rangle \\ -\alpha|0\rangle_B - \beta|1\rangle_B &= -\sigma_z |\Psi_B\rangle & -\beta|0\rangle_B + \alpha|1\rangle_B &= i\sigma_y |\Psi_B\rangle \end{aligned} \quad (6-5)$$

که  $\sigma_{x,y,z}$ ، عملگرهای پائولی هستند. هر یک از این حالت‌های منتج ممکن برای کیوبیت EPR باب به طور ساده به حالت اصلی  $|\Psi_C\rangle$  که آلیس می‌خواهد آنرا منتقل کند، وابسته‌اند. لذا اگر آلیس نتیجه اندازه گیری بل را که در دو بیت اطلاعات کلاسیکی جاسازی شده، به باب بفرستد، باب کیوبیت خود را بسته به نتایج اندازه گیری آلیس، با استفاده از یکی از عملگرهای پائولی به حالت  $|\Psi\rangle$  می‌برد. بنابراین تازگی این مقررات در این است که با شریک شدن در یک حالت بدام افتاده، آلیس می‌تواند با باب در اطلاعات مشتمل در  $|\Psi_C\rangle$  فقط با فرستادن دو بیت اطلاعات کلاسیکی ارتباط برقرار کند. در نهایت اشاره می‌کنیم که این مقررات به طور موفقیت آمیزی در چندین آزمایشگاه نشان داده شده است [۴۷].

## ۲-۵- رمزگذاری<sup>۱</sup> متراکم کوانتمومی

رمزگذاری کوانتمومی، بدام اندازی را برای افزایش انتقال اطلاعات کوانتمومی روی یک کانال کم نوفه بکار می‌گیرد. این مقررات به شکل زیر است: فرض کنید که ما اطلاعات کلاسیک را در حالت یک کیوبیت کدگذاری کرده ایم و می‌خواهیم آن را روی یک کانال کم نوفه انتقال دهیم، در اینصورت بیشینه مقدار اطلاعات را که می‌توانیم عبور دهیم یک کیوبیت است. این می‌تواند بوسیله تهیه حالت کیوبیت انتقالی در یکی از دو حالت متعامد با احتمال مساوی  $\frac{1}{2}$  عملی شود. اما اگر فرستنده، آلیس، تلاش کند اطلاعات بیشتری را در کیوبیت رمزگذاری کند، برای مثال، حالت‌های غیرمتعامد و سپس آنرا برای باب بفرستد، آنگاه باب قادر نخواهد بود که آنها را بخوبی برای بدست آوردن اطلاعاتی بیشتر از یک بیت درباره هویت علامت از هم تشخیص دهد. در حالیکه اگر کیوبیت با کیوبیتهای دیگر بدام افتاده باشد آنگاه عبور دو بیت از اطلاعات کلاسیکی از طریق کانال، یعنی رسیدن به دو برابر ظرفیت اطلاعات، ممکن می‌شود. ما اکنون برای فهمیدن این مطلب که با رمزگذاری متراکم کوانتمومی شناخته می‌شود، مقررات را توصیف می‌کنیم [۱۳].

---

<sup>۱</sup> - Cryptography

فرض کنید که آلیس و باب در یک زوج دو کیوبیتی که بیشترین بدام اندازی را دارند، برای مثال حالت بل  $|\Psi^-\rangle$ ، شریک هستند. بخوبی می دانیم که بدام اندازی خود به خود نمی تواند به ارتباط اطلاعات بین آلیس و باب منجر شود [۴۸]. همانطور که در این مثال می بینیم به منظور انتقال اطلاعات با استفاده از بدام اندازی، ما همچنین به انتقال اطلاعات کلاسیک از آلیس به باب نیاز داریم که غیرممکن بودن ارتباطات فوق نور را تضمین می کند. نکته اصلی که در اینجا قابل توجه است اینست که حالت  $|\Psi^-\rangle$  می تواند بوسیله عملگرهای جایگزیده که فقط در قسمت آلیس انجام می شوند، به هر حالت بل معادله  $(\Phi - \Psi) = 0$  تبدیل شود. در واقع آلیس می تواند حالت  $|\Psi^-\rangle$  را بوسیله اعمال عملگر یکانی  $\sigma_z$  روی ذره خود به حالت  $|\Psi^+\rangle$ ، و با اعمال  $\sigma_x$  به حالت  $|\Phi^-\rangle$ ، و با اعمال عمل  $\sigma_y$  به حالت  $|\Phi^+\rangle$  تبدیل کند.

در مقررات رمزگذاری متراکم کوانتمی آلیس می تواند تصمیم بگیرد که روی ذره اش عملی انجام ندهد، یا یکی از عملگرهای پائولی  $\sigma_x$  را اثر دهد. در این روش او قادر به رمزگذاری دو بیت از اطلاعات کلاسیکی در حالت بدام افتاده  $|\Psi^-\rangle$  خواهد بود. او سپس کیوبیت خود را روی کانال ارتباط با باب می فرستد. در اینصورت باب هر دو ذره را در سمت خودش خواهد داشت، که حالتش یکی از چهار حالت بل است. همانطور که در بالا ذکر شده، چون حالت‌های بل متعامد هستند، می توانند بوسیله انجام یک اندازه گیری بل به طور دقیق از هم تمیز داده شوند. نتیجه اندازه گیری مطابق عمل انجام شده توسط آلیس است و بنابراین مطابق دو بیتی است که او می خواهد منتقل کند. همانطور که می توانیم ببینیم، با بهره جستن از ذرات بدام افتاده که آلیس و باب شریک بودند، دو بیت از اطلاعات کلاسیکی را می توان با ارسال فقط یک تک کیوبیت روی کانال انتقالی، ابلاغ نمود. این بخش را با ذکر این مطلب به پایان می رسانیم که مقررات رمزگذاری متراکم کوانتمی به طور موفقیت آمیزی به اثبات تجربی رسیده است [۴۹].

### ۵-۳- رمزگذاری کوانتمی بر مبنای بدام اندازی

مقررات ارتباط کوانتمی که در بخش‌های ۱-۵ و ۲-۵ بیان شد، فقط در کانالهای بدون نوفه می‌توانند انجام شوند، اما با استفاده از مقرراتی که در این بخش بیان می‌کنیم اطلاعات کوانتمی را می‌توان روی کانالهای نوفه دار منتقل نمود. رمزگذاری کوانتمی به دو قسمت (آلیس و باب) اجازه می‌دهد در یک کلید سری شریک باشند که متشکل از یک رشته از اعداد اتفاقی به طول پیغامی که منتقل شده است می‌باشد. این نتیجه اصلی در رمزگذاری کلاسیک است و به یک مقررات رمزگذاری منجر می‌شود که در حضور نوفه و یک استراق سمع کننده امن می‌باشد. مقررات رمزگذاری کلاسیک، از مسئله توزیع امن کلید کوانتمی رنج می‌برند، چون در اصل، یک استراق سمع کننده می‌تواند کلید را زمان ارسال از آلیس به باب ببیند، بدون اینکه آلیس و باب از حمله استراق سمع مطلع باشند. این مسئله در رمزگذاری کوانتمی حل می‌شود، که در آنجا کلید در حالتهای کوانتمی رمزگذاری می‌شود که در آن آلیس و باب می‌توانند از هر تلاشی برای بدست آوردن اطلاعاتی درباره آن مطلع باشند. در واقع، یک اندازه گیری روی سیستم کوانتمی انجام می‌شود که در آن کلید رمزگذاری شده است. این اندازه گیری بطور کلی آنرا مختل می‌کند و این اختلال می‌تواند بوسیله کاربران درست آشکارسازی شود. امنیت فرایند اختلال کلید بوسیله قوانین مکانیک کوانتمی تضمین می‌شود.

در این مقررات، از رمزگذاری کوانتمی بر پایه بدام اندازی استفاده می‌شود [۴۶]، اما یک عنصر دیگر به نام روش «تصفیه بدام اندازی» به آن اضافه شده است. این روش به آلیس و باب اجازه می‌دهد که یک زوج کیوبیت را در حالت خالص بیشینه بدام افتاده تولید کنند که بدام اندازی آن با هر سیستم خارجی تا حد دلخواه پایین باشد. آنها می‌توانند این شکل را از هر زوج کیوبیتی تولید کنند که در حالتهای آمیخته با بدام اندازی غیر صفر باشد.

جزء اصلی این روش، اختلال تک حالتهای  $|\Psi^-\rangle$  است. لذا برای هر زوج یک ذره به سمت آلیس و ذره دیگر به سمت باب فرستاده شده است. آنگاه کلید بوسیله انجام اندازه گیریهای جایگزینده در قسمتهای آلیس و باب برقرار می‌شود. ما از شکل حالت  $|\Psi^-\rangle$  می‌توانیم ببینیم که اگر آلیس یک اندازه گیری از کیوبیت خود را در پایه های  $\{0, |1\rangle\}$  انجام دهد، یک نتیجه تصادفی بدست خواهد

آورد. بعلاوه آنگاه اگر باب یک اندازه گیری روی کیوبیت خود در همان پایه‌ها داشته باشد، همیشه نتیجه متضاد نتیجه آلیس بدست خواهد آورد. بدلیل تغییر تک حالت تحت چرخشهای دوطرفه  $SU(2)$  همان نتیجه برای یک انتخاب متفاوت از پایه‌های اندازه گیری حفظ می‌شود. لذا روش با پایه بدام اندازی به ترتیب زیر عمل می‌کند: آلیس و باب در یک عدد معین از تک حالتها شریکند. برای هر زوج آلیس و باب یک اندازه گیری متناظر با یکی از سه پایه ثابت انتخاب می‌کنند. آلیس در میان پایه‌های  $\{|\psi_1\rangle, |\psi_0\rangle\}$ ، پایه‌های چرخیده با  $\frac{\pi}{4}$  و پایه‌های چرخیده با  $\frac{\pi}{2}$  در صفحه  $x-z$ -را انتخاب می‌کند (متناظر با ویژه حالت عملگر  $\sigma_z$ ، در حالیکه باب در پایه‌های  $\{|\phi_1\rangle, |\phi_0\rangle\}$ ، پایه‌های چرخیده با  $\frac{\pi}{4}$  و یک چرخش  $\frac{\pi}{4}$ -را انتخاب می‌کند. بعد از انجام اندازه گیری آلیس و باب برای هر زوج مختل شده نوع پایه‌های اندازه گیری انتخابی را آشکار می‌کنند. اگر انتخاب آلیس و باب مطابق پایه‌های مشترک باشد، نتیجه اندازه گیریهای آنها کاملاً غیرهمبسته است و آنها کلید رمز را می‌دهند. نتایج متناظر با اندازه گیری در جهت‌های مختلف می‌تواند برای آزمون نامساوی بل استفاده شود و لذا می‌فهمیم که چرا یک استراق سمع کننده با سیستم دو کیوبیتی برهمنش می‌کند.

اگر این روش با یک روش تقویت محرمانه کوانتمی (QPA) [۷] تکمیل شود، می‌تواند حتی در حضور نویه در طول کانالی با کلید مختل شده، امن باشد. عقیده‌ای که این روش را پیشنهاد می‌کند، این است که هر دو ذره مشترک در یک حالت خالص، نمی‌توانند با ذره سوم به دام افتند. بنابراین باید در هر روشی که زوج کیوبیت را در حالت‌های خالص تحویل می‌دهد، بدام اندازی بین هر زوج و هر سیستم خارجی دیگر که قبلاً می‌توانست با زوجهای برهمنش داشته باشد، را حذف نمود. در نتیجه اندازه گیریها برای برقرار کردن کلید بعد از بکار گرفتن تکنیک تقویت محرمانه کوانتمی (QPA) انجام می‌شود. لذا امنیت مقررات با این حقیقت که زوج نهایی در واقع در تک حالت است تضمین می‌شود.

روش (QPA) بر پایه یک الگوریتم مکرر کوانتمی بنا شده که با یک مجموعه از زوج کیوبیتها در یک حالت آمیخته شروع می‌شود (یعنی حالت بعد از برهمنش زوجهای با یک استراق سمع کننده و یا با محیط) و بعد از انجام عملیات جایگزینی در قسمتهای آلیس و باب و ارتباط اطلاعات کلاسیکی،

تعدادی از آنها را دور می اندازد و باقیمانده را که در یک تک حالت خالص جمع شده اند، حفظ می کنند. در این روش، اندازه بدام اندازی بین زوجها و هر استراق سمع کننده به کاهش ادامه می دهد و می تواند به یک مقدار کوچک اختیاری برسد.

روش QPA از عملیات ساده ای تشکیل شده است. یک تک گام از روش مکرر شامل دو زوج است. آليس عمل یکانی زیر را در روی هر کیوبیت خود انجام می دهد:

$$|0\rangle \rightarrow \frac{1}{\sqrt{2}}(|0\rangle - i|1\rangle) \quad (7-5)$$

$$|1\rangle \rightarrow \frac{1}{\sqrt{2}}(|1\rangle - i|0\rangle) \quad (8-5)$$

باب عمل معکوس زیر را دو کیوبیت خود انجام می دهد:

$$|0\rangle \rightarrow \frac{1}{\sqrt{2}}(|0\rangle + i|1\rangle) \quad (9-5)$$

$$|1\rangle \rightarrow \frac{1}{\sqrt{2}}(|1\rangle - i|0\rangle) \quad (10-5)$$

اگر کیوبیتها ذرات اسپین  $\frac{1}{2}$  باشند و پایه های محاسبه ویژه مقادیر مولفه  $z$  اسپین آنها باشد، آنگاه

این دو عمل بترتیب متناظر با چرخش  $\frac{\pi}{2}$  و  $-\frac{\pi}{2}$  حول محور  $x$  است.

سپس آليس و باب هر کدام یک عمل نات کنترل شده را روی ذرات اشان انجام می دهند که به

شکل زیر تعریف می شود:

$$|\alpha\rangle |\beta\rangle \xrightarrow{\text{هدف کنترل}} |\alpha\rangle |\alpha \oplus \beta\rangle \quad (\alpha, \beta) \in \{0,1\} \quad (11-5)$$

که یک زوج شامل دو کیوبیت کنترل و دیگری شامل دو کیوبیت هدف و  $\oplus$  بر جمع و تغییر بعدی دلالت می کند. آليس و باب سپس کیوبیت هدف را در پایه های  $\{|0\rangle, |1\rangle\}$  اندازه گیری می کنند. اگر نتیجه یکسان بود (هر دو اسپین بالا یا هر دو پایین)، آنها زوج کنترل را برای دور بعد حفظ می نمایند و در نتیجه زوج هدف را حذف می کنند. اما اگر نتیجه ها یکسان نباشد، هر دو زوج حذف می شوند.

روشی که در بالا ارائه شد روشی برای خالص سازی بدام اندازی نیز می باشد. هدف تکنیک خالص سازی بدام اندازی در واقع تبدیل یک مجموعه از حالت‌های بدام افتاده آمیخته به یک تعداد کوچکتر از زوجها با یک خلوص افزایش یافته و یک صحت بالاتر نسبت به یک زوج بیشینه بدام افتاده مثلاً یک حالت بل است. که بوسیله انجام عملیات جایگزیده و ارتباط کلاسیکی انجام می شود. خالص سازی بدام اندازی همچنین می تواند برای انجام وظایف دیگر در اطلاعات کوانتومی مانند ارتباط راه دور از طریق تکرار کننده های کوانتومی [۵۰] بطور موفقیت آمیزی بکار گرفته شود. همچنین تاکید می کنیم که تکنیک خالص سازی کوانتومی به طور تجربی به شکل موفقیت آمیزی انجام شده است [۵۱].

#### ۴-۵ - محاسبه کوانتومی

ایده ساخت یک وسیله محاسباتی بر مبنای یک ماشین کوانتومی زمانی پدیدار شد که دانشمندان با مبانی محدودیتهای محاسباتی مواجه می شدند. آنها فهمیدند که اگر پایداری تکنولوژی؛ طبق قانون مور ادامه یابد؛ آنگاه به طور مداوم؛ اندازه بسته مدار روی ورقه سیلیکون کوچک می شود؛ تا جایی که سرانجام به یک نقطه برسد. بطوریکه عوامل تشکیل دهنده آن از تعدادی اتم بیشتر نباشد. در اینصورت، این مسئله مطرح می شود که قوانین فیزیکی حاکم بر رفتار و خواص مدارها در مقیاس اتمی کلاسیکی نبوده، بلکه کاملاً مکانیک کوانتومی هستند. لذا این سوال مطرح می شود که چگونه نوع جدیدی از کامپیوتر کوانتومی را می توان بر پایه اصول فیزیک کوانتومی ساخت.

فاینمن از اولین کسانی بود که برای تهیه جوابی به این سوال تلاش کرد. او با تولید یک مدل مختصر(کوچک) در سال ۱۹۸۲ انسان داد که چگونه یک سیستم کوانتومی می تواند برای محاسبات کامپیوتري به کار رود. او همچنین توضیح داد که چگونه یک ماشین کوانتومی قادر خواهد بود مانند یک شبیه‌ساز برای فیزیک کوانتومی عمل کند. به عبارت دیگر یک فیزیکدان باید توانایی آنرا داشته باشد که آزمایشات فیزیک کوانتومی را به داخل کامپیوتر کوانتومی منتقل کند.

بعدها در سال ۱۹۸۵ دوچ فهمید که نظریات فاینمن می‌تواند در نهایت به هدف عمومی کامپیوتر کوانتمی منجر شود و در یک مقاله تئوری نشان داد که هر فرایند فیزیکی در اصل می‌تواند به طور واقعی بوسیله یک کامپیوتر کوانتمی مدلسازی شود. بنابراین توانایی یک کامپیوتر کوانتمی از هر کامپیوتر سنتی کلاسیکی برتر است.

بعد از انتشار این مقاله توسط دوچ پژوهشگران برای پیدا کردن کاربرد جالبی برای چنین ماشینی شروع به تحقیق نمودند. متاسفانه تمام آنچه که بدست آمد، طرح تعدادی مسئله ریاضی بود، تا اینکه در سال ۱۹۹۴ پیتر شور در مقاله‌ای روش استفاده از کامپیوتر کوانتمی و بکار بردن مزیت بدام اندازی را برای حل یک مسئله مهم در تئوری اعداد ارائه کرد که به دسته بندی<sup>۱</sup> مشهور شد [۳].

او نشان داد که چگونه یک نمونه از عملیات ریاضی که به طور خاص برای یک کامپیوتر کوانتمی طراحی شده است، می‌تواند توانایی یک چنین ماشینی را جهت تجزیه بسیار سریع اعداد خیلی بزرگ، خیلی بزرگتر از آنچه که برای کامپیوترهای سنتی ممکن است، نشان دهد. با این رهیافت، کامپیوتر کوانتمی، از یک کنجدکاوی صرفا دانشگاهی به یک گرایش بین‌المللی تبدیل شد.

در یک کامپیوتر سنتی، اطلاعات در یک سری از بیتها رمزگذاری شده و این بیتها در ردیفی برای تولید نتیجه نهایی از طریق دریچه‌های منطقی جبر بول آرایش شده‌اند. بطور مشابه کامپیوتر کوانتمی کیوبیتها را بوسیله ارائه یک سری از دریچه‌های کوانتمی بکار می‌برد. این دریچه‌های کوانتمی هر کدام یک تبدیل یکانی هستند که بر یک تک کیوبیت یا یک جفت کیوبیت اثر می‌کنند. هنگام بکار بردن این دریچه‌ها در مجموعه (ثبات) یک کامپیوتر کوانتمی می‌توان یک تبدیل یکانی بر یک مجموعه از کیوبیتها انجام داد. سپس کیوبیتها می‌توانند اندازه‌گیری شوند با این اندازه‌گیری، نتیجه محاسباتی نهایی مشخص می‌شود.

عملیات یک کامپیوتر کوانتمی از ضرب بردار حالت در یک سری از ماتریس‌های یکانی (دریچه‌های کوانتمی باید معکوس باشند) تشکیل شده است.

یکی از مهمترین دریچه های کوانتومی دریچه NOT کنترل شده(C-NOT)، می باشد و دریچه ای است که روی دو کیوبیت عمل می کند. کیوبیت اول کیوبیت کنترل نامیده می شود و کیوبیت دوم کیوبیت داده<sup>۱</sup> است. اگر کیوبیت کنترل در حالت  $|0\rangle$  باشد آنگاه کیوبیت داده بدون تغییر می ماند. اگر کیوبیت کنترل در حالت  $|1\rangle$  باشد کیوبیت داده تغییر می کند. بنابراین دریچه ای که ما برای آن از علامت  $\oplus$  استفاده می کنیم می تواند توسط جدول زیر توصیف شود.

$$\begin{aligned}\oplus : |0\rangle |0\rangle &\rightarrow |0\rangle |0\rangle \\ \oplus : |0\rangle |1\rangle &\rightarrow |0\rangle |1\rangle \\ \oplus : |1\rangle |0\rangle &\rightarrow |1\rangle |1\rangle \\ \oplus : |1\rangle |1\rangle &\rightarrow |1\rangle |0\rangle\end{aligned}$$

استفاده از زوج EPR برای ایجاد دریچه C-NOT به طور تجربی در سال ۲۰۰۴ به اثبات رسیده است [۵۲].

---

۱ -Data

## فصل ششم

### بدام اندازی با دو نقطه کوانتموی

۱-۶- طرح مختصر استفاده از دو نقطه کوانتموی با یک دهانه ورودی

۲-۶- ایجاد به دام اندازی الکترون در دستگاه شامل دو نقطه کوانتموی با چهار

دهانه

## مقدمه

از آنچه تا کنون درباره به دام اندازی الکترون بیان نمودیم، ملاحظه می شود که استفاده از تولید اسپین الکترون به دام افتاده برای محاسبات کوانتموی، ارتباطات کوانتموی، رمزگذاری کوانتموی و ... باید جالب و مهم باشد. بویژه بخاطر عمر طولانی اسپین الکترون به دام افتاده در نیمرسانانها مفید بودن آن بیش از پیش تایید می شود [۱۵۳].

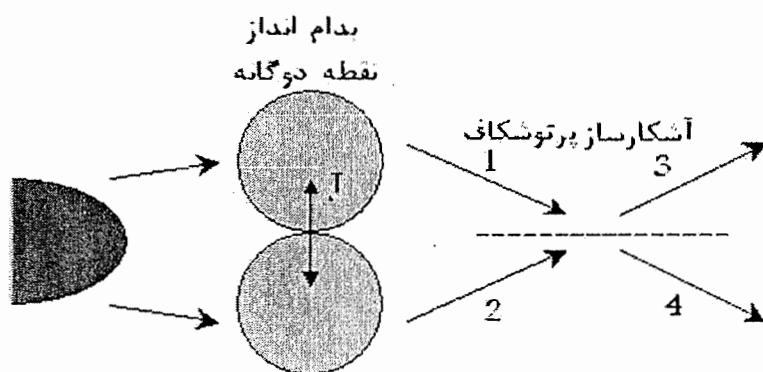
در این پایان نامه تا کنون پیشنهادهایی مبنی بر استفاده از شکافنده های باریکه های الکترونی [۱۵۴]، ابررسانانها [۱۲] و همچنین نقطه کوانتموی منفرد [۱۳] مورد بررسی قرار گرفته اند. همچنین در مرجع [۱۵۵] پیشنهاد استفاده از سه نقطه کوانتموی ارائه شده است. بعلاوه در یکی از آخرین مقاله های بدست آمده پیشنهاد استفاده از دو نقطه با یک دهانه ورودی ارائه شده است [۱۵۶]. در ذیل به توضیح مختصر این طرح می پردازیم، و سپس پیشنهادمان را مبنی بر استفاده از دو نقطه کوانتموی با دو دهانه ورودی ارائه و پیامدهای آنرا بررسی می کنیم.

### ۱-۶- طرح مختصر استفاده از دو نقطه کوانتموی با یک دهانه ورودی [۱۵۷]

ایده اساسی این طرح استفاده از یک دستگاه نقطه کوانتموی جفت شده دوگانه به عنوان به دام انداز اسپین الکترون است. بخوبی معلوم شده است که از یک نقطه کوانتموی دوگانه با جفت شدگی - مبادله ای می تواند به صورت یک ملکول مصنوعی عمل کند، که در آن الکترونها روى یک نقطه با

الکترونهای نقطه دیگر در حالت تکتایی (یا سه گانه) ملکولی به دام بیافتد و مشابه موقعیت ملکولهای واقعی باشد.

برای مثال، یک نقطه کوانتومی دوگانه با دو الکترون که در روی هر نقطه یک الکtron وجود دارد، شباهتی به ملکولهای  $H_2$  با اندازه ای حدود  $10 - 100 nm$  و اشل انرژی  $0.1 - 1 meV$  دارد. این نقطه دوگانه دارای یک دریچه مناسب است که جفت شدگی مبادله ای بین دو نقطه را بوسیله ولتاژ الکتریکی قابل تنظیم کنترل می کند، تا رویهم افتادگی تابعهای موج الکترونی را در دو نقطه تضمین کند. بدیهی است جزئیات، در نقطه کوانتومی دوگانه با مولکولهای  $H_2$  از نظر کیفی کاملاً متفاوت است، زیرا در حالت نقطه کوانتومی حبس الکترونی اتمی<sup>۱</sup> تقریباً یک پتانسیل حبس خارجی سهمی شکل است، که با دریچه های الکتروستاتیکی اعمال می شود. برخلاف اتم واقعی که در آنجا پتانسیل حبس یک برهمنش هسته ای کولنی می باشد. در یک نقطه کوانتومی دوگانه حالت پایه (با یک الکترون در هر نقطه) در غیاب هر میدان مغناطیسی خارجی، یک حالت تکتایی اسپین الکترون به دام افتاده است که بخارط مبادله جفت شده اند. در مورد حالت هر نقطه با بیش از یک الکترون، حالت پایه



شکل(۶-۱): نمودار طرح وار یک نقطه کوانتومی دوگانه به صورت یک صافی به دام انداز اسپین الکترون. یک شکافده باریکه الکترونی به صورت آشکارساز پتانسیل برای به دام اندازی الکترون نیز در شکل وارد شده است.

<sup>۱</sup> - atomic electronic confinement

نقشه های کوانتومی، حتی در غیاب هر میدان مغناطیسی می تواند یا یک حالت تکتایی یا سه تایی و یا حتی پیچیده تر بسته به جزئیات سیستم باشد.

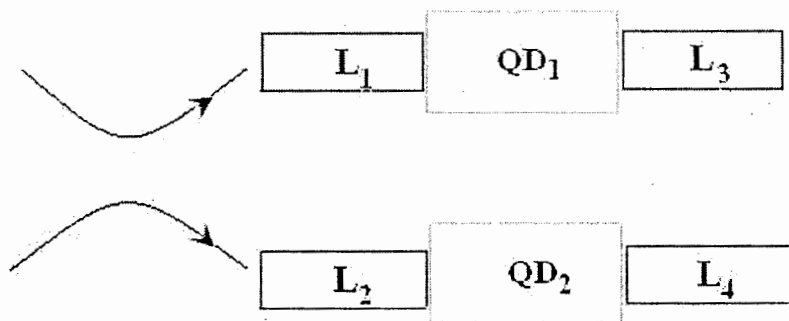
بنابراین در نظریه نقطه کوانتومی دوگانه، الکترونها داخل ساختار نقطه دوگانه از طریق سد داخلی بخوبی کنترل می شوند، تا آنها را در حالت‌های اسپین تکتایی توزیع کنند و سپس زوجهای الکترونی بدام افتاده از سیستم نقطه دوگانه از طریق سدهای خروجی و انتقال به دهانه ها دقیقا قابل کنترل هستند. سپس به دام اندازی در یک اندازه گیری انتقال مناسب آشکار می شود. در این اندازه گیری می توان نوفه جریان و یا سطح مقطع همبستگی بین الکترونها در زوج الکترون به دام افتاده را از طریق شکافنده باریکه (شکل ۱-۶) اندازه گیری نمود.

نظریه آشکارسازی از نظر مفهوم ساده است، اما از نظر انجام آزمایش به شدت مشکل است. به دام اندازی را می توان در همبستگی بین مشاهدات جایگزینه در روی اعضای تشکیل دهنده، که از نظر فضایی از یکدیگر دور هستند، مشاهده نمود.

پس از ارائه نقطه کوانتومی دوگانه با یک دهانه ورودی، مثلاً یک ابررسانا، که از آن زوجهای کوپر به داخل نقطه کوانتومی تابش می شوند. اینک به بررسی طرح پیشنهادی در این پایان نامه، یعنی به دام اندازی از طریق نقطه کوانتومی دوگانه با دو دهانه ورودی می پردازیم.

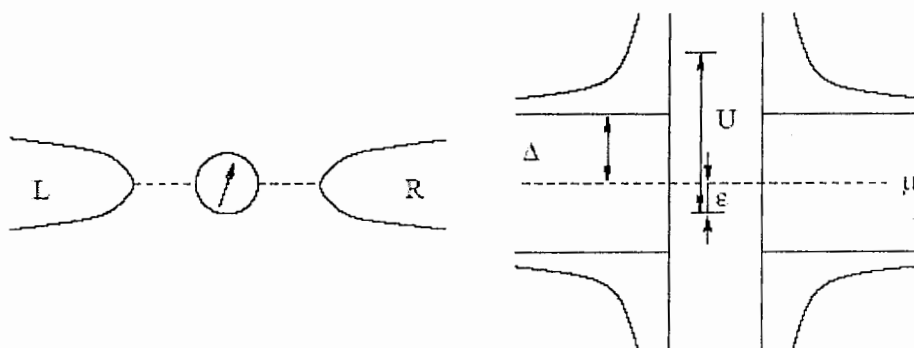
## ۲-۶- ایجاد به دام اندازی الکترون در دستگاه شامل دو نقطه کوانتومی با چهار دهانه

در طرحی که ما برای تولید زوجهای EPR پیشنهاد می کنیم، از دو QD استفاده می شود، اما هر کدام از نقطه های کوانتومی بطور مجزا به یک دهانه ورودی ( $L_1$ ) و یک دهانه خروجی ( $L_3$ ) ( $L_4$ ) متصل هستند. الکترونها را می توان مثلاً با پمپاژ از یک ابررسانا به نقطه کوانتومی تزریق نمود. بدین ترتیب الکترونها تابشی بخاربرهم کنش کولنی به داخل نقطه کوانتومی رانده می شوند. باید یادآوری کنیم که یکی از روشهای تولید EPR زوجهای کوپر در ابررسانا هستند.

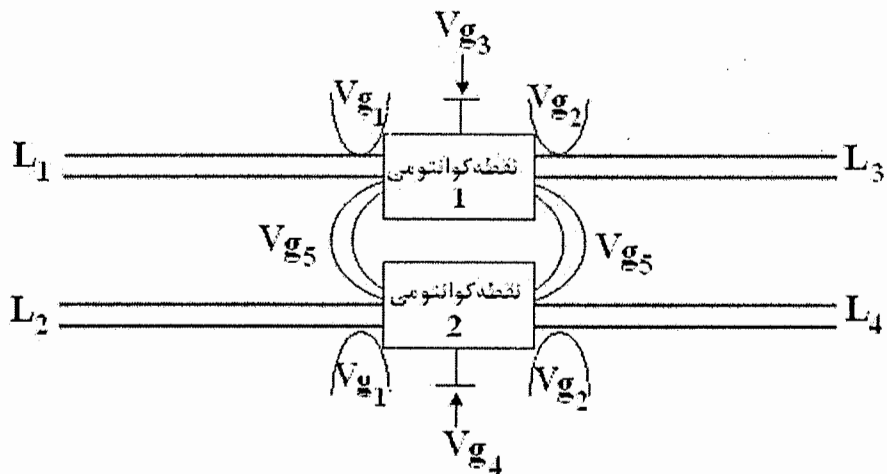


شکل(۲-۶): الکترونها در اثر برهمکنش تداخلی بخارط پتانسیل کولنی باید به داخل دو نقطه رانده شوند.

در شکل(۲-۶) اثر کولنی را بر حرکت الکترونها می‌توان مشاهده نمود. بنابراین می‌توان انتظار داشت، حالت پایه دو الکtron که بطور مجزا در دو نقطه کوانتومی جفت شده قرار دارند، بخارط برهم کنش قوی کولنی و چشمپوشی از برهم کنش کولنی داخل نقطه‌ای یک حالت اسپین تکتایی باشد. لذا با اعمال سدهای پتانسیل متغیر متنابع بین QD ها و دهانه‌های ورودی، دو الکtron ابتدا به داخل نقطه کوانتومی تزریق می‌شوند، تا در آنجا در حالت اسپین تکتایی قرار بگیرند. سپس آنها به دهانه خروجی که مجزا از یکدیگر قرار دارند، تونل زده و خارج می‌شوند.



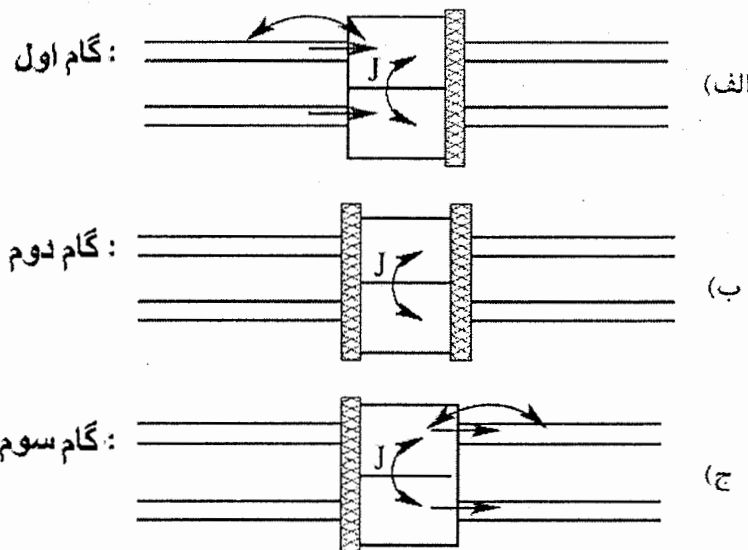
شکل(۳-۶): سمت چپ، طرحی از یک نانوساختار ابررسانا- نقطه کوانتومی- ابررسانا(S DS) سمت راست نمایش طرحوار طیف انرژی شبه ذره در ابررسانا و ترازهای انرژی نقطه کوانتومی



شکل (۴-۶): نمودار طرح وار یک سیستم با دو نقطه جفت شده  $QD_1$  و  $QD_2$  و چهار دهانه  $L_1$  و  $L_2$  و دهانه های چشممه می باشند، در حالیکه دهانه های  $L_3$  و  $L_4$  دهانه های خروجی می باشند. ولتاژ های دروازه  $V_{g_1}$  و  $V_{g_2}$  سدهای پتانسیل بین  $QD$  ها و دهانه ها را کنترل می کنند. در حالیکه  $V_{g_3}$  و  $V_{g_4}$  ولتاژ های دروازه ای هستند، که می توانند تراز های انرژی را در نقطه های کوانتومی تنظیم کنند. در حالیکه  $V_{g_5}$  و  $V_{g_6}$  مدل تنظیم جفت شدگی بین دو نقطه کوانتومی است.

مدل ارائه شده در شکل (۳-۶) نشان داده شده است. ابتدا یک نقطه کوانتومی بین دو دهانه ابررسانایی نشان داده می شود. در این شکل  $\Delta$  گاف انرژی ابررسانا است، در حالیکه  $U$  برهم کنش دافعه قوی کولنی در داخل نقطه کوانتومی است. در این سد، تراز انرژی الکترون در نقطه کوانتومی و  $U - \epsilon$  باشد

نقطه های کوانتومی باید به گونه ای طراحی شوند (شکل ۴-۶) که در هر نقطه فقط یک تراز انرژی مرتبط با واگنی اسپین دوگانه وجود داشته باشد [۱۳]. لذا ولتاژ متغیر  $V$  بین نقطه های کوانتومی و دهانه های ورودی ابررسانایی برقرار می شود که مانند ولتاژ دروازه عمل می کند. در حالیکه ولتاژ متغیر  $V$  بین نقطه های کوانتومی و دهانه های خروجی یا اصطلاحاً چاهک برقرار می شود. این ولتاژها را بگونه ای می توان تنظیم نمود که به صورت سدهایی با ارتفاع متغیر بین  $QD$  ها و دهانه ها



شکل(۶-۵): نمودار طرحی عملیات ، شرح آن در متن داده شده است

عمل کنند، بدینظریق که مثلا اگر  $V_1$  پایین و  $V_2$  بالا باشد، الکترونها از ابرساناهای چشمehای  $L_1$  و  $L_2$  به داخل نقطه کوانتمی تونل می زند و در آنجا بخاطر سد پتانسیل بزرگ  $V_2$  متوقف می شوند. سپس با افزایش  $V_1$  امکان بازگشت الکترونها به دهانه های چشمeh را از بین می بریم و با کاهش ولتاژ  $V_2$  امکان تونل زنی از نقطه های کوانتمی به ابرسانای چاهک را برای عملیات بعدی فراهم می کنیم(شکل ۶-۴).

مساله تنظیم ترازهای انرژی الکترونها در نقطه های کوانتمی باید بگونه ای باشد که با تابع کار الکtron در ابرسانای جهت انتقال الکtron از چپ به براست هماهنگ باشد تا عمل انتقال دقیقا بطور یکطرفه انجام شود. یعنی تابع کار الکtron یا پتانسیل شیمیایی ابرسانای دهانه ورودی حتما از تراز انرژی الکtron در نقطه کوانتمی بزرگتر باشد. لذا ابرساناهای دهانه های ورودی و خروجی باید با یکدیگر تفاوت داشته باشند، حداقل با افزایش ناخالصی های مناسب باید پتانسیل شیمیایی دو ابرسانای ورودی و خروجی با یکدیگر اختلاف داشته باشند. سپس با اعمال ولتاژ مناسب به نقطه های کوانتمی می توانیم ترازهای انرژی الکtron را در نقطه های کوانتمی که می تواند یک رسانای مناسب

باشد، بگونه ای تنظیم کنیم که با توضیحات بالا تطبیق کند. یعنی  $\mu_R > \mu_L$  که  $\mu_R$  و  $\mu_L$  پتانسیل شیمیایی دهانه های ورودی و خروجی می باشند. جفت شدگی بین دو نقطه کوانتومی با ولتاژ  $V_{g_2}$  تامین می شود.

با توجه به توضیحات بالا برای تولید زوج الکترونها، دو پارامتر  $V_{g_1}$  و  $V_{g_2}$  را مطابق شکل در سه مرحله تغییر می دهیم.

مرحله اول: سد سمت چپ را به اندازه ای کاهش می دهیم که الکترونها بتوانند از دهانه های چشممه به داخل QD ها جاری شوند، در حالیکه سد سمت راست را افزایش می دهیم تا ارتباط بین QD ها و دهانه های سمت راست را مسدود کند. یعنی دریچه سمت راست را ببند (دریچه های مسدود در شکل (الف) با خطوط هاشور خورده مشخص شده اند) با توجه به برهمکنش قوی کولنی دافعه بین الکترونها دو نقطه کوانتومی نباید بیش از یک الکترون در هر QD وجود داشته باشد. پس رویه مرفته فقط دو الکترون در دو QD وجود دارند.

در مرحله دوم دریچه سمت چپ را با افزایش  $V_{g_2}$  مسدود می کنیم، در حالیکه  $V_{g_1}$  را ثابت نگه می داریم. در نتیجه الکترونها در دو نقطه کوانتومی مانند دو سیستم عایق بندی شده به دام می افتد(شکل ۵-۶ ب). حالت پایه سیستم دو الکترونی حالت تکتایی خواهد بود. هیچ عاملی برای تحریک الکترونها بطور انفرادی و یا همزمان به ترازهای بالاتر وجود ندارد. در این حالت اسپین کل صفر است، لذا حالت تکتایی اسپین در دو نقطه کوانتومی بوجود می آید.

در مرحله آخر زوج الکترونی بدام افتاده با کاهش سد سمت راست برای باز شدن دریچه مربوطه به دهانه خروجی چاهک جاری می شوند(تونل می زند) (شکل ۵-۶ج). بخاطر دافعه کولنی قوی زوج EPR ایجاد شده حتما به دهانه های مختلف تونل می زند. (شکل ۲-۶). اگر اختلاف پتانسیل سریعا کاهش یابد، در اینصورت تابع موج الکترونها تحت تاثیر باز شدن دریچه ها قرار نخواهد گرفت. در اینجا می توان براساس مطالب بیان شده در فصلهای قبل هامیلتونی های مربوطه را بنویسیم. مع ذلک آنرا بعدهه پژوهشگران بعدی واگذار می کنیم.

## **References:**

1. N.W.Ashcroft, and N.D.Mermin, Solid State Physics, Philadelphia: W.B.Saunders(1976)
2. J. J. Sakurai, Modern Quantum Mecanics, Addison-Wesley Publishing Company, Inc.(1995)
3. B.M.Terhal, M.M.Wolf, A.C.Doherty, Quantum Entanglement: A Modern Perseive Physics Today April (2003) 46 52
4. C /CS / Phys 191 Spring 2005
5. Franco Selleri, Quantum Paradoxes and Physical Reality, Kluwer Academic Publishers, Vol 35 (1990)
6. B. H. Bransden C. J. Joachain, Quantum Mechanics, 2<sup>nd</sup>, Prentice Hall(2000)
7. A.K. Ekert, Quantum Cryptography Based on Bell'S Theorem, , Phys. Rev. Lett. , 69, (1991) 661
8. C.H. Bennett, G. Brassard, C.Crepeau, et al, Teleporting an UnKnow Quantum State Via Pual Classical and EPR Channels, Phys. Rev. Lett. ,70, 1993 (1895)
9. , G. Blatter, G.B. lesorik, and T. Martin, Bell inequalities and entanglement in Solid – State devices, N.M. Chtchelkatchev Phys. Rev. B , 66, 2002 (161320)
10. C. Santori etal , PolarizationCorrelated Photon pairs form a QD. Phys. Rev. B, 66,045308 (2002) ,
11. P. Recher and Danial Loss, Superconductor Coupled Two Luttinger Liquids As an Entangle For Electron Spins, , Phys. Rev. B. 65, (2002) 165327
12. W.D. Oliver, F. Yamaguchi and Y.Yamamoto Electron Entanglement Via a Quantum Dot, , Phys. Rev. Lett. ,88, 037901 (2002)
13. C.H. Bennett, S. J. Wiesner,Communication Via One –And Two Particle Operators On Einstein –Podolsky – RosenS tates, Phys. Rev. Lett. , 69,(1992) 2881
14. O. Benson , et al, Regulated and Entangled Photos Form a Single Q.D. , Phys.Rev.Lett. , 84,(2000) 2513
15. S. Bense, and D. Home, Generic Entanglement Generation, Quantum Statics , Phys. Rev. Lett. 88,, (2002) 050401
16. O.S Snaphi et al , Phys. Rev. Lett., 87 , 037902 (2001)
17. P. Samuelsson , E.V. Sukhorukov and M. Buttiker Orbital Entanglement and Violation Bell Inequalitiesin Mesoscopic Conductors. , Phys. Rev. Lett. , 91 , (2003) 157002
18. E. V. Sukhorukov, G. Burkard, and D. Loss, Phys. Rev. B **63**, **125315**(2001)
19. G. D. Mahan, Many Particle Physics, Plenum Press, New York (1990)
20. W. Oliver, Phd Thesis
21. L. Mandel and E. Wolf, Optical Coherence and Quantum Optics, Cambridge University Press, New York (1995)
22. C. W. J. Beenakker and H. V. Houten, Solid State Physics , Vol 44, Academic press, Sandiego (1991)

23. R. Hanbury Brown and R. Q. Twiss, Nature , 177 27 (1956)
24. E. M. Purcell , Nature, 178,1449, (1956)
25. C.Texier and M. Buttike , Phys. Rev. lett. ,62 ,7454 (2000)
26. A. M. Martin, and M. Buttike , Phys. Rev. lett. , 84, 3386 (2000)
27. A. Imamoglu and Y.Yamamoto, Phys. Rev. Lett. 72,210,(1994)
28. Y.Yamamoto, Nature 390, 7 (1997)
29. J. Kim, O. Benson , H. Kan , and Y.Yamamoto , nature, 397,500 (1999)
30. P.M. Chler, et al, Science, 290, 2282 (2000)
31. C. Santori, et al, Phys. Rev. Lett. , 86, 1502 (2001)
32. C. K. Hong , Z. Y. Ou and L. Mandel, Phys. Rev. Lett. 59,2044 (1987)
33. C. Santori, et al, Nature, 419 594 2002)
34. R.C. Liu, B. Odom, Y.Yamamoto and S. Tarucha, Nature , 391 263 1998)
35. D. M. Green berger , M. A. Horne, A. Shimony, and A. Zeling, Am. J. Phys. 58,1131, (1990)
36. A. Mair, A. Vaziri, G. Weihs and A. Zelinger, Nature, 412 313 2001)
37. E. Knill, R. Laflamme, and G. Miburn, Nature, 409, 46 (2000)
38. J. Clasamiglia and N. Lutkenhaus, Appl. Phys. B. , 72, 67 (2001)
39. M. Buttiker, Phys. Rev. B, 46, 12485 (1992)
40. T. Martin and R. Landauer, Phys. Rev. B., 45,1742 (1992)
41. Y.M. Blanter and M. Buttiker, Physics Reports 336 1 (2000)
42. X . Maitre, W . D. Oliver, and Y. Yamamoto, physica E 6 .30( 2000)
43. D. Bouwmeester, et al, Nature 390 576 1997)
44. E . Waks,et al , Appl Phys. Lett xx, xxx(2003)
45. D. Deutsch, et al, Quantum privacy amplification Phys. Rev . Lett .77, 2818 (1996)
46. F. Machiavello, On the role of entanglement in quantum information Physica A 338 2004)68-75
47. D . Bouwmeester. et al Nature 390 1997) 575
48. D. Brub, et al, Phys. Rev. A 62(2000) 62302
49. K. Mattle, et al, Phys. Rev. Lett. 79 (1996) 4656
50. H . J . Briegel, et al, Phys Rev. Lett. 81(1998) 5932
51. J.W Pan ,et al, Nature423(2003)6938
52. Yun-Feng Huang, et al, Phys. Rev. Lett PRL 93 240501(2004)
53. J. A. Gupta, D. D. Awschalom, Peng X and Alivisatos Phys. Rev. B 59 R10421(1999)
54. D.S.Saraga and Loss, Phys. Rev. Lett. 90 166803 2003)
55. X. Hu and S. Das Sarma, Phys. Rev. B 69, 115312(2004)
56. O. S. Snaphi, et al, Phys. Rev. Lett 87 037902 2001)



**SHAHROOD UNIVERSITY OF TECHNOLOGY**  
**PHYSICS DEPARTMENT**

**ELECTRON ENTANGLEMENT**

**By:**  
**MARYAM ASGHARI**

**Supervisor:**  
**Dr. GH. S. ABEDI**

**July 2005**